CENTRO UNIVERSITÁRIO ASSIS GURGACZ JOILSON CARLOS FOLADOR

ESTUDO DE VIABILIDADE ECONÔMICA DO EMPREGO DE PLACAS FOTOVOLTAICAS NO RAMO AGROINDUSTRIAL DE AVES DE CORTE

CENTRO UNIVERSITÁRIO ASSIS GURGACZ JOILSON CARLOS FOLADOR

ESTUDO DE VIABILIDADE ECONÔMICA DO EMPREGO DE PLACAS FOTOVOLTAICAS NO RAMO AGROINDUSTRIAL DE AVES DE CORTE

Trabalho apresentado à disciplina de Trabalho de Conclusão de Curso II, do Curso de Engenharia Civil, do Centro Universitário Assis Gurgacz, como requisito parcial para obtenção do título de Bacharel em Engenharia Civil.

Orientador: Prof. Esp. Helder José Costa Carozzi

DEDICATÓRIA Dedico este trabalho a minha família, pela extrema dedicação em me fornecer tudo aquilo que se fez necessário nesta jornada.

AGRADECIMENTOS

Agradeço primeiramente aos meus pais, meu irmão e meus amigos, por me acompanharem e incentivarem ao longo desta jornada, sempre me auxiliando nos momentos de dificuldade.

Agradeço ao meu orientador, por me guiar e me fornecer todo o conhecimento necessário, tanto para o desenvolvimento desta pesquisa quanto para a minha vida profissional.

E a todos do corpo docente, administração do curso e do Centro Universitário FAG, que ao longo desta jornada me forneceram conhecimento e suporte necessário.

RESUMO

Este trabalho teve o intuito de estudar a viabilidade de geração de energia solar proveniente de placas fotovoltaicas, de forma rentável para utilização no ramo agroindustrial de aves de corte. A metodologia que foi empregada baseou-se na análise das especificações técnicas dos principais componentes que formam o grupo gerador fotovoltaico, além de se levar em consideração a legislação de uso destes e uma análise quantitativa quanto aos valores de investimento. Esperou-se com este estudo apontar elementos que, com base principalmente na legislação vigente, possa, sob dadas condições de consumo, tecnologia e eficiência, em termos de tais placas fotovoltaicas, bem como demais dispositivos associados - viabilizar o investimento da tecnologia no segmento agroindustrial de aves de corte. Neste estudo foi realizado a simulação de três diferentes cenários, sendo eles o Cenário A que descreve o investimento mínimo necessário para um sistema gerador fotovoltaico; o Cenário B que aponta o investimento necessário para suprir na totalidade a demanda de energia do galpão utilizado para estudo; e o Cenário C que define o investimento necessário para suprir a demanda do sistema de exaustão, que se utiliza da substituição dos motores convencionais por um motor ressonante de baixo consumo elétrico, o Keppe Motor®. Mostrando a viabilidade da aplicação das placas fotovoltaicas em diferente circunstâncias e necessidade. E com isso deseja-se estimular a aplicação de fontes de energia renováveis na avicultura.

Palavras-Chave: Placas Fotovoltaicas, Motor Ressonante, Energia e Sustentabilidade.

LISTA DE SIGLAS

ABNT - Associação Brasileira de Normas Técnicas;

ABPA - Associação Brasileira de Proteína Animal;

ANEEL - Agência Nacional de Energia Elétrica;

CA – Corrente Alternada;

CC – Corrente Continua;

CEPEL - Centro de Pesquisas de Energia Elétrica;

COPEL - Companhia Paranaense de Energia;

CR – Corrente Ressonante;

CRESESB - Centro de Referência para Energia Solar e Eólica;

CV – Cavalo vapor;

EPE - Empresa de Pesquisa Energética;

INMETRO - Instituto Nacional de Metrologia, Qualidade e Tecnologia;

km – Quilômetros;

kWh – Quilowatt;

kWh - Quilowatt-hora;

Nm- Newton-metro;

m - Metro;

m² - Metro quadrado;

MJ – Megajoule;

MME - Ministério de Minas e Energia;

rpm – Rotações por minuto;

UFV - Central Geradora Solar Fotovoltaica;

W-Watts.

LISTA DE FIGURAS

Figura 1.1 - Localização do galpão	15
Figura 1.2 - Imagem da face frontal do galpão	16
Figura 2.1 - Os tipos de módulos fotovoltaicos mais utilizados	18
Figura 2.2 - Exemplificação da utilização do medidor bidirecional	21
Figura 2.3 - Exemplificação da utilização de dois medidores	22
Figura 2.4 - Influência da variação de irradiação solar em uma placa de silício a 25°C	23
Figura 2.5 - Influência da temperatura em placas de silício com irradiação de $1.000~\mathrm{W/m^2}$.	23
Figura 2.6 - Média anual de irradiação solar em MJ/m².dia	24
Figura 2.7 - Média anual de insolação diária em horas	25
Figura 2.9 - Luxímetro	28
Figura 2.10 - Barômetro aneroide	29
Figura 2.11 - Anemômetro digital	29
Figura 2.12 – Biruta	30

LISTA DE TABELAS

Tabela 2.1 - Potencial de geração residencial.	26
Tabela 2.2 - Economia gerada pelo Keppe Motor®	32
Tabela 2.3 - Eficiência do Keppe Motor® 1CV	32
Tabela 3.1 - Perdas em um sistema fotovoltaico ligado à rede	40
Tabela 4.1 - Estações de Coleta	43
Tabela 4.2 – Irradiação solar diária média mensal, estação de Toledo	44
Tabela 4.3 - Irradiação solar diária total referente a coleta 01	45
Tabela 4.4 - Irradiação solar diária total referente a coleta 02	46
Tabela 4.5 - Irradiação solar diária referente a coleta 01	46
Tabela 4.6 - Irradiação solar diária referente a coleta 02	46
Tabela 4.7 - Consumo total de energia elétrica	48
Tabela 4.8 - Representatividade dos encargos com energia elétrica	50
Tabela 4.9 - Quantidade de materiais necessária para o Cenário A	57
Tabela 4.10 – Representatividade da economia em um período de 5 anos do Cenário A	58
Tabela 4.11 – Representatividade dos investimentos para o Cenário A	58
Tabela 4.12 – Média aritmética para simulação do Cenário A	58
Tabela 4.13 – Quantidade de materiais necessária para o Cenário B	59
Tabela 4.14 – Representatividade da economia em um período de 5 anos do Cenário B	60
Tabela 4.15 – Representatividade dos investimentos para o Cenário B	60
Tabela 4.16 – Média aritmética para simulação do Cenário B	60
Tabela 4.17 – Simulação do desempenho de um Keppe Motor® de potência 1,5CV	61
Tabela 4.18 – Quantidade de materiais necessária para o Cenário C	62
Tabela 4.19 – Representatividade da economia em um período de 5 anos do Cenário C	62
Tabela 4.20 – Representatividade dos investimentos para o Cenário C	63
Tabela 4.21 – Média aritmética para simulação do Cenário C	63

LISTA DE GRÁFICOS

Gráfico 4.1 - Comparação das Irradiação solar diária média mensal [kWh/m²]	44
Gráfico 4.2 - Consumo de kWh do galpão no período analisado	48
Gráfico 4.3 - Ganhos do galpão no período analisado	49
Gráfico 4.4 - Consumo de kWh do galpão no período analisado [kWh]	50
Gráfico 4.5 - Representatividade das placas pesquisados	52
Gráfico 4.6 - Representatividade das placas cotadas	52
Gráfico 4.7 - Disponibilidade de compra das placas por localização	53
Gráfico 4.8 - Disponibilidade de compra por material de fabricação	53
Gráfico 4.9 - Eficiência e suas respectivas quantidades	54
Gráfico 4.10 - Comparativo de Payback time das placas selecionadas pelo método 1	64
Gráfico 4.11 - Comparativo de Payback time das placas selecionadas pelo método 2	64
Gráfico 4.12 – Comparativo de investimento das placas selecionadas pelo método 1	65
Gráfico 4.13 – Comparativo de investimento das placas selecionadas pelo método 2	65

LISTA DE EXPRESSÕES MATEMÁTICAS

Expressão 3.1 - Radiação solar global em um plano inclinado	38
Expressão 3.2 - Comprimento de onda máximo	39
Expressão 3.3 - Potência mínima do grupo gerador fotovoltaico	39
Expressão 3.4 - Quantidade necessária de placas fotovoltaicas	40
Expressão 3.5 - Produção estimada em kWh/dia.	41
Expressão 3.6 - Quantidade necessária de placas fotovoltaicas	41
Expressão 3.7 - Pay Back Time	41

SUMÁRIO

CAP	ÍTULO 1	13
1.1	INTRODUÇÃO	13
1.2	OBJETIVOS	14
1.2.1	Objetivo Geral	14
1.2.2	Objetivos Específicos	14
1.3	JUSTIFICATIVA	14
1.4	CARACTERIZAÇÃO DO PROBLEMA	15
1.5	DELIMITAÇÃO DA PESQUISA	15
CAP	ÍTULO 2	17
2.1	ENERGIA SOLAR FOTOVOLTAICA	17
2.1.1	Placas Fotovoltaicas	17
2.1.1	.1 Placa de sicílio monocristalino (m-Si)	18
2.1.1	.2 Placas de sicílio policristalino (p-Si)	19
2.1.1	.3 Placas de filme fino de silício (a-Si)	19
2.1.2	Inversor de corrente	19
2.1.3	Medidor bidirecional	21
2.1.4	Fatores externos que influenciam na produção de energia	22
2.1.4	.1 Influência por irradiação solar	22
2.1.4	.2 Influência por temperatura	23
2.2	IRRADIAÇÃO SOLAR NO BRASIL	24
2.3	RETORNO DA APLICAÇÃO DE PLACAS FOTOVOLTAICAS	27
2.4	LUXÍMETRO	27
2.5	BARÔMETRO	28
2.6	ANEMÔMETRO	29
2.7	BIRUTA	30
2.8	KEPPE MOTOR®	30
CAP	ÍTULO 3	33
3.1	METODOLOGIA	33
3.1.1	TIPO DE ESTUDO E LOCAL DA PESQUISA	33
3.1.2	Caracterização da amostra	33
3.1.3	Coleta de dados	35
3.1.4	Análise dos dados	37

3.1.4.1 Análise da radiação solar	37
3.1.4.2 Cálculo da potência de geração necessária	39
3.1.4.3 Viabilidade do projeto	41
3.1.5 Fluxograma do estudo	42
CAPÍTULO 4	43
4.1 RESULTADOS E DISCUSSÕES	43
4.1.1 Irradiação Solar na Região	43
4.1.2 Gastos com Energia Elétrica	47
4.1.3 Quanto as Placas Fotovoltaicas	51
4.1.4 Quanto aos Inversores de Potência	54
4.1.5 Quanto a Instalação das Placas Fotovoltaicas	55
4.1.6 Quanto A Viabilidade Do Projeto	55
4.1.6.1 simulação do Cenário A	56
4.1.6.2 simulação do Cenário B	58
4.1.6.3 simulação do Cenário C	60
4.1.6.4 comparação entre Cenários A, B e C	63
CAPÍTULO 5	66
5.1 CONSIDERAÇÕES FINAIS	66
CAPÍTULO 6	68
6.1 SUGESTÕES PARA TRABALHOS FUTUROS	68
REFERÊNCIAS BIBLIOGRÁFICAS	69

CAPÍTULO 1

1.1 INTRODUÇÃO

Segundo a Associação Brasileira de Proteína Animal (ABPA), no ano de 2016 o Brasil encontrava-se como o terceiro maior produtor mundial de carne de frango, com produção acima de 12 milhões de toneladas anuais, dessas, aproximadamente 4 milhões de toneladas são embarcadas em nossos portos e distribuídas em mais de 150 mercados com o selo *Made In Brazil* (ABPA, 2016).

Em relatório anual de 2015 divulgado pela ABPA, o Paraná foi responsável por 32,26% dos abates de frangos em 2014, acarretando participação de 32,21% nas exportações dos mesmos (ABPA, 2015).

Ainda segundo a ABPA, graças aos fortes investimentos em pesquisas, as quais vem sendo realizadas há décadas, a fim da obtenção de novas tecnologias, o Brasil se transformou em uma referência mundial em se tratando da avicultura (ABPA, 2015).

Com essa constante busca de uma melhor forma de manejo, criou-se também uma grande demanda por energia elétrica, que juntamente com os constantes reajustes no valor do kWh, vem aumentando os insumos de forma a causar um grande impacto na viabilidade econômica da criação de frangos de corte.

A resolução Nº 1.897 de 16 de julho de 2015, homologada pela Agência Nacional de Energia Elétrica (ANEEL), previu um aumento nas contas de luz perceptível por parte dos consumidores de 15,32% no Paraná, acumulando um reajuste de 51% no ano de 2015 (ANEEL, 2015). Como uma forma de contornar esses aumentos, vem crescendo a busca por fontes alternativas de energia, sendo a energia proveniente de placas fotovoltaicas uma das principais opções nos dias de hoje.

Segundo o boletim "Energia Solar no Brasil e no Mundo – Ano de Referência – 2014", publicado pelo Ministério de Minas e Energia (MME) o Brasil deve chegar a ficar entre os 20 principais países na produção de energia solar até 2018 (MME, 2015).

Alternativa esta que foi abordada neste trabalho, que teve como objetivo estudar a viabilidade da aplicação da geração de energia, através de placas fotovoltaicas, de forma a verificar o impacto nos insumos de produção. Verificou-se também a melhor forma da instalação das placas, a fim de garantir a máxima eficiência de produção energética, conciliada com o melhor aproveitamento dos recursos naturais, focados no manejo dos

galpões de aves de corte, de forma a garantir que tal investimento seja atrativo, tanto do ponto econômico como sustentável.

1.2 OBJETIVOS

1.2.1 Objetivo Geral

Estudar a viabilidade econômica para a implantação de placas fotovoltaicas no segmento agroindustrial de aves de corte.

1.2.2 Objetivos Específicos

- Comparar o desempenho mediante amostra, das placas fotovoltaicas homologadas pelo INMETRO;
- Estudar a possibilidade de retorno econômico proveniente do investimento em placas fotovoltaicas:
- Analisar a melhor forma de instalação das placas, a fim de garantir a máxima adaptação em relação ao posicionamento do galpão.

1.3 JUSTIFICATIVA

O Sol é uma fonte de energia considerada inesgotável, levando em consideração a escala de tempo terrestre, o que a torna a mais promissora fonte de energia e também de calor (OLIVEIRA *et al*, 2007).

O Brasil possui um grande potencial de utilização de energia renovável proveniente de placas fotovoltaicas, pois sua irradiação varia de 4.25 kWh/m² até 6.5 kWh/m² por dia, valor esse que supera os de países europeus, onde a utilização desse meio de geração de energia é mais abrangente (MARTINS *et al*, 2008).

Fatores esses – que juntamente com a necessidade por fontes energéticas mais limpas e renováveis, e a crescente demanda por energia, ligada diretamente ao desenvolvimento de novas tecnologias, no setor agroindustrial de aves de corte sustenta-se a possibilidade do emprego de energia proveniente de placas fotovoltaicas na avicultura.

E esta pesquisa levou em conta esses fatores, a fim de estudar a possibilidade de propor uma solução viável, para suprir os aumentos dos insumos desse ramo, além da possibilidade de uma nova fonte de renda alternativa, contribuindo para que o avicultor obtenha um maior rendimento.

Também é finalidade desse estudo a elaboração de um material de fácil entendimento, dessa forma, empregou-se linguagem acessível de modo a compartilhar o conhecimento gerado e possibilitar a aplicação das soluções encontradas nesse estudo de caso em outras localidades.

1.4 CARACTERIZAÇÃO DO PROBLEMA

É rentável o investimento em placas fotovoltaicas no ramo agroindustrial de aves de corte?

1.5 DELIMITAÇÃO DA PESQUISA

O estudo ocorreu em uma fazenda localizada em Guaraniaçu-PR e levou em consideração o consumo energético de 1 (um) galpão de aves de corte. O galpão em questão possui 130 m de comprimento por 14 m de largura, e utiliza do método de criação *dark house* (Figura 1.1 e Figura 1.2).



Figura 1.1 - Localização do galpão

Fonte: [MAPS.GOOGLE, 2016]



Figura 1.2 - Imagem da face frontal do galpão

Fonte: [AUTOR, 2016]

O galpão tem seu consumo de energia fornecido e registrado pela Companhia Paranaense de Energia Elétrica S.A – COPEL, e serão utilizados tantos os registros de consumo como a média de ganhos provenientes da criação das aves, dos últimos 5 anos, os quais ficam compreendidos entre o período que vai de 01/01/2010 a 01/01/2015.

CAPÍTULO 2

2.1 ENERGIA SOLAR FOTOVOLTAICA

A energia solar fotovoltaica é a energia captada através da conversão de raios solares em eletricidade, processo esse intitulado de Efeito Fotovoltaico, relatado por Edmond Becquerel em 1839 que, de forma sucinta, é o aparecimento de uma diferença de potencial na extremidade de um material semicondutor, a qual é produzida pela captação da luz solar. E a célula fotovoltaica é a peça fundamental para que isso possa ocorrer (CRESESB/ CEPEL, 2014).

A célula fotovoltaica é o coração de uma placa fotovoltaica, que juntamente com outros componentes forma um sistema de geração de energia através da captação da luz solar (DIAS, 2004). Sendo que os componentes necessários para um sistema ligado diretamente à rede de fornecimento de energia da concessionária, sem um banco de baterias, são: a placa fotovoltaica, o inversor de corrente, o medidor bidirecional, cabos e a estrutura de sustentação.

2.1.1 Placas Fotovoltaicas

Placas fotovoltaicas são projetadas e fabricadas para enfrentar as mais diversas intempéries climáticas que as edificações podem sofrer, podendo operar durante 30 anos sob essas circunstâncias ou até mais. Sendo assim, são uma opção como fechamentos arquitetônicos de estruturas, sendo elas telhados, janelas ou paredes (RÜTHER, 2004).

Na fabricação da unidade do módulo, placa ou painel fotovoltaico, são empregados diferentes tipos de tecnologias. Contudo, as mais usuais (Figura 2.1) são a do silício monocristalino (m-Si), do sicílio policristalino (p-Si) e do filme fino de silício (a-Si) (CARVALHO, 2013).

O silício utilizado na fabricação das placas solares deve apresentar uma pureza acima de 99,99%, o que o torna silício de grau solar. Para obtenção dessa pureza podem ser realizados 2 (dois) tipos diferentes de procedimento, sendo eles: a rota química (ou também a tradicional) e a rota térmica (ou também metalúrgica) (ABINEE, 2012).

Monocristalino Policristalino Filme Fino

Figura 2.1 - Os tipos de módulos fotovoltaicos mais utilizados

Fonte: [ABINEE, 2012]

2.1.1.1 Placa de sicílio monocristalino (m-Si)

As placas de sicílio monocristalino (m-Si) são obtidas através de um banho de silício fundido de alta pureza (na ordem de Si= 99,99% a 99,9999%) em reatores com condições atmosféricas extremamente controladas, assim o monocristalino passa por um processo de crescimento, porém esse processo é extremamente lento, com velocidade de crescimento na ordem de cm/h. Esses cristais ainda passam por vários processos, que por sua vez, consomem quantidade elevadas de energia, o que acaba elevando o "energy pay-back time" (tempo necessário para a placa produzir a quantidade de energia que foi utilizada para fabricá-la), podendo superar a marca de 2 (dois) anos (RÜTHER, 2004).

Na finalização dessas placas, estas já estarão cobertas nos dois lados por impurezas, as quais irão fazer parte do processo de produção de energia, que são camadas de silício fundidos com dopantes para formar as camadas: P (material positivo) e N (material negativo). E para finalizar, a placa recebe uma película metálica em um de seus lados, e no outro recebe uma grade metálica juntamente com um material antirreflexo, lado esse aonde a luz irá incidir (CARVALHO, 2013).

Além disso, a eficácia dessas placas é limitada, podendo chegar a valores de 27% somente em laboratórios. Usualmente as placas comercializadas estão compreendidas na faixa de 12% a 16% de conversão energética (FADIGAS, 2013).

2.1.1.2 Placas de sicílio policristalino (p-Si)

As placas de silício policristalino apresentam um menor custo, porém uma menor produção em relação as de monocristais, uma vez que a perfeição cristalina é inferior. O material de partida para sua fabricação é o mesmo, porém este é fundido e posteriormente é solidificado direccionalmente, o que vem a resultar em um bloco com grande quantidade de grãos ou cristais, contendo contornos que apresentam uma grande quantidade de defeitos, o que justifica sua menor produtividade (RÜTHER, 2004).

Já no que se refere a sua eficiência, chega em torno de 20,4% em laboratórios, podendo variar em 0,5% (CRESESB/ CEPEL, 2014).

2.1.1.3 Placas de filme fino de silício (a-Si)

Por sua vez, as placas de filme fino de silício são fabricadas a temperaturas inferiores a 300°C, o que possibilita que esse material seja depositado sobre substratos de baixo custo, por exemplo o vidro, aço inox e alguns plásticos. Com isso seus custos são reduzidos, além disso esse modo de fabricação possibilita a criação de módulos fotovoltaicos flexíveis, inquebráveis, semitransparentes ou com superfícies curvas, o que permite uma melhor adaptação às edificações em geral (RÜTHER, 2004).

Alguns autores denominam as placas de filme fino como módulos de fotovoltaicos de segunda geração, sendo responsáveis por aproximadamente 12% da produção mundial de placas fotovoltaicas. Em testes em laboratórios, sua eficiência chega a 20,1%, podendo variar em 0,4% e os melhores módulos comercias apresentam em torno de 10% de eficiência. (CRESESB/ CEPEL, 2014).

Por apresentar uma eficiência mais baixa, é necessário que a instalação seja realizada em uma área maior, o que vem a acarretar maiores gastos com fios e mão de obra. Em contrapartida, as placas de filme fino apresentam um menor coeficiente de temperatura, além de uma menor perda de eficiência em baixa irradiação solar (CRESESB/ CEPEL, 2014).

2.1.2 Inversor de corrente

Dispositivo que tem como função alterar a tensão contínua proveniente das placas fotovoltaicas, para uma tensão alternada com frequência e amplitude determinadas. Assim

possibilitando que a energia possa ser transmitida para a rede elétrica da concessionária, ou para utilização do usuário.

Dependendo do seu tipo de operação, os inversores podem ser divididos em 2 (dois) grandes grupos, que são comutados pela rede (comutação natural) ou auto-comutados (comutação forçada) (CRESESB/ CEPEL, 2014).

Para se determinar a qualidade de um inversor, deve ser levada em consideração a forma da onda proveniente do processo, o que também altera o seu custo. Forma esta que depende do método utilizado para conversão e filtragem dos harmônicos indesejáveis que surgem durante o processo (CRESESB/CEPEL, 2014).

Para filtragem desses harmônicos é indicada a utilização de um inversor de corrente que produza uma onda de tensão CA de forma senoidal pura, garantindo assim, que a tensão de saída do inversor, tenha características as quais se aproximam da rede de distribuição da concessionária, diminuindo assim possíveis riscos de danos aos equipamentos ligados a esta rede (CRESESB/ CEPEL, 2014).

Ainda segundo o Manual de Engenharia para Sistema Fotovoltaicos da CRESESB/CEPEL (CRESESB/CEPEL, 2014), qualquer inversor de corrente, que poderá vir a ser utilizado em um sistema de geração de energia fotovoltaico, deve ser dotado das seguintes características:

- Ter uma alta eficiência de conversão, seja em carga nominal ou parcial;
- Possuir uma alta confiabilidade e uma baixa manutenção;
- Possibilidade de operar em uma faixa ampla de tensão de entrada;
- Boa regulagem da tensão de saída;
- Forma de onda senoidal com baixo conteúdo harmônico;
- Baixa emissão de ruído audível;
- Baixa emissão de interferência eletromagnética;
- Tolerância aos surtos de partidas das cargas a serem alimentadas;
- Segurança tanto para as pessoas como para o sistema alimentado;
- Grau de proteção IP adequado ao tipo de instalação;
- Garantia de fábrica de pelo menos 2 anos.

O sistema ainda deve apresentar transformadores de isolamento, pois o sistema não deve fornecer energia, proveniente das placas fotovoltaicas, à rede da concessionária de

energia quando esta estiver desligada. Pois a mesma pode estar nesse estado a fim da realização de uma manutenção, colocando em risco os operadores dela. Além, é claro, de fornecer uma proteção ao sistema contra sobrecorrentes, surtos, sobre/subfrequência, sobre/subtensão tanto pela entrada CC como pela saída CA (RÜTHER, 2004).

As características supracitadas têm como função o equilíbrio do sistema, a fim de garantir que tanto a entrada e a saída de tensão sejam bem protegidas. Além disso, possibilitam que o inversor seja capaz de atender à tensão de entrada, que pode variar inúmeras vezes, e ainda ser capaz de fornecer uma tensão de saída adequada para o uso da energia (RÜTHER, 2004).

Todavia ainda existe a necessidade de levar em consideração o procedimento empregado na instalação do inversor, uma vez que este é totalmente dependente da demanda a qual irá atender. Geralmente inversores conectados à rede com potência individual tem capacidade para até 5kW com saídas monofásicas, acima dessa capacidade é usualmente utilizado inversores com saída trifásica, sejam eles inversores únicos ou associação de inversores de menor carga de atendimento (CRESESB/CEPEL, 2014).

2.1.3 Medidor bidirecional

Dispositivo responsável por realizar a contagem de consumo de energia feito pela edificação bem como a contagem de geração pelas placas fotovoltaicas. Esse processo é realizado de tal forma que quando o sistema fotovoltaico gera mais energia do que a edificação necessita, a energia remanescente irá para a rede da concessionária e o medidor irá descontar essa quantidade. Do mesmo modo, quando a edificação necessitar de uma maior quantidade de energia do que a fornecida pelo sistema fotovoltaico, o medidor irá contabilizar a quantidade de energia fornecida pela rede da concessionária, conforme a figura 2.2 (RÜTHER, 2004).

Geradores
Fotovoltaicos

Inversor de Potencia

Quadro de
Distribuição

Medidor Bidirecional
concessionaria

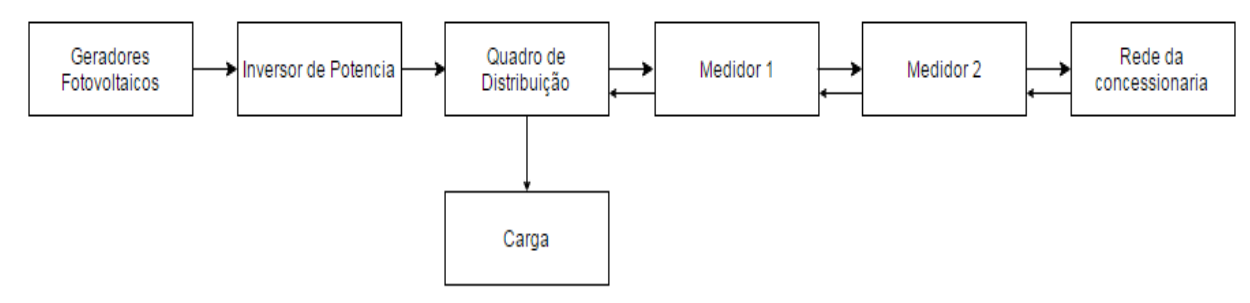
Carga

Figura 2.2 - Exemplificação da utilização do medidor bidirecional

Fonte: [AUTOR, 2016]

Porém esse sistema só poderá ser utilizado quando a tarifa de energia consumida for a mesma que a fornecida para a rede. Uma vez que existam valores diferentes para essas tarifas, é necessário utilizar-se de 2 ou mais medidores, contabilizando de forma independente a energia produzida e fornecida para a rede assim como a consumida da rede, conforme a figura 2.3 (RÜTHER, 2004).

Figura 2.3 - Exemplificação da utilização de dois medidores



Fonte: [AUTOR, 2016]

Esses dois sistemas são os requeridos e autorizados pela ANEEL pela resolução Nº 482, de 17 de abril de 2012 (ANEEL, 2012).

2.1.4 Fatores externos que influenciam na produção de energia

2.1.4.1 Influência por irradiação solar

Uma placa de silício, que durante o processo de geração de energia é mantida a uma temperatura de 25°C, apresenta a seguinte configuração de produção de energia, conforme a figura 2.4. A corrente elétrica gerada por uma placa fotovoltaica aumenta linearmente com a incidência da irradiação solar, já a tensão de circuito aberto aumenta de forma logarítmica, se a temperatura for mantida (CRESESB/ CEPEL, 2014).

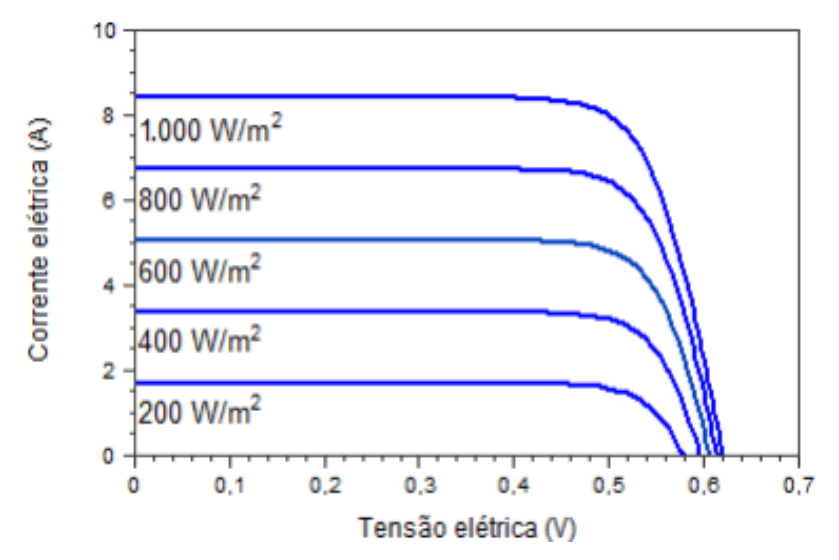


Figura 2.4 - Influência da variação de irradiação solar em uma placa de silício a 25°C

Fonte: [CRESESB/ CEPEL, 2014]

2.1.4.2 Influência por temperatura

As placas fotovoltaicas são afetadas também pela variação da irradiação solar e da temperatura ambiente, que acabam afetando a temperatura de funcionamento da placa. Com o aumento da temperatura ambiente e/ou da irradiação incidente tendem a diminuir a sua eficiência como mostrado na figura 2.5 (CRESESB/ CEPEL, 2014).

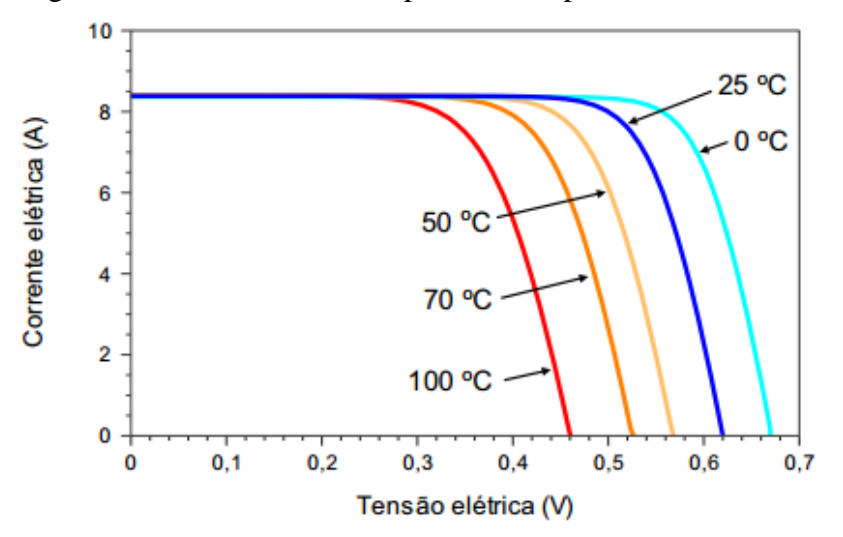


Figura 2.5 - Influência da temperatura em placas de silício com irradiação de 1.000 W/m²

Fonte: [CRESESB/ CEPEL, 2014]

2.2 IRRADIAÇÃO SOLAR NO BRASIL

Segundo Martins *et al* (2008), a maior irradiação solar está presente no norte da Bahia e apresenta 6,5 kWh/m² e já o local de menor irradiação, litoral de Santa Catarina, apresenta 4,25kWh/m², fazendo com que a média de irradiação global anual do Brasil varie de 4.200 a 6.700 kWh/m² /ano, valores estes que superam as médias de irradiação solar das principais potências desse segmento, como a Alemanha com 900 a 1.250 kWh/m² /ano, França 900 a 1.650 kWh/m² /ano e Espanha 1.200 a 1.850 kWh/m² /ano. (MARTINS *et al*, 2008).

Os valores de irradiação solar no Brasil podem ser observados em um Atlas Solarimétrico publicado em outubro de 2000 pela CRESESB/ CEPEL, o qual serve como base para grande parte dos estudos direcionados nessa área, uma vez que traz a irradiação solar média mensal e anual (Figura 2.6) (CRESESB/ CEPEL, 2000).

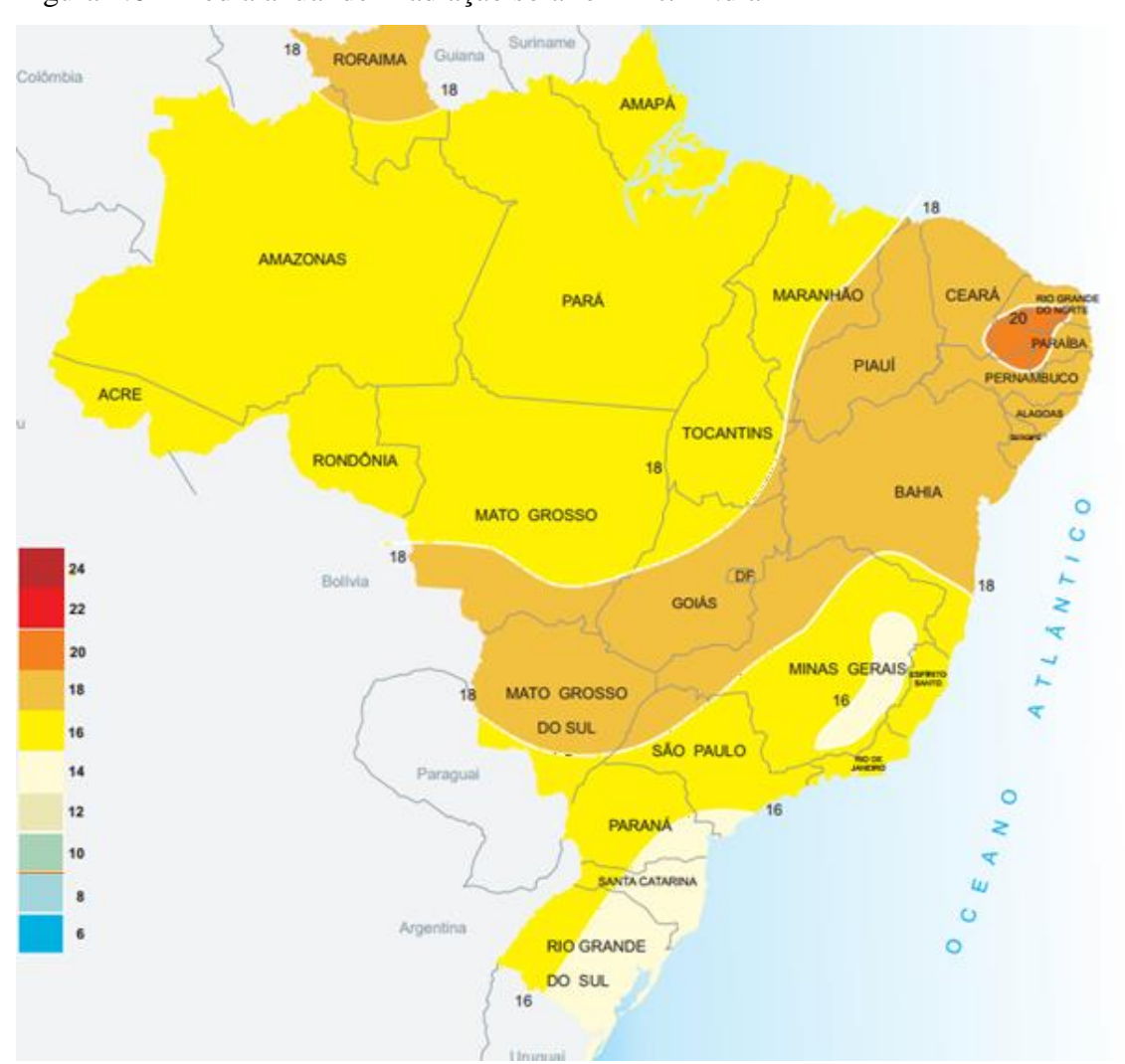


Figura 2.6 - Média anual de irradiação solar em MJ/m².dia

Fonte: [CRESESB/ CEPEL, 2000]

Já na Figura 2.7 é possível observar os valores anuais médios de horas de insolação em cada região (CRESESB/ CEPEL, 2000).

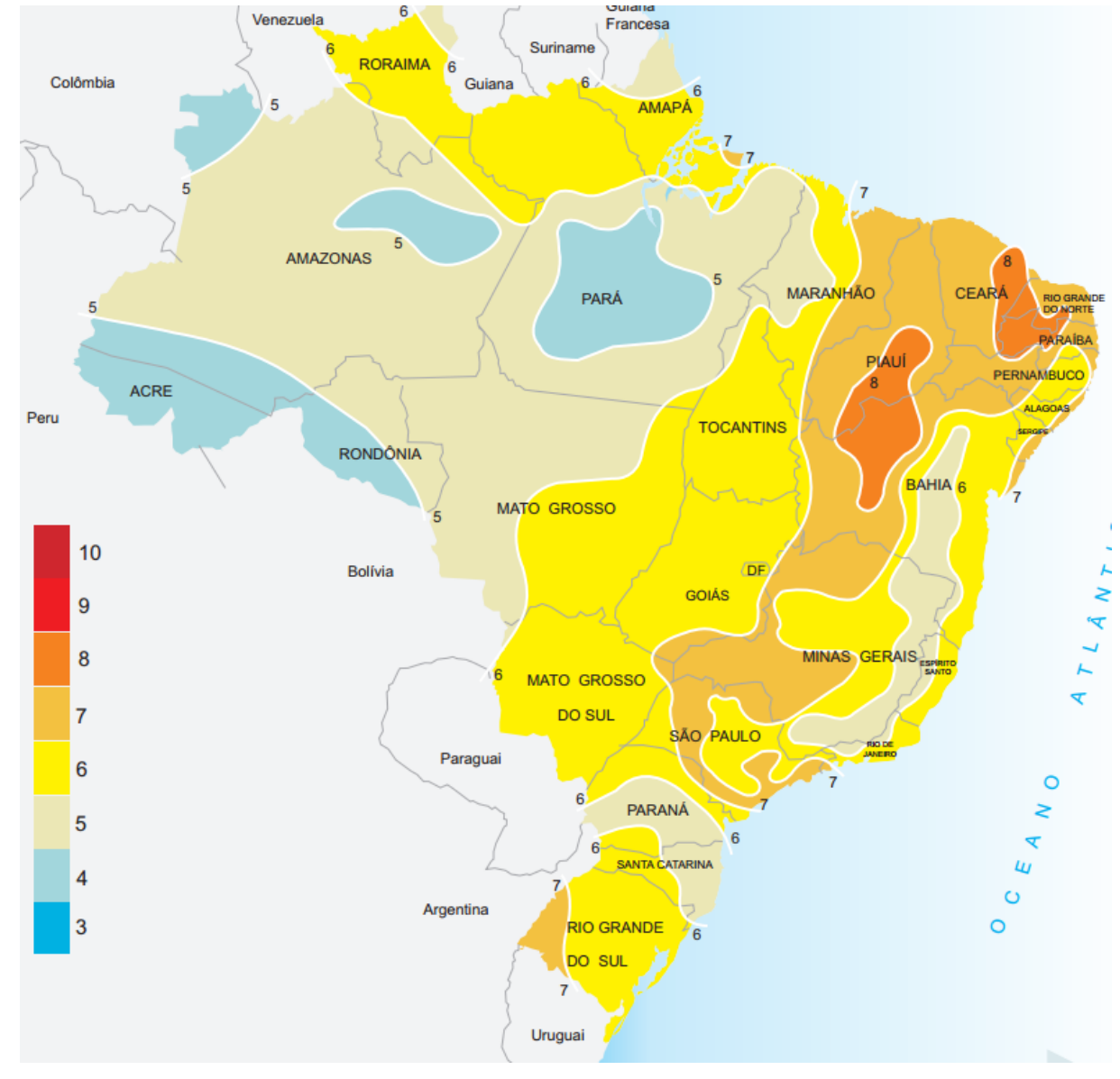


Figura 2.7 - Média anual de insolação diária em horas

Fonte: [CRESESB/ CEPEL, 2000]

Em 2014, a Empresa de Pesquisa Energética EPE realizou um estudo, o qual identificou o potencial de geração fotovoltaica nos telhados residenciais e os relacionou com o consumo residencial anual de 2013, os resultados apresentam-se na tabela 2.1 (SILVA, 2015).

É possível observar na tabela 2.1, de forma geral, que em todos os locais avaliados o potencial de geração de energia fotovoltaica supera a demanda de consumo de 2 meses. Estados como Piauí, Alagoas, Paraíba, Maranhão, Bahia, Ceará, Tocantins, Minas Gerais e

Sergipe apresentam relação superior a 300%, sendo assim, geram a demanda de consumo de 3 meses (SILVA, 2015).

Tabela 2.1 - Potencial de geração residencial

Tabela 2.1 - Potencial de geração residencial						
UF	Potencial Fotovoltaico Residencial (MW médios)	Potencial Fotovoltaico Residencial (GWh/ano)	Consumo Residencial Anual 2013 (GWh)	Potencial Fotovoltaico/ Consumo Residencial		
AC	110	964	373	258%		
AK	505	4424	1227	361%		
AM	420	3679	1784	206%		
AP	80	701	500	140%		
BA	2360	20674	6144	336%		
CE	1430	12527	3751	334%		
DF	410	3592	2191	164%		
ES	595	5212	2213	236%		
GO	1220	10687	3958	270%		
MA	1020	8935	2563	349%		
MG	3675	32193	10118	318%		
MS	505	4424	1571	282%		
MT	570	4993	2182	229%		
PB	1020	8935	2632	339%		
PB	655	5738	1603	358%		
PE	1410	12352	4563	271%		
PI	555	4862	1328	366%		
PR	1960	17170	6986	246%		
RJ	2685	23521	12833	183%		
RN	555	4862	1805	269%		
RO	265	2321	1084	214%		
RR	65	569	345	165%		
RS	1970	17257	7750	223%		
SC	1075	9417	4935	191%		
SE	350	3066	979	313%		
SP	7100	62196	38783	160%		
TO	255	2234	695	321%		
Total	32820	287505	124896	230%		

Fonte: [SILVA, 2015]

2.3 RETORNO DA APLICAÇÃO DE PLACAS FOTOVOLTAICAS

Segundo dados da ANEEL, em 1 de dezembro de 2014, o Brasil contava com 289 usinas do tipo Central Geradora Solar Fotovoltaica (UFV). E com resolução normativa nº 482, de 17 de abril de 2012 publicada pela ANEEL, a qual regulamenta os micros e minigeração distribuídas, tem-se despertado o interesse de investimento nesta área (SILVA, 2015).

Em 2012 a ABINEE indicou que a energia proveniente das placas fotovoltaicas necessitaria ser vendida por valores entre R\$ 362,00/MWh a R\$ 407,00/MWh. Já a EPE no mesmo ano indicou o preço de venda da energia solar entre R\$ 300,00/MWh a R\$ 400,00/MWh; valores estes para usinas de grande porte (SILVA, 2015).

Porém, em um leilão realizado pelo Estado de Pernambuco, pela contratação de energia solar atingiu-se o preço médio de R\$ 228,63/MWh. Logo após, no Leilão de Energia de Reserva realizado em 2014, o preço médio chegou a R\$ 215,12/MWh (SILVA, 2015).

Já para a energia gerada em residências o valor publicado pelo EPE em 2012 chegou a R\$ 602,00/MWh (potência de 5 kWp) e R\$ 541,00/MWh (potência de 10 kWp); chegando a valor de R\$ 463,00/MWh (potência de 100 kWp) para o comércio e de R\$ 402,00/MWh (potência de 1.000 kWp) para a indústria (SILVA, 2015).

Atualmente o governo federal oferece subsídios a fim de custear o desenvolvimento sustentável do País, parte desses investimentos vem por meio de programas que abrangem a energia solar. Pode-se destacar o Programa Nacional de Fortalecimento da Agricultura Familiar Mais Alimento e o Programa Nacional de Fortalecimento da Agricultura Familiar Eco, que possibilitam cartas de créditos com juros reduzidos, além de vantagens e incentivos fiscais.

Além disso, houve a publicação da resolução normativa nº 687, de 24 de novembro de 2015 pela ANEEL, que nada mais é que a atualização da REN 482, a qual ampliou principalmente os parâmetros como potência máxima de 1 MW para 5 MW, duração dos créditos para energia elétrica de 36 meses para 60 meses, redução do tempo de tramitação dos pedidos junto às distribuidoras, entre outros que tendem a auxiliar ainda mais o investimento na área de geração de energia fotovoltaica (ANEEL, 2015).

2.4 LUXÍMETRO

Luxímetro (Figura 2.9), em definição pela ABNT NBR15215-4/2004, trata-se de um aparelho fotômetro que se baseia em um sensor fotométrico, que em sua grande maioria é

feito de silício ou selênio, o qual é acoplado de um filtro para correção óptica, e estes conectados a um circuito para tratamento de sinal, de tal forma que os dados são apresentados em um visor digital. Este aparelho tem como função de medir a iluminância do local (ABNT, 2004).

Figura 2.9 - Luxímetro



Fonte: [AUTOR, 2016]

2.5 BARÔMETRO

Barômetro é um instrumento utilizado para a medição da pressão atmosférica, e este é dividido em duas categorias: o barômetro de mercúrio, o qual se utiliza deste líquido para determinação da pressão atmosférica, comumente utilizado em grandes estações meteorológicas e em testes laboratoriais e o barômetro aneroide (Figura 2.10), o qual trata-se de uma caixa totalmente vedada e a vácuo, com seu funcionamento sem depender de líquido, pois trata-se de uma mola a qual não permite abertura da caixa e uma haste que se deforma conforme as condições de pressão do local, permitindo assim a leitura desta (INCOTERM, 2016)





Fonte: [AUTOR, 2016]

2.6 ANEMÔMETRO

Anemômetro (Figura 2.11) nada mais é que um aparelho utilizado para realização de medições de velocidade de líquidos, podendo ser o vento, água, dentre outros.



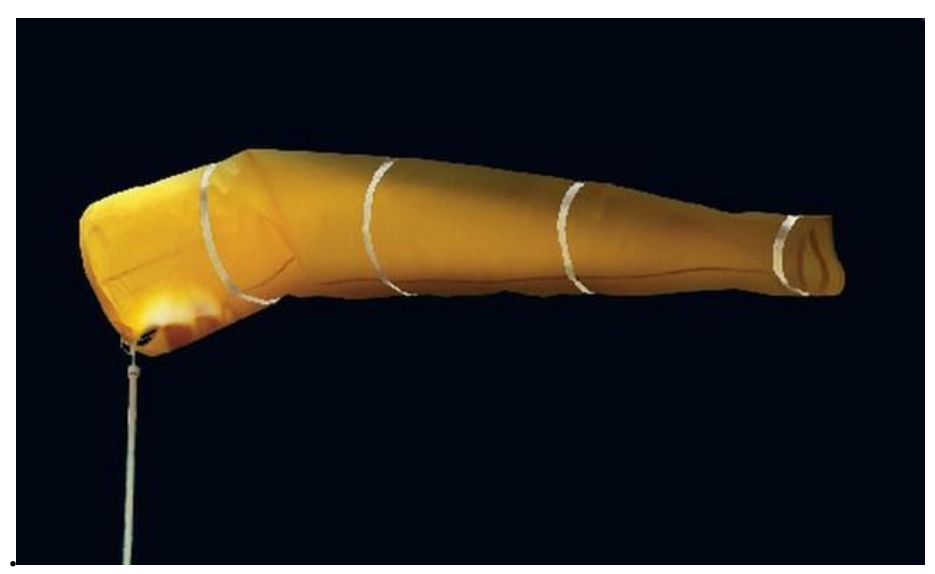
Figura 2.11 - Anemômetro digital

Fonte: [AUTOR, 2016]

2.7 BIRUTA

As birutas (Figura 2.11) são instrumentos utilizados para indicação da direção do vento, muito comumente utilizada em aeroportos e heliportos para orientação dos pilotos durante pouso e decolagem de aeronaves, todavia a biruta ainda é utilizada por vários outros profissionais tal como o meteorologista.

Figura 2.12 – Biruta



Fonte: [O Globo, 2016]

2.8 KEPPE MOTOR®

O desenvolvimento da tecnologia do Keppe Motor® deu-se no ano de 2008 pelos cientistas brasileiros Carlos Cesar Soós, Alexandre Frascari e Roberto Heitor Frascari, baseando-se no princípio da ressonância para otimização da eficiência dos motores. Para o seu funcionamento se utiliza da "corrente ressonante" (CR), recebendo o nome de Keppe Motor® pelo fato de ter sido desenvolvido baseado na obra "A Nova Física da Metafísica Desinvertida", escrita por Norberto Keppe, em 1996, na França (SOÓS, 2016).

Com esta tecnologia é possível obter-se eficiências próximas a 100% e para isto basta apenas pequenas modificações e adequações dos materiais mais adequados para a aplicação desejada, de forma que é aplicável independentemente do porte do motor, ao contrário dos motores convencionais, os quais cabem apenas aos de maiores portes e eficiências elevadas.

Isso é possível pois os motores que se utilizam da tecnologia Keppe Motor® funcionam de forma a consumir energia da rede e ao mesmo tempo produzir energia fora desta, ou seja, ao mesmo tempo que é um motor elétrico é também um gerador elétrico. Isto se dá graças ao seu funcionamento que se utiliza da ressonância, para tal, é necessário ter um aspecto motor e um aspecto gerador para que assim os dois possam se equilibrar no ponto de ressonância do sistema (SOÓS, 2016).

Sendo assim, o Keppe Motor® possui um rotor magnético de imãs permanentes, funcionando no interior das bobinas estatoras, fazendo com que ao momento em que é aplicada tensão nas bobinas, estas forçam os imãs a girarem e estes por sua vez produzem uma tensão adicional nos terminais das bobinas, aumentando assim a energia magnética armazenada nelas. Esta energia em ressonância com a energia da rede, a qual é determinada por pulsos regulados pelo próprio motor, fazem com que o motor atinja elevadas eficiências, tendo como maior indicativo disto a baixa temperatura das bobinas (SOÓS, 2016).

Entretanto, para que isso possa ocorrer não é necessário apenas modificar o motor desta forma, é necessário fazer com que o motor seja alimentado de forma a garantir a ressonância do sistema, e para isto é feito uso da corrente contínua pulsada, pois com ela é possível que o próprio motor reja sua alimentação, sem interferir em seu funcionamento. Permitindo que através dos materiais que compõem o sistema como um todo, atinja-se de forma automática o seu ponto de ressonância necessário para o seu funcionamento, fazendo com que a corrente elétrica chegue ao mínimo necessário, o qual sempre é inferior à demanda dos motores convencionais, sejam eles de corrente contínua ou alternada, utilizados para realizar o mesmo trabalho (SOÓS, 2016).

Com este método empregado é possível se obter uma economia elevada em relação aos motores convencionais, como é possível observar na Tabela 2.2. Na comparação, um motor utilizado para um equipamento destinado a corte de grama apresenta economia de energia igual a 90%.

Tabela 2.2 - Economia gerada pelo Keppe Motor®

Aplicação	Consumo (Motor CA convencional)	Consumo (Keppe Motor®)	Economia de energia	
Ventilador de mesa	60W	15W	75%	
Ventilador de teto	170W	35W	79%	
Ventilador de parede	150W	32W	78%	
Cortador de grama	700W	70W	90%	
Bomba de água	350W	130W	62%	

Fonte: [KEPPE MOTOR®, 2016]

Ainda na Tabela 2.3 é possível observar resultados referentes a um teste do Keppe Motor® de 1 CV, realizado nos EUA, pela empresa *Advanced Energy*, no dia 31 de maio de 2016.

Tabela 2.3 - Eficiência do Keppe Motor® 1CV

Velocidade (rpm)	Torque (Nm)	Aumento de temperatura do Estator (°C)	Potência de Entrada (W)	Potência de Saída (W)	Fração de 1 CV	Eficiência (%)
2.000	1,77	4,6	428,3	369,7	1/2	86,3
2.500	1,41	6,5	421,9	369,1	1/2	87,5
3.000	1,77	7	629,1	555,9	3/4	88,4
3.300	1,59	6,7	618	548,4	3/4	88,7
3.600	2	7,2	844,8	752,4	1	89,1

Fonte: [KEPPE MOTOR®, 2016]

CAPÍTULO 3

3.1 METODOLOGIA

3.1.1 Tipo de estudo e local da pesquisa

Trata-se de um estudo de caso de um dimensionamento de um grupo gerador fotovoltaico para um galpão, voltado para a criação de aves de corte, localizado na cidade de Guaraniaçu – PR.

O trabalho configurou uma pesquisa quantitativa, uma vez que foi levado em consideração as especificações técnicas das placas, o consumo do galpão e o aproveitamento dos demais elementos que compõem o grupo gerador, para que assim fosse possível determinar a melhor relação custo benefício.

3.1.2 Caracterização da amostra

O estudo de caso desta pesquisa foi realizado em um galpão de criação de aves de corte localizado nas seguintes coordenadas: latitude 25°06'30.6"S; longitude 52°46'42.1"W, no qual se utiliza do método *dark house*, o qual se caracteriza por não permitir a entrada de iluminação natural, sendo dependente totalmente da iluminação artificial, além do controle de temperatura e umidade interna.

O galpão em que foi realizado o estudo apresenta as seguintes dimensões: 14m de largura; 130,29m de comprimentos, possuindo uma altura a partir do nível do solo de 6,30m. O seu telhado é composto por 2 águas e é feito em estrutura convencional de madeira, composto por tesouras, terças, caibros e ripas, sob as quais estão apoiadas as telhas de argila com uma inclinação de 28°.

A amostra é alimentada por uma rede de distribuição bifásica da COPEL, além de possuir um grupo motor gerador movido a óleo diesel (Figura 3.1) com uso destinado a momentos em que há falta de abastecimento de energia elétrica por parte da concessionária, podendo fornecer energia a uma tensão de 127V_{ca} sob uma corrente nominal de 315A; ou ainda fornecer uma tensão de 254V_{ca} com uma corrente nominal de 157,5A, ambas as opções têm seu funcionamento em uma frequência de 60Hz.



Figura 3.1 - Grupo gerador a diesel

Fonte: [AUTOR, 2016]

O galpão conta com os seguintes equipamentos, responsáveis pelo consumo de energia de maior significância:

- 8 motores utilizados no sistema de exaustão do galpão que estão localizados no fundo do galpão, possuindo cada qual uma potência nominal de 1,5 CV e uma tensão de 220V_{ca};
- 3 motores utilizados no sistema de distribuição de ração ao longo do galpão que estão localizados no fundo deste, possuindo uma potência nominal de 3 CV e uma tensão de 220V_{ca} cada;
- 1 motor utilizado na linha principal de alimentação de ração que está localizado na parte frontal superior do galpão, possuindo uma potência nominal de 1 CV e uma tensão de 220V_{ca};
- 1 motor utilizado para a distribuição do calor gerado no aquecedor do galpão, localizado a 30m da parte frontal do mesmo, possuindo ¾ CV e uma tensão de 220V_{ca};
- 64 lâmpadas LEDs distribuídas ao longo do galpão, possuindo cada uma potência nominal de 10 W e uma tensão de 127V_{ca};

4 lâmpadas fluorescentes localizadas na parte externa do galpão, possuindo cada uma
 60 W e uma tensão de 127V_{ca}.

3.1.3 Coleta de dados

Os dados quanto à radiação solar incidente foram extraídos por meio de simuladores disponibilizados pela CRESESB, além de uma coleta realizada em campo, utilizando-se de um luxímetro. Outros dados atmosféricos como pressão atmosférica, temperatura, velocidade e direção de origem do vento foram coletados por meio de testes realizados em campo, utilizando-se respectivamente dos seguintes equipamentos: barômetro, termômetro, anemômetro e biruta.

A fim de maximizar a qualidade de coleta de dados, foi realizado um planejamento para verificar quais seriam as datas que proporcionariam dados de maior relevância, levando em consideração as condições meteorológicas apresentadas pela região, dessa forma, foi escolhido o período entre 16/07/2016 a 20/07/2016.

Para a realização das coletas foi empregada a seguinte metodologia: Primeiramente foi realizado o posicionamento de dois pontos, sendo eles o ponto A voltado para o SSO (susudoeste) estando localizado nas seguintes coordenadas: latitude 25°06.509'S; longitude 052°46.706'W. E o ponto B, que é voltado para o NNE (nor-nordeste) e está localizado nas seguintes coordenadas: latitude 25°06.503'S; longitude 052°46.698'W, ambos estão a uma distância de 45 metros da face frontal do galpão em direção a face posterior do mesmo e cada qual está localizado em uma das águas do galpão.

Para ambos os pontos retirou-se a telha mais próxima da periferia de cada água na distância definida, e fixou-se uma plataforma plana para facilitar e proporcionar melhor precisão para as medições. Sendo que nesses pontos foram medidos a iluminância, para tal, posicionou-se o sensor do luxímetro sobre a plataforma deixando-o totalmente na horizontal, sem quaisquer resquícios de sombra provocada por outros elementos do telhado.

Nesses mesmos pontos foi realizada a medição da velocidade do vento, utilizando-se do anemômetro, este por sua vez ficou sobre a plataforma, totalmente na vertical. E para determinação da direção de origem do vento foi utilizada uma biruta posicionada na cumeeira do telhado, uma vez que nos pontos A e B poderia haver a interferência do vórtice de vento, interferindo na determinação da direção de origem do mesmo.

Já o termômetro ficou localizado na cumeeira do telhado, fornecendo assim a maior temperatura possível no local. E por último, o barômetro, que ficou localizado em uma área

externa ao galpão, em um abrigo o qual o protegia do sol, porém permanecia aberto em todas as suas faces.

A realização da coleta dos valores medidos pelos instrumentos, seguiu-se da seguinte forma: as medições iniciaram-se com o nascer do sol, o processo foi refeito com um intervalos de 1 hora, tendo sua conclusão ao pôr do sol. Em cada medição retirou-se 4 amostras de velocidade do vento e iluminância, para que assim se pudesse obter um valor mais próximo da realidade, já os valores de pressão atmosférica, temperatura e velocidade do vento foram recolhidas em amostra única, uma vez que não apresentavam variações constantes.

Durante o processo de coleta destes dados foi feito a utilização do Apêndice A, a fim de realizar o armazenamento dos mesmos.

As especificações técnicas das placas e dos demais componentes que compõe o grupo gerador, foram retiradas dos seus manuais técnicos fornecidos pelos fabricantes. Além de consultas realizadas no Instituto Nacional de Metrologia, Qualidade e Tecnologia (INMETRO) para que fosse possível averiguar as placas certificadas para a venda dentro do território nacional. De posse desta lista, os produtos foram organizados do de maior produtividade pela área até o menor e realizada a cotação de preços das possíveis placas disponíveis.

Já para a escolha do inversor de potência, foi levada em consideração a consulta realizada tanto no INMETRO quanto na COPEL, a fim de averiguar os produtos licenciados e aceitos para tal uso.

Deve-se considerar que os preços dos produtos importados foram ajustados para os impostos e taxas decorrentes deste serviço no mês de agosto de 2016, utilizando-se do simulador do tratamento tributário e administrativo das importações. Para tanto, foi utilizado o código NCM 8501.31.20 referente a geradores elétricos de corrente contínua com potência inferior a 750 W, o que levou a um resultado de taxa de imposto de importação de 30,75%.

Além do imposto de importação também foi adicionada alíquota de imposto sobre Circulação de Mercadorias e Serviços (ICMS) para o estado do Paraná que é 18%, e por fim, foi adicionado uma taxa de 20% para simular a taxa de transporte dos produtos. E para a taxa de câmbio foi utilizado o valor de R\$ 3,21 simulando importação para o dia 21 de agosto de 2016.

A cotação de preços das placas fotovoltaicas e dos inversores de potência foi realizada a partir dos modelos e marcas de cada componente, independentemente da empresa responsável pela comercialização das mesmas, não necessariamente coincidindo com as empresas listadas.

Quanto ao consumo de energia, as informações pertinentes foram coletadas dos relatórios de consumo fornecidos pela Companhia Paranaense de Energia Elétrica S.A – COPEL, concessionária responsável pelo fornecimento de energia no local. Para este estudo serão utilizados os relatórios dos últimos 5 anos, compreendendo o período entre 01/01/2011 a 01/01/2016. Sendo que, no mesmo período, foi feita a coleta dos ganhos do galpão com a criação de aves de corte.

3.1.4 Análise dos dados

Tendo posse de todos os dados coletados, foi desenvolvido um trabalho de análise para se obter os valores finais do investimento; análise esta que será separada em etapas, e será descrita a seguir:

3.1.4.1 Análise da radiação solar

A partir do simulador da CRESESB foi fornecida a radiação solar em um plano horizontal, porém, para o cálculo do potencial de fornecimento das placas, faz-se necessário obter o valor de radiação solar em um plano inclinado.

E para se obter esse valor, acaba-se envolvendo um número extenso de equações, sendo assim, foi feito o uso do *software* livre desenvolvido pelo LABSOL da UFRGS, o RADIOSOL 2 (Figura 3.2).

O *software* faz uso da expressão 3.1, desenvolvida por Liu & Jordan (1962) e aprimorada por Duffie & Beckman (1980).

$$H_{\beta} = H\left(1 - \frac{H_d}{H}\right)R_b + H_d\left(\frac{1 + \cos\beta}{2}\right) + Hp\left(\frac{1 - \cos\beta}{2}\right)$$
 3.1

Sendo:

 H_{β} = Radiação solar global em um plano inclinado, W/m².

 $H = \text{Radiação solar global em um plano horizontal, W/m}^2$.

 H_d = Radiação solar difusa em um plano horizontal, W/m².

 R_h = Fator Geométrico.

p = Albedo.

 $\beta = \hat{A}$ ngulo de inclinação.

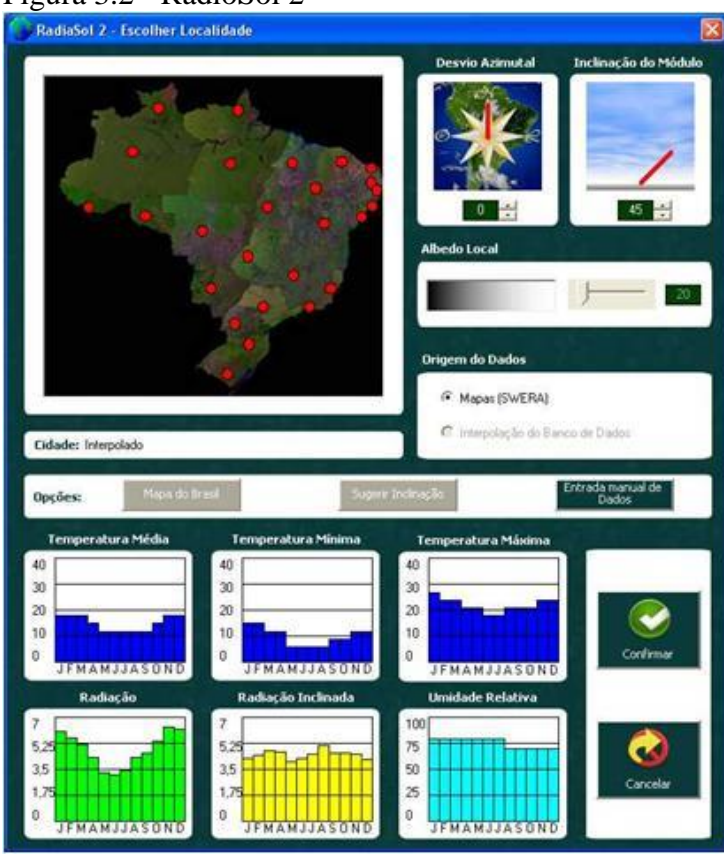


Figura 3.2 - RadioSol 2

Fonte: [LABSOL - UFRGS, 2016]

Já para a radiação solar coletada no local do estudo, foi necessário utilizar-se de algumas expressões para que fosse possível se obter o valor da irradiação solar em kWh/m², uma vez que os valores coletados foram fornecidos pelo aparelho em Lux.

Para tal, foi feita uma assimilação entre o gama de temperatura do Sol para com uma lâmpada, utilizando-se da expressão 3.2 para o cálculo do comprimento de onda máximo $(\lambda_{m\acute{a}x})$.

$$\lambda_{m\acute{a}x} = \frac{2.9 * 10^{-3}}{T}$$
 3.2

Sendo:

 $\lambda_{m\acute{a}x}$ = Comprimento de onda máximo (m).

T = Temperatura em Kelvin.

A temperatura de cor do sol foi retirada do livro Equipamento Fotográficos de Thales Trigo, o qual sugere que o Sol apresenta um valor na ordem de 5700 K.

Tendo posse do comprimento de onda máximo, foi realizado uma pesquisa a fim de procurar uma fonte luminosa artificial que mais se assemelha com o Sol, para que assim fosse possível realizar a conversão de lx para kW/m². Para tanto, foram utilizados simuladores online para conversão destas unidades, considerando o comprimento de onda máximo.

3.1.4.2 Cálculo da potência de geração necessária

Para o cálculo da potência total das placas fotovoltaicas foi utilizada seguinte expressão 3.3.

$$Wp = \frac{Ct * y}{Hrsp * Fpp * (1 - Fps)}$$
3.3

Sendo:

Wp = Potência mínima do grupo gerador fotovoltaico em W.

Ct = Consumo médio diário em Wh/dia.

y = Porcentagem de atendimento de geração de energia para a edificação.

Hrsp = Horas equivalentes de sol pleno em Horas/dia.

Fpp = Fator de perda de potência

Fps = Fator de perda e segurança.

As horas equivalentes de sol pleno em horas/dia foram retiradas do Atlas Solarimétrico do Brasil 2000, disponível gratuitamente no site da CRESESB. Retirou-se os valores referentes ao mês com menor índice de sol pleno, a fim de garantir um fornecimento mínimo ao longo do período de projeto, mesmo na pior situação.

O valor de perda de potência levou em consideração o modelo do inversor, uma vez que ele representa a maior perda em um sistema ligado à rede.

Já o fator de perda e segurança pode ser obtido através da Tabela 3.1.

Tabela 3.1 - Perdas em um sistema fotovoltaico ligado à rede

Perda	Variação mínima e máxima da Perda	Valor Considerado
Desvio no rendimento nominal do módulo (dados de placa) e da radiação de 1000W/m²	-5% a 10%	2,5%
Temperatura no Módulo	-3% a 6%	3,5%
Perdas nos condutores no lado DC	1% a 3%	2%
Perdas nos condutores no lado CA	0,7% a 2%	1%
Eficiência do Inversor na conversão	1% a 15%	2%
Mismatch no MPPT	1,5% a 3%	2%
Sombreamento	0% a 100%	0%
Diodos e conexões	0,3% a 0,7%	0,5%
Transformadores (como os de isolamento no inversor, por exemplo)	2% a 4%	2%
Sistema Solar-Tracking	0% a 2%	0%
Degradação na incidência solar inicial	1% a 10%	2,5%
Indisponibilidade do sistema	0% a 0,5%	0%
Sujeira nos módulos	2% a 25%	4%
Total de Perdas	-	22%

Fonte: [MIRANDA, 2014]

Após realizar esses cálculos, basta utilizar-se da expressão 3.4 para se obter o número necessário de placas para compor o grupo gerador fotovoltaico.

$$Nw = \frac{Wp}{Pp}$$
 3.4

Sendo:

N = Quantidade necessária de placas fotovoltaicas.

Wp = Potência mínima do grupo gerador em W.

Pp = Potência de cada placa fotovoltaica em W.

Contudo, ainda existe a possibilidade do dimensionamento da quantidade de placas fotovoltaicas, através da estimativa de produção das mesmas, utilizando-se das expressões 3.5 para o cálculo da produção estimada e a expressão 3.6 para a determinação da quantidade necessária de placas fotovoltaicas.

$$P = Ef * Ar * Ir$$
 3.5

Sendo:

P = Produção estimada em kWh/dia.

Ef = Eficiência da placa em %.

Ar =Área de produção do painel em m^2 .

Ir = Irradiação solar em plano inclinado de avaliação em $\frac{kWh}{m^2.dia}$

$$Ni = \frac{Ctm}{(P*1000)*Fpp*(1-Fps)}$$
 3.6

Sendo:

Ni = Quantidade necessária de placas fotovoltaicas.

Ctm = Média do consumo médio diário do período avaliado, em Wh/dia.

P = Produção estimada em kWh/dia.

Fpp = Fator de perda de potência

Fps = Fator de perda e segurança.

Ambos os métodos são aceitos e foram utilizados neste trabalho, para que assim fosse possível chegar ao valor mais próximo possível da realidade.

3.1.4.3 Viabilidade do projeto

Após ter posse desses valores, foi feita uma pesquisa dos produtos disponíveis e cabíveis de atender à demanda de projeto, para que assim tornasse possível verificar a viabilidade econômica do grupo gerador. Este processo foi feito utilizando-se do método do *Pay Back Time*, que se utiliza da expressão 3.7 para determinar o tempo de retorno.

$$P_p = \frac{Cut}{EC}$$

Sendo:

 P_p = Período necessário para retorno do investimento.

Cut = Custo total do investimento.

Ec = Valor da economizado anualmente.

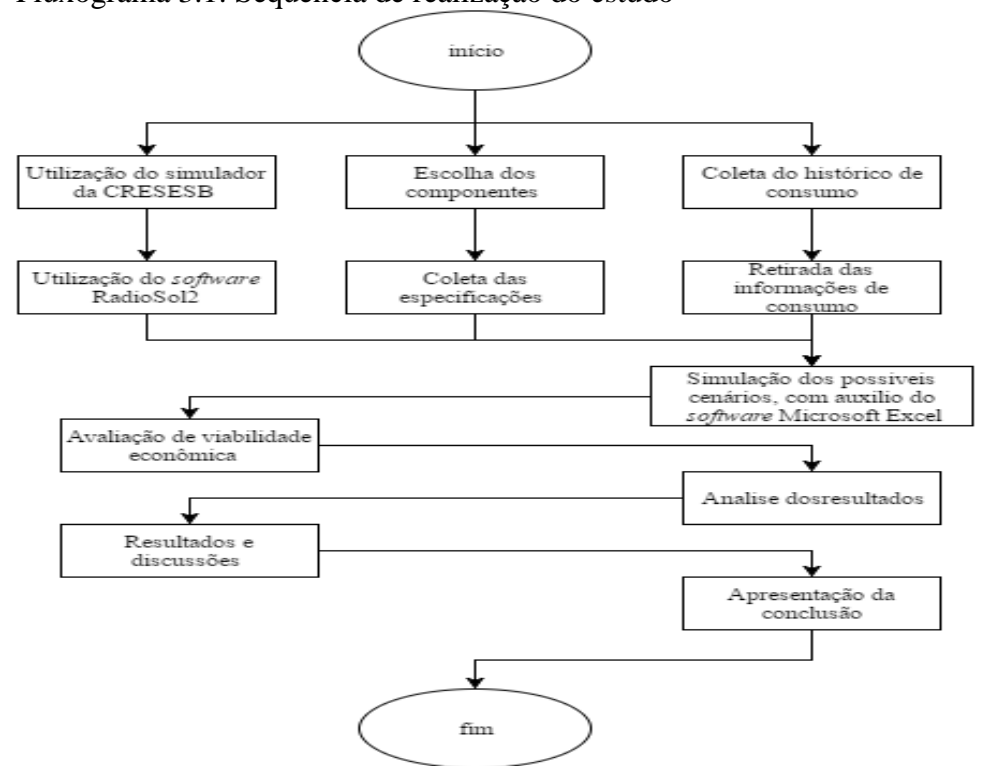
Dentro do custo total do investimento estão incluídas as taxas, caso necessário, de um possível financiamento bancário, além do custo de eventuais manutenções que possam vir a ocorrer no sistema.

Todos os valores monetários que foram utilizados serão ser fixados na unidade monetária dólar americano U\$, da cotação do dia em que forão coletados os dados, sendo assim podemos sofrer alterações de valores futuros. Como produtos importados serão taxados conforme legislação vigente e impostos decorrentes, utilizou-se o simulador do tratamento tributário e administrativo das importações disponibilizado pela Receita Federal.

A análise de *Pay Back Time* foi realizada em cenários diferentes, com o auxílio do programa Microsoft Excel®, possibilitando assim chegar a melhor opção de investimento.

3.1.5 Fluxograma do estudo

Para facilitar o entendimento da metodologia empregada, foi desenvolvido o fluxograma 3.1, o qual descreve as ações que serão desenvolvidas nesse trabalho.



Fluxograma 3.1: Sequência de realização do estudo

Fonte: [AUTOR, 2016]

CAPÍTULO 4

4.1 RESULTADOS E DISCUSSÕES

4.1.1 Irradiação Solar Na Região

Para a determinação da irradiação solar na região, foi utilizado o simulador da CRESESB, no qual é necessário fornecer as coordenadas geográficas do local desejado para se realizar a consulta. Sendo assim, considerou-se os valores de latitude 25°06'30.6"S e longitude 52°46'42.1"W, que são referentes ao centro do galpão utilizado para estudo. A partir disso, foram fornecidas três opções de local (Tabela 4.1), uma vez que o simulador indica as estações de coleta de dados mais próximas das coordenadas informadas, a fim de fornecer dados mais fidedignos possíveis.

Tabela 4.1 - Estações de Coleta

Estação	Município	UF	País	Latitude [°]	Longitude [°]	Distância [km]
Toledo	Toledo	PR	BRA	24,7° S	53,743055° O	115,3
Campo Mourão	Campo Mourão	PR	BRA	24° S	52,383055° O	143,6
Palmas	Palmas	PR	BRA	26,4° S	51,990555° O	150,7

Fonte: [AUTOR, 2016]

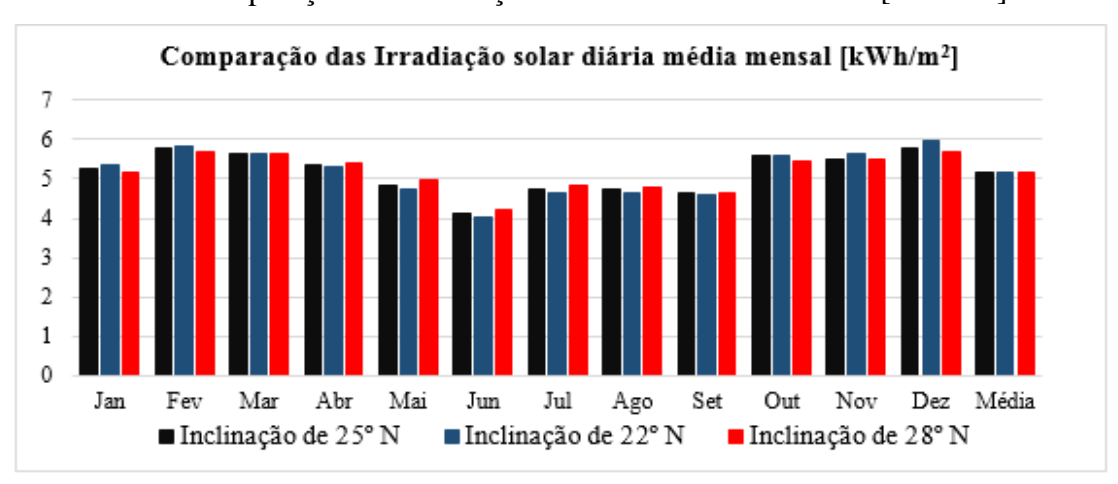
Como opção para o desenvolvimento deste estudo foi utilizada a estação de Toledo, que é a mais próxima do galpão, que é com uma distância de 115,3 km do mesmo. Como resultado foram fornecidos os dados presentes na Tabela 4.2, com diferentes inclinações, sendo divididas da seguinte forma: 0° N Plano Horizontal, 25° N Ângulo igual a latitude, 22° N Maior média anual, 34° N maior mínimo mensal e 28° N referente à inclinação apresentada pelo telhado do galpão, sendo que esta foi obtida através do software RadioSol2, em que os dados que foram utilizados são referentes as mesmas coordenadas geográficas utilizadas pelo simulador da CRESESB.

Tabela 4.2 – Irradiação solar diária média mensal, estação de Toledo

Indinação		Irradiação solar diária média mensal [kWh/m².dia]											
Inclinação 	Jan	Fev	Mar	Abr	Mai	Jun	Jul	Ago	Set	Out	Nov	Dez	Média
0° N	5,67	5,83	5,25	4,58	3,81	3,11	3,61	3,92	4,14	5,44	5,86	6,39	4,80
25° N	5,25	5,78	5,64	5,37	4,82	4,11	4,73	4,73	4,62	5,59	5,49	5,79	5,16
22° N	5,34	5,84	5,65	5,3	4,75	4,01	4,65	4,66	4,59	5,59	5,66	5,97	5,17
34° N	4,96	5,53	5,56	5,45	5,05	4,35	4,98	4,84	4,67	5,37	5,31	4,45	5,04
28°N	5,19	5,71	5,64	5,39	4,96	4,2	4,84	4,79	4,63	5,44	5,49	5,68	5,16

Como salientado no Manual de Engenharia para Sistemas Fotovoltaicos da CRESESB, as placas fotovoltaicas devem ser instaladas na inclinação igual à da latitude quando possível, neste caso 25° N, uma vez que esta apresenta valores de irradiação de maior viabilidade, todavia é possível observar que a inclinação apresentada pelo telhado de 28° N demonstra valores muito próximos do mesmo, além disso ambos demonstram a mesma média de irradiação. Ainda é possível destacar o mês de outubro, o qual possui a maior amplitude entre os dois valores, chegando na casa de 0,11 kWh/m². Entretanto, quando a comparação é realizada com a inclinação de 22° N, a qual apresenta a maior irradiação solar mensal, a diferença chega apenas na casa de 0,01 kWh/m², cabendo a dezembro a maior amplitude de valores chegando a 0,29 kWh/m², como apresentado no Gráfico 4.1.

Gráfico 4.1 - Comparação das Irradiação solar diária média mensal [kWh/m²]



Fonte: [AUTOR, 2016]

Com base nisso não se faz necessária a readequação do telhado para instalação das placas fotovoltaicas, uma vez que a inclinação existente tende a apresentar o aproveitamento próximo do ideal, em relação tanto ao recomendado pelo CRESESB quanto a maior média anual.

Além disso, há os dados referentes à coleta realizada em campo, que teve como intuito recolher informações a fim de estudar possíveis alternativas para maximização da coleta de irradiação solar, é possível observar tais dados do Apêndice B ao Apêndice F referente ao ponto de amostra 1. Este estando localizado nas coordenadas: latitude 25°06.509'S e longitude 052°46.706' W, com a queda do telhado voltada para o Sul e com uma elevação de 859 metros em relação ao nível do mar.

Já do Apêndice G ao Apêndice K são apresentados os dados de coleta no ponto de amostra 2, este localizado nas coordenadas: latitude 25°06.503' S e longitude 52°46.698' W, com sua queda do telhado voltado para o Norte e apresentando a mesma elevação do ponto de amostra 1, 859 metros.

A atribuição dos valores em W/m² foi feita se utilizando um índice de transformação de lx para tal, e este índice foi obtido através de comparação de comprimento de onda, obtido pela Expressão 3.2 a qual resultou em um valor de 5,0877.10⁻⁷m ou 508,77nm de comprimento máximo de onda, assim utilizando-se do conversor disponível no site *translatorscafe* para obter a equivalência de 1 lux para 0,001464129 W/m².

Todavia há de se lembrar que o conversor leva em consideração um comprimento máximo de onda de 555nm, porém tal alteração não traz tamanha influência negativa aos resultados para que estes não sejam condizentes com a realidade.

Em posse dos valores de irradiação solar em W/m² bastou apenas aplicar a quantidade de horas de irradiação para cada amostra, de tal forma que é possível observar nas Tabelas 4.3 e Tabela 4.4 os resultados destas.

Tabela 4.3 - Irradiação solar diária total referente a coleta 01

	Amostra 1									
Data	16/07/2016	17/07/2016	18/07/2016	19/07/2016	20/07/2016	Média				
Irradiação média diária em kWh/m²	1 391	8,07	6,47	8,02	8,17	6,93				

Fonte: [AUTOR, 2016]

Tabela 4.4 - Irradiação solar diária total referente a coleta 02

	Amostra 2									
Data	16/07/2016	17/07/2016	18/07/2016	19/07/2016	20/07/2016	Média				
Irradiação média diária em kWh/m²	1 479	9,39	7,85	9,09	9,42	8,01				

É possível observar que a média de irradiação das amostras é bem superior à irradiação média para o mês de julho, que é de 3,61 kWh/m², porém deve-se levar em consideração que a estimativa da CRESESB se utiliza apenas das horas de sol pleno, e a irradiação obtida através da coleta de dados foi realizada em intervalos de 1 hora, não levando em consideração os períodos os quais houve variações de insolação na região.

Porém quando se reduz ao período referente a maior insolação e irradiação plena que vai das 10:00 horas até as 15:00 horas, totalizando 6 horas de sol pleno, é possível verificar na Tabela 4.5 e Tabela 4.6 que as médias ficam bem próximas das fornecidas pelo simulador.

Tabela 4.5 - Irradiação solar diária referente a coleta 01

	Amostra 1								
Data	16/07/2016	17/07/2016	18/07/2016	19/07/2016	20/07/2016	Média			
Irradiação média diária em kWh/m²	1 1 44	3,59	3,04	3,69	3,62	3,08			

Fonte: [AUTOR, 2016]

Tabela 4.6 - Irradiação solar diária referente a coleta 02

	Amostra 2								
Data	16/07/2016	17/07/2016	18/07/2016	19/07/2016	20/07/2016	Média			
Irradiação média diária em kWh/m²	1 166	4,02	3,49	4,10	4,12	3,48			

Fonte: [AUTOR, 2016]

Durante a coleta foi realizado um memorial a fim de coletar as informações visuais climáticas as quais a região estava sendo submetida no momento em que as informações foram recolhidas, e tal memorial pode ser observado abaixo:

Dia 16/07/2016 – Início da manhã com chuva leve, porém muito nublado e com fortes ventos. Aproximadamente as 10 horas e 20 minutos da manhã o céu começou a limpar, porém ainda havia muita neblina, todavia já era possível observar o sol. Aproximadamente às 13

horas da tarde o céu estava quase limpo apresentando apenas poucas nuvens, após as 14 horas e 30 minutos o céu ficou completamente azul, a temperatura começou a cair, com ventos contínuos o dia todo.

Dia 17/07/2016 – Início da manhã com céu limpo, baixa temperatura e pequenas rajadas de vento. Local da amostra 2 tem contato direto com o nascer do sol, apresentando valores superiores. Aproximadamente as 9 horas e 40 minutos a amostra 1 teve contato direto com o sol, e as rajadas de vento aumentaram, o céu se manteve claro o dia todo, sem nuvens.

Dia 18/07/2016 – Céu com pequenas nuvens e poucas nuvens, sem presença de vento no início da manhã. Por volta das 13 horas e 45 minutos um manto de nuvens se aproximou, tampando por completo o céu. Ao fim de tarde o manto de nuvens permanecia presente.

Dia 19/07/2016 – O dia amanhece com poucas nuvens. Aproximadamente as 10 horas e 38 minutos o céu permanecia apresentando poucas nuvens, e no horizonte é possível observar um céu limpo. Após as 12 horas e 27 minutos o céu ficou totalmente limpo até o fim da tarde, sem apresentar quaisquer nuvens.

Dia 20/07/2016 – Início da manhã sem nuvens, céu totalmente limpo com poucas rajadas de vento. O tempo manteve-se estável até o fim da tarde, sem muitos ventos e com céu limpo.

Além disso destaca-se a possibilidade de instalação das placas no local da amostra 2, pois este apresentou os maiores valores de irradiação solar no local de estudo, além disso, deverá ser posicionado a 60 metros da face frontal em direção a face posterior do galpão, pois neste local não se oferece qualquer vegetação que venha a obstruir a passagem dos raios solares, possibilitando o maior aproveitamento destes.

4.1.2 Gastos Com Energia Elétrica

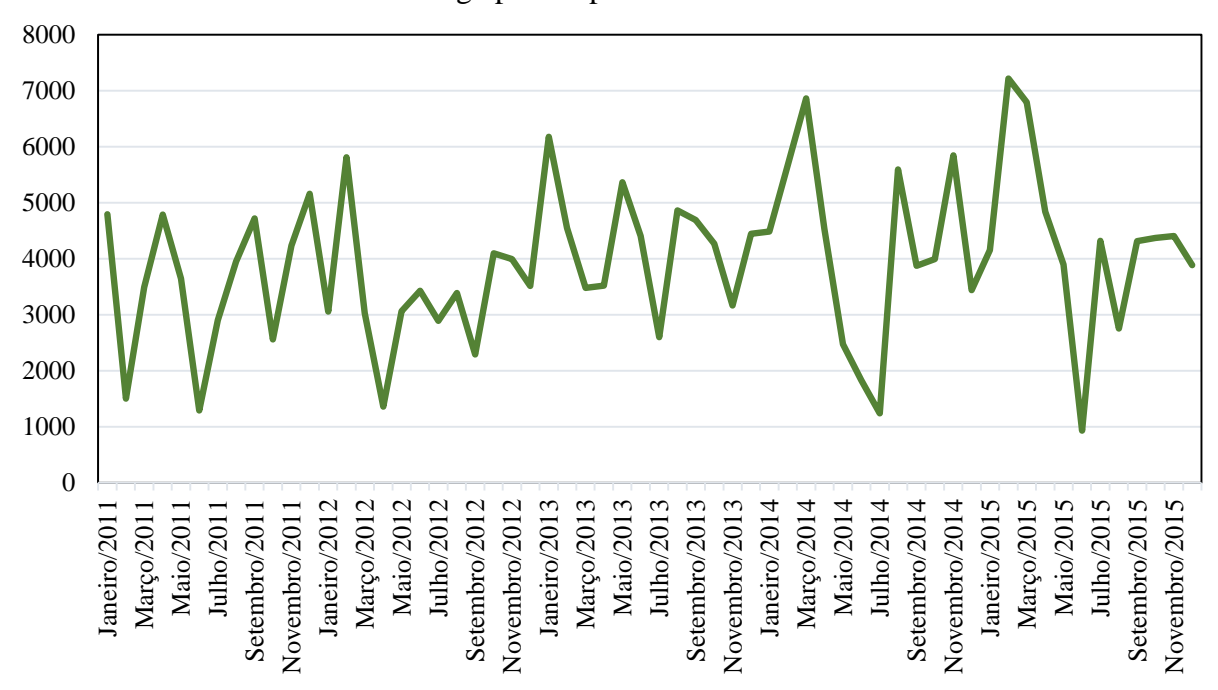
O consumo de energia elétrica foi coletado compreendendo o período de janeiro de 2011 a dezembro de 2015, todavia para que fosse possível obter valores de investimentos mais compatíveis com a realidade, o valor pago pelo kWh foi atualizado para o mês de agosto de 2016, o qual apresentou uma taxa de R\$ 0,348632/kWh, com base nisso é possível observar no Apêndice L e M, os referidos valores, e na Tabela 4.7 é informado um resumo destes, em que é possível verificar que os gastos com energia elétrica atualizados chega na casa de R\$ 82 mil em um período de 5 anos. Além disso, uma estimativa do consumo médio por ciclo de criação de aves dos aparelhos indicados como de maior consumo no galpão, foram dispostos no Apêndice N e O.

Tabela 4.7 - Consumo total de energia elétrica

Consumo Total (kWh)	Acumulado pago	Acumulado pago atualizado 08/2016
236124,00	R\$ 45.008,82	R\$ 82.320,38

Ainda é possível verificamos a variação do consumo em kWh no Gráfico 4.2, com destaque nos meses de maio e julho de cada ano, pois estes apresentam uma queda significativa no consumo, da mesma forma em que nos meses de novembro a janeiro o consumo tende a uma alta considerável, tais variações estão diretamente ligadas às variações e estações climáticas.

Gráfico 4.2 - Consumo de kWh do galpão no período analisado



Fonte: [AUTOR, 2016]

Também foram coletados os valores ganhos com a criação de aves de corte no galpão no período de avaliação e estes estão disponíveis no Apêndice P, além disso é possível observar esses dados no Gráfico 4.3 no qual são apresentados dois valores, o valor ganho na data descrita e o valor corrigido para a data do estudo, e para isto foi utilizado o índice INPC do IBGE para atualizar os mesmos para valores de agosto de 2016.

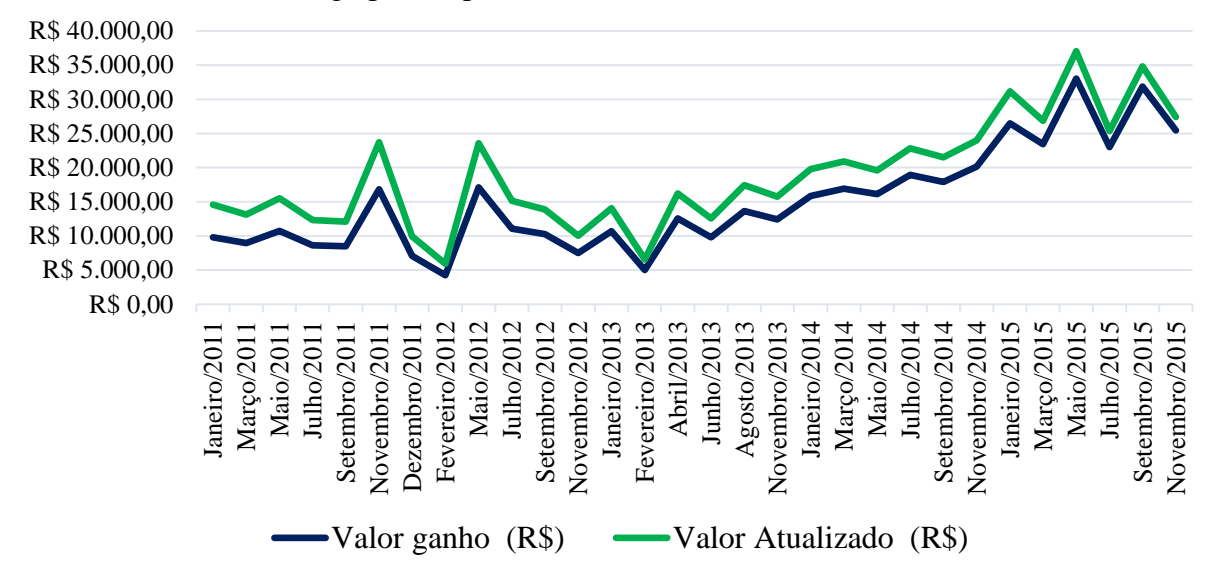


Gráfico 4.3 - Ganhos do galpão no período analisado

Deve-se observar a partir dos dois gráficos que, juntamente com o aumento de 145,09% apresentado no consumo de energia elétrica, comparando os anos de 2012 e 2015, uma vez que estes apresentaram a maior variação no consumo de energia elétrica, houve também um aumento de 266,49% nos ganhos em comparação destes mesmos períodos, tendo relação com o emprego de novas tecnologias no galpão, pois neste período houve a constante mudança de motores utilizados para a exaustão do mesmo, tal como a implementação de um novo método de umidificação do ar, o qual utilizava uma nova bomba de água.

Com base nesses dados, é possível observar no Gráfico 4.4 a relação das despesas de abastecimento de energia elétrica com os ganhos do galpão com a criação de aves de corte, deve-se então verificar que quando estes valores são atualizados, os gastos com a energia elétrica chegam ao patamar dos valores de 2015, todavia os ganhos não apresentam tais variações, cabendo assim que, apesar dos investimentos em novas tecnologias, os métodos utilizados de gerenciamento no galpão tiveram uma maior influência nos ganhos.

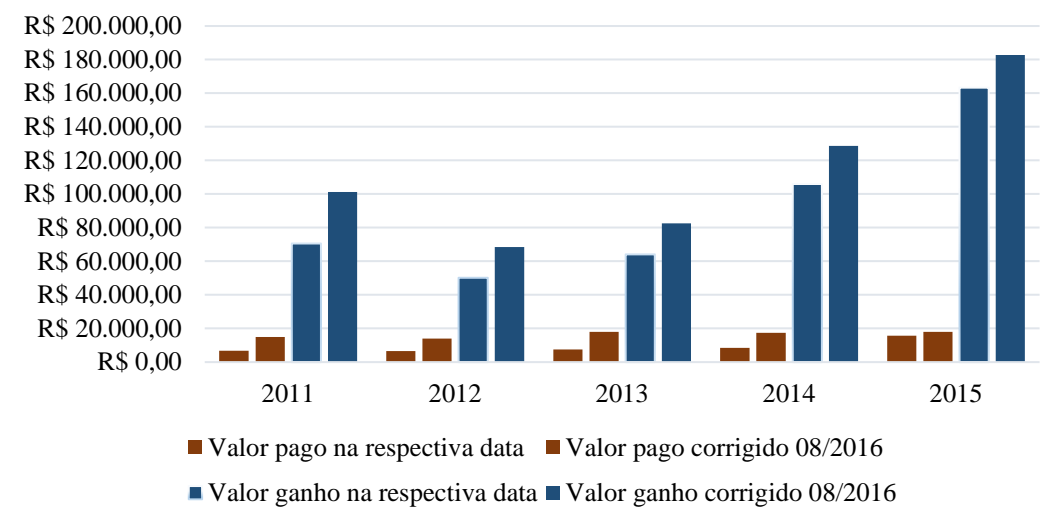


Gráfico 4.4 - Consumo de kWh do galpão no período analisado [kWh]

Ainda é possível verificar estas variações na Tabela 4.8, na qual é possível observar que na representatividade do valor corrigido, o maior valor é referente ao ano de 2013 chegando ao patamar de 21,72% e com a menor representatividade presente no ano de 2015 com 9,9%. Todavia os valores das despesas de energia elétrica respectivamente são R\$17.955,59 e R\$ 18.079,53, enquanto os ganhos são de R\$ 82.655,00 para o ano de 2013 e R\$ 182.693,98 para o ano de 2015, revelando que apesar das despesas com a energia elétrica apresentarem uma diferença de R\$ 123,94, os valores ganhos chegam a uma diferença superior a R\$ 100 mil, de tal forma que o ano de 2015 apresentou o maior aproveitamento de energia elétrica.

Quando é feita esta comparação utilizando os anos de 2012 e 2015 respectivamente, os quais apresentaram a maior variação no consumo de energia elétrica, contatou-se que as diferença entre as despesas chegam na casa de R\$ 4 mil, enquanto os ganhos atingiram valor superior a R\$ 110 mil.

Tabela 4.8 - Representatividade dos encargos com energia elétrica

	Despesas de e	energia elétrica	Valor ganho	com o galpão	Representatividade		
Periodo	Doto moon octivo	Valor assisida	Data respectiva	Valor corrigido	Data	Valor	
	Data Tespectiva	valor corrigido	Data Tespectiva	valor corrigido	respectiva	corrigido	
2011	R\$ 6.793,52	R\$ 14.999,89	R\$ 70.516,53	R\$ 101.319,59	9,63%	14,80%	
2012	R\$ 6.600,50	R\$ 13.909,72	R\$ 50.193,80	R\$ 68.556,09	13,15%	20,29%	
2013	R\$ 7.553,06	R\$ 17.955,59	R\$ 64.140,74	R\$ 82.655,00	11,78%	21,72%	
2014	R\$ 8.410,51	R\$ 17.375,82	R\$ 105.930,19	R\$ 128.645,48	7,94%	13,51%	
2015	R\$ 15.651,23	R\$ 18.079,36	R\$ 163.253,02	R\$ 182.693,98	9,59%	9,90%	

Fonte: [AUTOR, 2016]

4.1.3 Quanto as Placas Fotovoltaicas

Através de consulta realizada junto ao INMETRO foi possível coletar um total de 98 empresas autorizadas para a venda de placa fotovoltaicas, gerando assim 102 marcas diferentes de placas e, por fim, contabilizando-se um total de 450 produtos diferentes, todavia há de se destacar que entre estes produtos há placas de mesmo modelo, porém comercializadas por empresas diferentes. Por fim, é possível observar do Anexo 4.1 ao Anexo 4.9 esses produtos na totalidade, todavia nesta lista estão incluídas empresas as quais apresentam pendências quanto à regularização da licença de venda, sendo assim, estão foram marcadas com as cores vermelha e laranja, de tal forma que estas não foram utilizadas na pesquisa.

Após retiradas das empresas as quais indicavam pendências, restou apenas 86 destas, contabilizando 92 marcas em um total de 412 produtos diferentes. A fim de racionalizar a pesquisa, os produtos foram organizados de forma decrescente a partir da maior produtividade por metro quadrado e, com estas empresas, foi realizada a cotação de preços.

Cotação a qual teve como intuito a procura de todos os produtos, sejam eles obtidos apenas através de importação ou comercializados dentro do território nacional, ou ainda a comercialização dos produtos pelas empresas listadas ou por outras empresas do ramo que se utilizam das mesmas marcas e modelos de placas, independentemente da empresa, e estes dados podem ser observados do Apêndice Q ao Apêndice T.

Durante a cotação de preços das placas fotovoltaicas foi possível obter apenas preços de 167 produtos, dentre esses, 19 disponíveis dentro do território nacional, tal redução é em grande parte pelo fator de que muitos dos produtos listados no INMETRO são destinados a uso interno das empresas, conforme confirmado durante a cotação.

É possível observar no Gráfico 4.5 a relação entre placas fotovoltaicas de silício monocristalino para com as de silício policristalino, dentro dos 412 produtos pesquisados, chegando a um total respectivo de 108 para 304 placas.

silício monocristalino
Silício policristalino

Gráfico 4.5 - Representatividade das placas pesquisados

Ao final da cotação foi possível constatar que a hegemonia das placas de silício policristalino permaneceu, conforme demonstrado no Gráfico 4.6, obtendo assim 130 destas para apenas 37 placas fotovoltaicas de silício monocristalino, e até aumentando sua representatividade quando comparada com o Gráfico 4.4.

silício monocristalino
Silício policristalino

Gráfico 4.6 - Representatividade das placas cotadas

Fonte: [AUTOR, 2016]

Além disso, do total das 167 placas fotovoltaicas pesquisadas, apenas uma pequena parcela está disponível para compra dentro do território nacional, chegando a apenas 19 produtos, como é possível observar no Gráfico 4.7, nesse caso, o agravante é que 13 destas placas estão entre as 40 piores no quesito de relação entre produção pela área.

Território nacional
Importadas

Gráfico 4.7 - Disponibilidade de compra das placas por localização

Das placas disponíveis em território nacional é possível verificar no Gráfico 4.8 a disponibilidade de compra em relação ao tipo de material empregado na fabricação das placas.

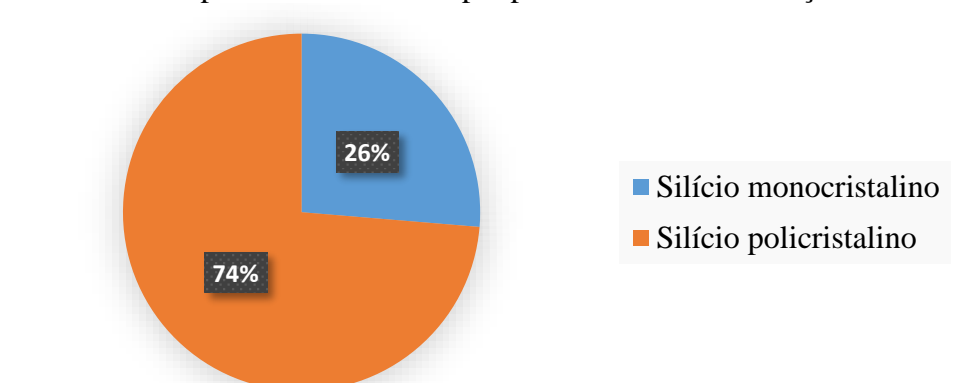


Gráfico 4.8 - Disponibilidade de compra por material de fabricação

Fonte: [AUTOR, 2016]

É possível destacar a placa fotovoltaica da marca *PANASONIC* e modelo VBHN220AA01 ocupando a posição de número 2 da lista geral, pois esta é a que apresenta a maior relação área pela produção dentre as placas cotadas, que foi de 21,90 apresentando uma eficiência energética de 17,5 estando a um preço por unidade de \$ 561,00 ou R\$ 2.711,55 com imposto de importação.

Em contrapartida, é possível destacar a placa da marca *KOMAES* e modelo KM10, a qual ocupa a posição de número 408 da lista geral, e sendo a de pior relação área pela produção das placas cotadas, com um índice de 11,45 e uma eficiência energética de 9,2, todavia, esta placa está disponível para compra dentro do território nacional, a um preço de R\$ 59,26 ou R\$ 190,00.

Já no Gráfico 4.9 é possível observar a distribuição da totalidade das placas em suas respectivas eficiências energéticas, tendo seu maior pico com 22 placas de eficiência igual a 16% e compreendendo a maior quantidade de placas entre a eficiência de 15,3% a 16,5%.

Gráfico 4.9 - Eficiência e suas respectivas quantidades

Fonte: [AUTOR, 2016]

4.1.4 Quanto aos Inversores de Potência

Durante a pesquisa junto ao INMETRO foi possível constatar um total de 43 produtos subdivididos em 13 fabricantes autorizados a fabricação e comercialização de inversores, tais dados podem ser observados no Anexo 4.10. Também foi levada em consideração a lista de produtos homologados pela COPEL, uma vez que esta fornece quais são os inversores apropriados e liberados por ela para serem utilizados em sistemas ligado à rede (Anexo 4.11).

Porém quando cruzam-se os dados das duas tabelas chega-se à conclusão que apenas 2 inversores são homologados tanto pelo INMETRO quanto pela COPEL, sendo estes descritos no Apêndice U. Durante a cotação de preços apenas o inversor de modelo *IngeconSun 3 TL M* foi encontrado, cotado a um preço de USD 2.286,28, chegando a uma cotação nacional de R\$ 11.050,55 por unidade considerando-se impostos e transporte com a data de importação semelhante as das placas. Este produto oferece uma garantia de 10 anos, sendo que esta é prorrogável até 25 anos, tornando-se compatível com grande parte das garantias das placas propostas.

Após isto foi realizada uma consulta junto ao manual de instruções e de uso, fornecido pela impressa INGETEAM LTDA, no qual foi possível constatar que o inversor de potência

de modelo IngeconSun 3 TL M tem uma faixa de trabalho variando de 3,2 a 4Kw, sendo assim, para efeito deste estudo foi adotado um valor de dimensionamento de 3,5Kw.

4.1.5 Quanto a Instalação das Placas Fotovoltaicas

Para a instalação das placas fotovoltaicas se fazem necessários suportes, e para tal foi cotado um Kit de montagem Thesan para telha cerâmica com ganchos para 4 placas fotovoltaicas, o que resulta em um valor de R\$ 1.250,00, com sua venda sendo realizada em território nacional, pelo site http://www.neosolar.com.br/. A empresa oferece garantia de 12 anos, tendo compatibilidade com grande parte dos períodos de garantia oferecidos para as placas fotovoltaicas.

A fim de um melhor aproveitamento, as placas deverão ser instaladas voltadas para a mesma face do local da amostra 2, além disso devem estar a 60 metros da parte frontal em direção a parte posterior do galpão, pois assim as interferências de luminosidade causadas pela vegetação serão minimizadas.

4.1.6 Quanto a Viabilidade do Projeto

O estudo de viabilidade econômica deste projeto levou em consideração os custos com placas fotovoltaicas, estrutura para instalação destas em um telhado de telha cerâmica e inversores de potência, outros materiais e serviços como cabeamento, mão de obra de instalação ou ainda projeto elétrico, não foram levados em consideração, uma vez que o maior custo de investimento é representado pelos encargos cotados.

Deve-se ainda lembrar que a previsão de produção foi realizada levando em consideração a irradiação solar na região fornecida pelo simulador da CRESCESB. Além disso, placas que apresentam área de produção inferior a 1m² não foram consideradas para a viabilidade do projeto.

Deve-se lembrar que o dimensionamento realizado neste estudo levou em consideração 2 (duas) possibilidades, sendo elas o dimensionamento levando em consideração a potência nominal de cada placa, dimensionamento 1, e o dimensionamento pela estimativa de produção a partir da simulação da irradiação solar na região, dimensionamento 2, ambos relacionados pela demanda do galpão. Sendo que as possibilidades aqui propostas foram divididas em diferentes cenários para um melhor entendimento.

De tal forma que o Cenário A representa o investimento mínimo para instalação do grupo gerador fotovoltaico ligado à rede, isto devido à necessidade do inversor de potência, sendo assim foi limitada a quantidade de placas fotovoltaicas necessárias para suprir a potência nominal de serviço de 1 inversor apenas.

Já o Cenário B apresenta os valores para uma simulação em que as placas fotovoltaicas estarão dimensionadas de forma a atender 100% da demanda do galpão.

Enquanto o Cenário C trata-se da projeção de economia energética proveniente da aplicação de uma nova tecnologia em relação a motores, de forma a reduzir consideravelmente os encargos com energia elétrica, prevendo sua utilização associada a placas fotovoltaicas.

4.1.6.1 Simulação do Cenário A

Com a simulação do Cenário A foi possível obter valores de investimento de três modelos de placas, sendo que estão são obtidas no exterior, e duas das placas apresentaram os menores valores de *payback time*, com a terceira apresentando o maior valor do mesmo (Apêndice V). Como mencionado este cenário tem como objetivo atingir o investimento mínimo, para tal foi encontrado o valor de 10,5% de atendimento da demanda total de energia elétrica do galpão.

Com base nisso é possível observar que a placa de modelo UL-320P-72, de posição 25 na classificação geral de produtividade, apresentou as menores necessidades mínimas de investimento, em relação as placas pesquisadas para ambos os métodos de dimensionamento, gerando assim um valor respectivo para o método 1 na casa de R\$ R\$ 21.760,67 acarretando em uma economia anual prevista de R\$ 2.106,86, valores estes que geram um *payback time* de 10 anos e 4 meses; enquanto o método de dimensionamento 2 requer um investimento mínimo de R\$ 22.456,69 para gerar uma economia anual de R\$ 2.317,54, apresentando um *payback time* de 9 anos e 9 meses.

Ambos os valores estipulados para o retorno do investimento ficaram próximos do valor de garantia oferecida para o material que compõe o produto, a qual está na casa de 10 anos, todavia existe ainda uma garantia de eficiência de produção de 25 anos a qual proporciona uma produção garantida de 15 anos após o tempo de pagamento do investimento.

A fim de realizar uma comparação, a placa que alcançou o segundo menor *payback time* é o de modelo SR156P-300, estando na posição de número 188 da classificação geral de produtividade, e esta necessita de 10 anos e 7 meses para retorno do investimento, tendo como

base um investimento mínimo de R\$ 22.775,69 e com uma produção anual prevista de R\$ 2.165,86 para o método de dimensionamento 1. Já para o método de dimensionamento 2, o investimento chegou a casa de R\$ 23.500,70, fornecendo uma economia anual de R\$ 2.362,76, sendo necessário 10 anos para retorno do valor investido. Esta placa oferece uma garantia de 10 anos para os materiais que a compõem e 25 para a sua produção, totalizando 14 anos e 4 messes de produção garantida.

Em contrapartida, a placa de modelo VBHN220AA01, na posição de número 2 da classificação geral de produtividade, apresentou o maior valor de *payback time*, chegando a 26 anos e 1 mês pelo método de dimensionamento 1, o qual apresentou um custo de investimento de R\$ 56.723,77 gerando assim uma economia anual prevista de R\$ 2.176,95; já para o método 2, gerou um custo de R\$ 59.435,32 e uma economia prevista de R\$ 2.322,08 por ano. Porém ambos os métodos empregados para esta placa apresentam valores de retorno de investimento superior ao de garantia da placa, seja ela dos materiais que a compõem ou de produtividade, que são respectivamente 10 e 25 anos.

Já na Tabela 4.9 é apresentada uma relação das quantidades de placas fotovoltaicas, inversores e kits de instalação para a simulação deste cenário.

Tabela 4.9 - Quantidade de materiais necessária para o Cenário A

Posição	Madala/aádira	Material	Quantidade de placas fotovoltaicas		· .	dade de sores	Quantidade Kits de instalação	
	Modelo/código	Material	Método 1	Método 2	Método 1	Método 2	Método 1	Método 2
25	UL-320P-72	Silício PoliCristalino	94	101	9	10	24	26
188	SR156P-300	Silício PoliCristalino	11	12	1	2	3	3
2	VBHN220AA01	Silício MonoCristalino	136	146	9	10	34	37

Com a obtenção dos valores de economia anual dos três modelos de placa, foi realizada uma comparação ao período analisado de consumo de energia elétrica do galpão, como destacado na Tabela 4.10. Já na tabela 4.11 é possível observar a representatividade dos investimentos em relação aos ganhos atualizados do galpão no período avaliado de 5 anos, obtendo valores de representatividade na média de 4,01% para os 2 melhores modelos de placas, todavia para a placa de maior *payback time*, a representatividade chega na casa dos aos 10%.

Tabela 4.10 – Representatividade da economia em um período de 5 anos do Cenário A

Posição	Encargos com energia	Economia prevista	para período de 5 anos	Repres	entatividade
geral	Valor total corrigido	Método 1	Método 2	Método 1	Método 2
25		R\$ 10.534,29	R\$ 11.587,72	12,80%	14,08%
188	R\$ 82.320,38	R\$ 10.739,18	R\$ 11.565,27	13,05%	14,05%
2		R\$ 10.884,77	R\$ 11.610,42	13,22%	14,10%

Tabela 4.11 – Representatividade dos investimentos para o Cenário A

Pos	sição	Ganhos atualizados do	Cubto uo	investimento	Representatividade		
ge	geral	galpão no período de 5 anos	Método 1	Método 2	Método 1	Método 2	
	25		R\$ 21.760,67	R\$ 22.456,69	3,86%	3,98%	
1	.88	R\$ 563.870,13	R\$ 22.775,69	R\$ 23.500,70	4,04%	4,17%	
	2		R\$ 56.723,77	R\$ 59.435,32	10,06%	10,54%	

Fonte: [AUTOR, 2016]

É possível ainda observar na Tabela 4.12 as médias aritméticas para o Cenário A, referente ao custo de investimento, economia anual e *payback time* de todas as placas cotadas. Com isso é possível destacar que ambas as placas, apresentadas como de melhor escolha para este cenário, apresentam um *payback time* com valores próximos a 8 anos a menos do que a média, ainda apresentam custo de investimento de até 2/3 a menos.

Tabela 4.12 – Média aritmética para simulação do Cenário A

Mátada	Custo do Investimento	Economic annul	Payback Time		
Método	Custo do Investimento	Economia anuai	Anos	Meses	
Método 1	R\$ 31.897,26	R\$ 2.165,95	18	4	
Método 2	R\$ 40.757,29	R\$ 2.275,50	18	1	

Fonte: [AUTOR, 2016]

4.1.6.2 Simulação do Cenário B

A simulação do Cenário B teve como intuito da busca dos valores para um investimento necessário para atender a 100% da demanda por energia elétrica do galpão, de forma a se destacar 3 placas fotovoltaicas, tendo sua origem de compra no exterior, sendo 2 delas as de menor *payback time*, já a terceira a de maior, e estas podem ser observadas no Apêndice W.

Com a simulação a placa que apresentou mais facilidade em pagamento de seu investimento foi novamente a de modelo UL-320P-72, na posição geral de número 25, apresentando um investimento necessário de R\$ 194.880,12 para o dimensionamento 1, e este gerou uma economia anual prevista de R\$ 19.804,46 os quais acarretaram em um *payback time* de 9 anos e 11 messes; já para o método de dimensionamento 2 a mesma placa

apresentou um investimento de R\$ 213.302,75 o qual tem como previsão de produção anual no valor de R\$ 21.279,26 os quais geram um *payback time* de 10 anos e 1 mês.

Já a placa a qual alcançou o segundo menor *payback time* é a de modelo JST250P(60), posição geral 226, para esta se faz necessário um investimento na casa de R\$ 201.075,65 para o dimensionamento 1, gerando assim uma economia anual prevista na casa de R\$ 19.991,40 acarretando por sua vez em um *payback time* de 10 anos e 1 mês; já o dimensionamento 2 apresenta um valor de investimento de R\$ 217.013,35 tendo como uma economia prevista de R\$ 21.147,92 acarretando na necessidade de 10 anos e 4 messes para pagamento de seu investimento.

Ambas as placas e indiferentes ao qual método de dimensionamento estas são submetidas, oferecerem valores para retorno do investimento muito próximos da garantia do material destas, que para ambas é de 10 anos, já em comparação com o tempo de garantia de produtividade de 25 anos das mesmas, acaba por restar 15 anos acarretando em um bom aproveitamento do material.

Em contrapartida, a placa de modelo VBHN220AA01 com a posição geral de número 2, ofereceu novamente a pior opção em relação ao *payback time* para as necessidades desta aplicação, chegando a 25 anos e 11 messes para o método 1, com os valores de investimento de R\$ 510.725,51 e com uma economia anual prevista de R\$ 19.737,72; e para o método 2 alcançou o valor de R\$ 552.641,55 de investimento e R\$ 21.189,02 de economia anual prevista, gerando assim um *payback time* de 26 anos e 1 mês. Ambos valores de retorno do investimento superam os valores de garantia oferecida para o produto, que são respectivamente 10 anos para os materiais que compõem a placa e 25 anos de produção.

Na Tabela 4.13 é possível observar a relação das quantidades necessárias de cada elemento utilizado para realizar a simulação deste cenário.

Tabela 4.13 – Quantidade de materiais necessária para o Cenário B

Posição	Modelo/código	Material	Quantidade de placas fotovoltaicas		Quantidade de inversores		Quantidade Kits de instalação	
rosição	rosição Modeio/codigo Material		Método 1	Método 2	Método 1	Método 2	Método 1	Método 2
25	UL-320P-72	Silício PoliCristalino	94	101	9	10	24	26
226	JST250P(60)	Silício PoliCristalino	121	128	9	10	31	32
2	VBHN220AA01	Silício MonoCristalino	136	146	9	10	34	37

Fonte: [AUTOR, 2016]

Ainda é possível observar na Tabela 4.14 a representatividade da economia prevista das placas em relação aos encargos com energia elétrica do período de 5 anos avaliado, com isto obtemos valores de representatividade muito próximos para as 3 opções de placas, chegando na casa de 119,88% para o de menor, e 129,25% para o de maior. Ambos valores apresentados são superiores às necessidades do galpão no período avaliado, todavia há de se destacar que o dimensionamento foi realizado de forma a atender 100% da demanda, sendo assim, este excedente é proveniente das variações de consumo e irradiação ao longo do ano.

Tabela 4.14 – Representatividade da economia em um período de 5 anos do Cenário B

Posição	Encargos com energia	Economia prevista para período de 5 anos			ríodo de 5 anos	Representatividade		
geral	Valor total corrigido	Potência nominal Previsão de		são de produção	Potência nominal	Previsão de produção		
25		R\$	99.022,29	R\$	106.396,30	120,29%	129,25%	
226	R\$ 82.320,38	R\$	99.956,99	R\$	105.739,62	121,42%	128,45%	
2		R\$	98.688,59	R\$	105.945,11	119,88%	128,70%	

Fonte: [AUTOR, 2016]

Na tabela 4.15 podemos observar a representatividade do custo de investimento quanto aos ganhos do galpão no período avaliado, na qual podemos constatar valores próximos de 36% para ambas as placas de melhor retorno financeiro, todavia chegam à casa de 98% para a placa de pior *payback time*.

Tabela 4.15 – Representatividade dos investimentos para o Cenário B

Posição	Ganhos atualizados do	Custo do investimento		Representatividade			
geral	galpão no período de 5	Potência nominal	Previsão de produção	Potência nominal	Previsão de produção		
25		R\$ 194.880,12	R\$ 213.302,75	34,56%	37,83%		
226	R\$ 563.870,13	R\$ 201.075,65	R\$ 217.013,35	35,66%	38,49%		
2		R\$ 510.725,51	R\$ 552.641,55	90,58%	98,01%		

Fonte: [AUTOR, 2016]

Na tabela 4.16 é possivel observar a média aritmética em relação ao custo de investimento, economia anual prevista e *payback* time de todas as placas cotadas.

Tabela 4.16 – Média aritmética para simulação do Cenário B

Método	Custo do Investimento	Economia anual	Paybac	k Time
Metodo	Custo do Investimento	Economia anual	Anos	Meses
Dimensionamento A	R\$ 355.384,64	R\$ 19.858,05	18	0
Dimensionamento B	R\$ 384.769,23	R\$ 21.206,38	18	2

Fonte: [AUTOR, 2016]

4.1.6.3 Simulação do Cenário C

Inicialmente para o desenvolvimento desta simulação foi realizada uma projeção das características de um Keppe Motor® com potência de 1,5CV (Tabela 4.17). Para tal, foram utilizados os dados da Tabela 2.3 os quais são referentes a um teste do Keppe Motor® de 1 CV, realizado nos EUA pela empresa *Advanced Energy*, no dia 31 de maio de 2016.

Tabela 4.17 – Simulação do desempenho de um Keppe Motor® de potência 1,5CV

Velocidade (rpm)	Torque (Nm)	Aumento de temperatura do Estator (°C)	Potência de Entrada(W)	Potência de Saída (W)	Fração de 1 CV	Eficiência (%)
4.200	2,1	7,8	1238,4	1117	1 1/2	90,2

Fonte: [AUTOR, 2016]

Em posse desses dados foi simulado o consumo de energia elétrica realizando a substituição dos motores utilizados para a exaustão de ar do galpão, com isso obteve-se novos valores de consumo, os quais estão apresentados no Apêndice Y. Realizando uma comparação do novo consumo com o anterior, é possível constatar uma redução de 28%.

Após isto foi realizado a simulação de um grupo gerador fotovoltaico para atendimento dos motores Keppe (Apêndice Z), e para tal não foi utilizado um inversor de potência, pois este não se faz necessário neste caso, visto que os motores são capazes de fornecer a potência desejada. Sendo que para utilização deste motor é necessário realizar a adequação quanto a velocidade de funcionamento, sendo necessário a utilização de uma caixa de engrenagens de modo a garantir torque e rotação adequados.

Deve-se levar em consideração que neste estudo não foi realizada a cotação do preço de um banco de baterias, tal como o dimensionamento do posicionamento das placas fotovoltaicas a fim de garantir a corrente necessária para o funcionamento do motor, apenas levou-se em consideração seu consumo.

Com isso a placa que apresentou o menor tempo de retorno de investimento foi a de modelo UL-320P-72, a qual ocupa a posição geral de número 25, e esta necessita de 4 anos e 10 messes para retorno do investimento para o método 1, com um custo de R\$ 51.746,63 e uma economia anual prevista de R\$ 10.744,97. Já para o método 2 obteve-se um custo de investimento no valor de R\$ 55.084,67, com uma economia anual prevista de R\$ 11.377,03 gerando assim um *payback time* de 4 anos e 11 messes.

Já a placa com o segundo menor *payback time* foi a de modelo JST250P (60), e esta ocupa a posição geral de número 226, e que através do método de dimensionamento 1 apresentou um custo de investimento no valor de R\$ 55.023,52, com uma economia anual prevista de R\$ 10.739,18. Já o método 2 apresentou um custo de R\$ 58.351,89 gerando uma

economia anual prevista de R\$ 11.400,05. Ambos os métodos apresentaram um *payback time* de 5 anos e 2 messes.

As duas placas de melhor desempenho apresentaram valores de retorno de investimento bem abaixo do tempo de garantia oferecida para o material, os quais para ambas é de 10 anos, e ainda a garantia de produtividade é de 25 anos, além disso ambas apresentam a necessidade de compra no exterior.

A placa de modelo VBHN220AA01, obtida no exterior e que ocupa a 2º posição geral, foi a que apresentou o maior tempo de retorno de investimento, sendo que para o método 1 apresenta um valor de R\$ 224.404,57 com uma economia anual prevista na casa de R\$ 10.739,64. Já para o método 2 se faz necessário um investimento de R\$ 239.212,31 para uma economia anual prevista de R\$ 11.465,29. Ambos os métodos geram um *payback time* de 20 anos e 11 messes.

Na tabela 4.18 é possível verificar a as necessidades dos materiais para realização da instalação do grupo gerador fotovoltaico para o Cenário C, deve-se destacar a não necessidade de inversores, haja visto que está é maior vantagem do sistema Keppe Motor® nesta situação, uma vez que os inversores representam o maior custo individual.

Tabela 4.18 – Quantidade de materiais necessária para o Cenário C

Posioão	Madala/aádira	Material	Quantidade de placas fotovoltaicas		٠.	idade de rsores	Quantidade Kits de instalação	
Posição	Modelo/código	Material	Método 1	Método 2	Método 1	Método 2	Método 1	Método 2
25	UL-320P-72	Silício PoliCristalino	51	54	0	0	13	14
0	JST250P(60)	Silício PoliCristalino	65	69	0	0	17	18
2	VBHN220AA01	Silício MonoCristalino	74	79	0	0	19	20

Fonte: [AUTOR, 2016]

Com base nisso é possível observar na Tabela 4.19 a representatividade da economia gerada pelas placas fotovoltaicas nos encargos com energia elétrica no período analisado, chegando a valores perto de 70%.

Tabela 4.19 – Representatividade da economia em um período de 5 anos do Cenário C

Dogioão govol	Encargos com energia	Economia prevista para p			período de 5 anos	Representatividade	
Posição geral	Valor total corrigido	Método 1		Método 2		Método 1	Método 2
25		R\$	53.724,86	R\$	56.885,15	65,26%	69,10%
226	R\$ 82.320,38	R\$	53.695,90	R\$	57.000,26	65,23%	69,24%
2		R\$	53.698,21	R\$	57.326,46	65,23%	69,64%

Fonte: [AUTOR, 2016]

Já na Tabela 4.20 está disposta a representatividade do custo de investimento para implementação do grupo gerador fotovoltaico em relação aos ganhos com o galpão, sendo que as placas de melhor desempenho atingem valores próximos a 10% apenas.

Tabela 4.20 – Representatividade dos investimentos para o Cenário C

Dogioão govol	Ganhos atualizados do galpão	Custo do	investimento	Representatividade		
Posição geral	no período de 5 anos	Método 1	Método 2	Método 1	Método 2	
25		R\$ 51.746,63	R\$ 55.084,67	9,18%	9,77%	
226	R\$ 563.870,13	R\$ 55.023,52	R\$ 58.351,89	9,76%	10,35%	
2		R\$ 224.404,57	R\$ 239.212,31	39,80%	42,42%	

Fonte: [AUTOR, 2016]

Na tabela 4.21 são apresentadas as médias aritméticas do custo de investimento, economia anual e *payback time* de todas as placas fotovoltaicas cotadas durante o estudo.

Tabela 4.21 – Média aritmética para simulação do Cenário C

Método	Método Custo do Investimento		Payback Time		
Metodo	Custo do Investimento	Economia anual	Anos	Meses	
Método 1	R\$ 81.762,48	R\$ 8.930,66	9	1	
Método 2	R\$ 86.992,31	R\$ 9.498,28	9	1	

Fonte: [AUTOR, 2016]

4.1.6.4 Comparação entre Cenários A, B e C

Todos os cenários se mostraram favoráveis, considerando o tempo de retorno dos mesmos. Todavia existe ainda necessidade de um planejamento financeiro para que cada um seja possível, e para isto será feito um comparativo dos mesmos, afim de se avaliar as condições individuais aplicadas em um panorama geral da situação.

Nos Gráfico 4.10 e Gráfico 4.11 é possivel observar a comparação do *payback time*, em anos, dos cenários propostos nos diferentes metodos de dimensionamento, cada qual seguindo a ordem de classificação das melhores placas em suas respectivas simulações. Deve-se destacar que a placa de modelo UL-320P-72 aparece como melhor opção diante dos três cenarios, enquanto a placa de modelo VBHN220AA01 aparece como a pior opção nos mesmos, enquanto apenas na segunda posição houve variação, sendo que no Cenário A optou-se pela placa de modelo SR156P-300, quanto no Cenário B e Cenário C optou-se pela placa de modelo JST250P(60).

É possivel ainda observar que o payback time do Cenário A e Cenário B, para as duas placas de melhor desempenho, ficaram no mesmo patamar, enquanto no Cenário C houve

uma queda de 50% do tempo de retorno, isto ligado a não necessidade de instalação de inversores de potência, ficando clara a sua representatividade nos custos deste investimento.

30
25
20
20
5 15
10
5 Cenário A Cenário B Cenário C

Placa de modelo UL-320P-72 Placa de modelo JST250P(60)

Placa de modelo SR156P-300 Placa de modelo VBHN220AA01

Gráfico 4.10 – Comparativo de Payback time das placas selecionadas pelo método 1

Fonte: [AUTOR, 2016]

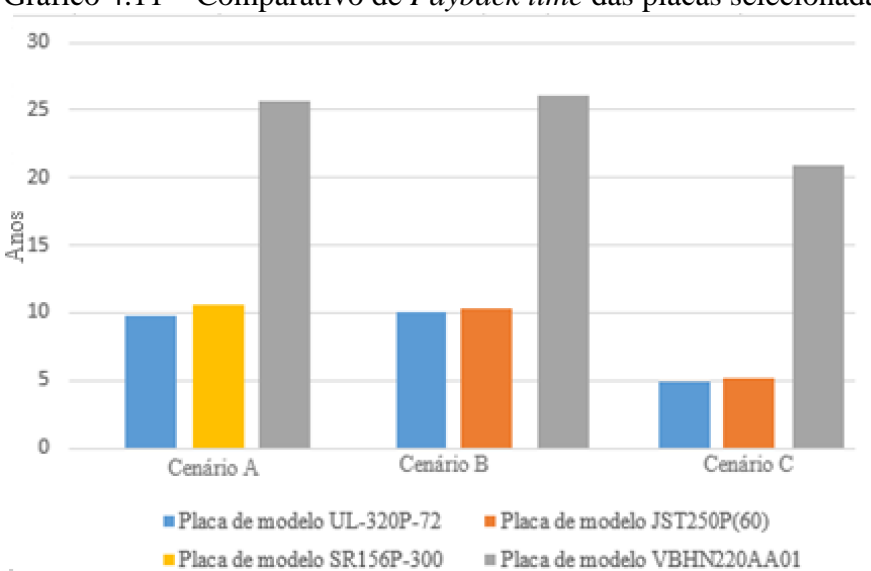


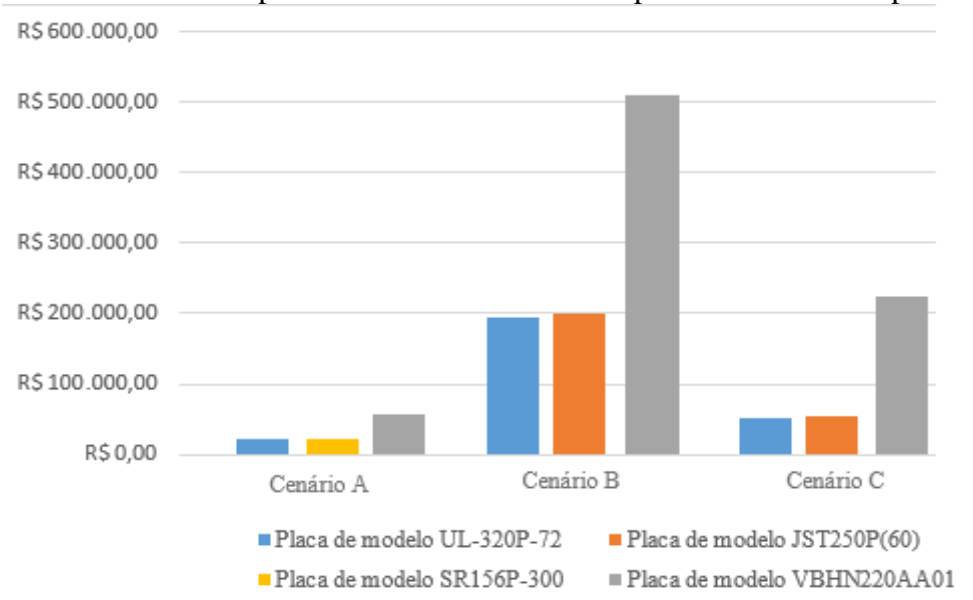
Gráfico 4.11 – Comparativo de *Payback time* das placas selecionadas pelo método 2

Fonte: [AUTOR, 2016]

Já nos Gráficos 4.12 e 4.13 é possível observar os valores necessários de investimento para os diferentes cenários propostos, para ambos os métodos de dimensionamento. Deve-se lembrar que mesmo apresentando valores inferiores de investimento, o Cenário A atende apenas 10,5% da demanda de energia elétrica do galpão, enquanto o Cenário C atende 53,7% da demanda deste, que seria referente a substituição dos motores utilizados para exaustão do

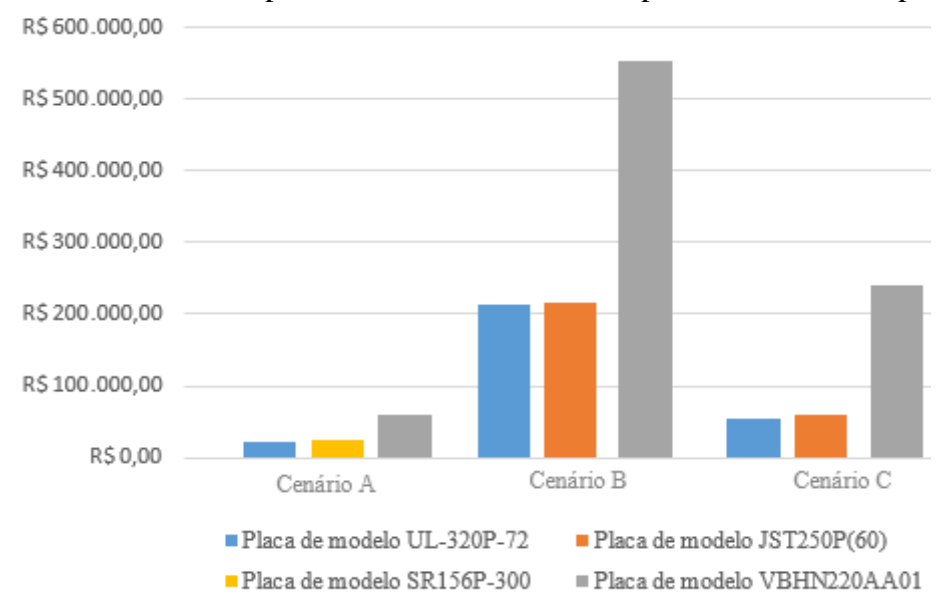
galpão por motores de ressonancia, mesmo apresentando valores não tão altos em relação ao Cenário A.

Gráfico 4.12 – Comparativo de investimento das placas selecionadas pelo método 1



Fonte: [AUTOR, 2016]

Gráfico 4.13 – Comparativo de investimento das placas selecionadas pelo método 2



Fonte: [AUTOR, 2016]

CAPÍTULO 5

5.1 CONSIDERAÇÕES FINAIS

O presente trabalho teve como intuito avaliar a viabilidade econômica do emprego de placas fotovoltaicas na geração de energia elétrica para utilização destas no ramo agroindustrial de aves de corte. Levou-se em consideração também a legislação vigente quanto à utilização de placas fotovoltaicas e inversores de potência ligados à rede.

A região utilizada no estudo apresentou valores de irradiação solar que proporcionam um bom aproveitamento das placas fotovoltaicas, além disso o local de instalação destas no galpão apresentou inclinação próxima da necessária para atingir a maior produtividade, tornando-o propício ao recebimento do grupo gerador fotovoltaico, quanto a estas condições.

A comparação dos encargos com energia elétrica no período avaliado com os ganhos do galpão no mesmo período, chegaram a valores de representatividade de 16%, valor este que reforça a necessidade da busca por uma fonte de energia mais rentável financeiramente, tornando-a propícia ao recebimento do grupo gerador fotovoltaico.

A disponibilidade da compra de placas fotovoltaicas seja em território nacional ou internacional se mostrou favorável, atingindo valores unitários adequados para utilização, de forma a garantir o custo benefício. Além disso, a garantia fornecida atinge valores de até 25 anos, o que garante uma produtividade a longo prazo.

A busca por inversores se mostrou como grande empecilho para a utilização das placas fotovoltaicas, visto a grande incompatibilidade dos produtos homologados pelo INMETRO e pela COPEL, restando apenas 2 opções em comum, e destas apenas houve a disponibilidade de compra de uma, a qual apresentou um valor elevado.

As simulações dos diferentes cenários propostos se mostraram positivas financeiramente quanto à utilização das placas fotovoltaicas, todavia existe a necessidade de um planejamento diante do valor necessário de investimento. Deve-se ainda destacar o Cenário C, pois este apresentou valores de *payback* de maior relevância, tendo forte ligação ao emprego do Keppe Motor®, que por sua vez não necessita de um inversor de potência, o qual representava cerda de 50% do investimento nos outros cenários.

É possível ainda observar que o Cenário C atende cerca de 53,7% da demanda energia total do galpão em relação ao consumo dos outros cenários, e ainda apresenta uma diminuição de 16% do consumo de energia, ligada a substituição dos motores convencionais por motores de ressonantes.

Com base nisso é possível destacar que os valores apresentados pelo Cenário C superam de forma considerável outras simulações, visto que mesmo apresentando uma representatividade maior na economia, acaba apresentando valores inferiores a 10% dos ganhos do galpão. Todavia há de se levar em consideração a necessidade do dimensionamento de forma adequada dos outros componentes que irão compor este cenário.

Diante da crescente necessidade de novas fontes de energia limpa, o aumento gradativo das tarifas de energia elétrica, o emprego de novas tecnologias no ramo agroindustrial de aves de corte e o auxílio disponibilizado pelo governo federal, o implemento de energia fotovoltaica na avicultura se torna viável, diante de determinadas necessidades abordadas neste trabalho.

CAPÍTULO 6

6.1 SUGESTÕES PARA TRABALHOS FUTUROS

Realizar um comparativo com outras fontes de energia renovável.

Desenvolver um estudo afim de avaliar a compatibilidade da lista de inversores homologados pela COPEL e pelo INMETRO.

Desenvolver um estudo afim de avaliar um sistema completo de geração de energia fotovoltaica com utilização do KeppeMotor®.

REFERÊNCIAS BIBLIOGRÁFICAS

ABNT – ASSOCIAÇÃO BRASILEIRA DE NORMAS TÉCNICAS. **NBR15215-4:** Iluminação natural – Parte 4: Verificação experimental das condições de iluminação interna de edificações – Método de medição. Rio de Janeiro, 2004.

ABINEE - Associação Brasileira da Indústria Elétrica e Eletrônica. **Propostas para Inserção** da Energia Solar Fotovoltaica na Matriz Elétrica Brasileira. Disponível em: http://abinee.org.br/> Acesso em: 08 de abril 2016.

ABPA, Associação Brasileira de Proteína Animal. **Relatório Anual UBABEF 2015 VERSÃO DIGITAL**. Disponível em: < http://abpa-br.com.br/> Acesso em: 08 de abril 2016.

ABPA, Associação Brasileira de Proteína Animal. **Resumo do Setor de Aves.** Disponível em: < http://abpa-br.com.br/> Acesso em: 08 de abril 2016.

ACOSOLAR. Placa fotovoltaica **marca ASTRONERGY**, **modelo CHSM6610M-270**. Disponível em: https://www.acosolar.com. Acesso em 10 de outubro de 2016.

ACOSOLAR. Placa fotovoltaica **marca ASTRONERGY**, **modelo CHSM6610M-275**. Disponível em: https://www.acosolar.com. Acesso em 10 de outubro de 2016.

ACOSOLAR. Placa fotovoltaica **marca ASTRONERGY**, **modelo CHSM6610P-255**. Disponível em: https://www.acosolar.com. Acesso em 10 de outubro de 2016.

ACOSOLAR. Placa fotovoltaica **marca ASTRONERGY**, **modelo CHSM6610P-260**. Disponível em: https://www.acosolar.com. Acesso em 10 de outubro de 2016.

ACOSOLAR. Placa fotovoltaica **marca ASTRONERGY**, **modelo CHSM6610P-265**. Disponível em: https://www.acosolar.com. Acesso em 10 de outubro de 2016.

ACOSOLAR. Placa fotovoltaica **marca AXITEC**, **modelo AC-250P/156-60S**. Disponível em: https://www.acosolar.com. Acesso em 10 de outubro de 2016.

ACOSOLAR. Placa fotovoltaica **marca AXITEC**, **modelo AC-255P/156-60S**. Disponível em: https://www.acosolar.com. Acesso em 10 de outubro de 2016.

ACOSOLAR. Placa fotovoltaica **marca AXITEC, modelo AC-260P/156-60S.** Disponível em: https://www.acosolar.com. Acesso em 10 de outubro de 2016.

ACOSOLAR. Placa fotovoltaica **marca AXITEC**, **modelo AC-265M/156-60S**. Disponível em: https://www.acosolar.com. Acesso em 10 de outubro de 2016.

ACOSOLAR. Placa fotovoltaica **marca Canadian Solar, modelo CS6X 310P.** Disponível em: https://www.acosolar.com. Acesso em 10 de outubro de 2016.

ACOSOLAR. Placa fotovoltaica **marca CANADIAN**, **modelo CS6K-270M**. Disponível em: https://www.acosolar.com. Acesso em 10 de outubro de 2016.

ACOSOLAR. Placa fotovoltaica **marca CANADIAN**, **modelo CS6P 245P**. Disponível em: https://www.acosolar.com. Acesso em 10 de outubro de 2016.

ACOSOLAR. Placa fotovoltaica **marca CANADIAN, modelo CS6P 250P.** Disponível em: https://www.acosolar.com. Acesso em 10 de outubro de 2016.

ACOSOLAR. Placa fotovoltaica **marca CANADIAN**, **modelo CS6P-240M**. Disponível em: https://www.acosolar.com. Acesso em 10 de outubro de 2016.

ACOSOLAR. Placa fotovoltaica **marca CANADIAN, modelo CS6P-245M.** Disponível em: https://www.acosolar.com. Acesso em 10 de outubro de 2016.

ACOSOLAR. Placa fotovoltaica **marca CANADIAN, modelo CS6P-250M.** Disponível em: https://www.acosolar.com. Acesso em 10 de outubro de 2016.

ACOSOLAR. Placa fotovoltaica **marca CANADIAN**, **modelo CS6P-265P**. Disponível em: https://www.acosolar.com. Acesso em 10 de outubro de 2016.

ACOSOLAR. Placa fotovoltaica **marca CANADIAN**, **modelo CS6X-315P**. Disponível em: https://www.acosolar.com. Acesso em 10 de outubro de 2016.

ACOSOLAR. Placa fotovoltaica **marca CANADIAN, modelo CS6X-320P.** Disponível em: https://www.acosolar.com. Acesso em 10 de outubro de 2016.

ACOSOLAR. Placa fotovoltaica **marca CSUN, modelo CSUN 250-60P.** Disponível em: https://www.acosolar.com>. Acesso em 10 de outubro de 2016.

ACOSOLAR. Placa fotovoltaica **marca CSUN, modelo CSUN 255-60P.** Disponível em: https://www.acosolar.com. Acesso em 10 de outubro de 2016.

ACOSOLAR. Placa fotovoltaica **marca CSUN, modelo CSUN 260-60P.** Disponível em: https://www.acosolar.com>. Acesso em 10 de outubro de 2016.

ACOSOLAR. Placa fotovoltaica **marca CSUN, modelo CSUN 265-60M.** Disponível em: https://www.acosolar.com. Acesso em 10 de outubro de 2016.

ACOSOLAR. Placa fotovoltaica **marca CSUN, modelo CSUN 270-60M.** Disponível em: https://www.acosolar.com. Acesso em 10 de outubro de 2016.

ACOSOLAR. Placa fotovoltaica **marca CSUN, modelo CSUN 300-72P.** Disponível em: https://www.acosolar.com. Acesso em 10 de outubro de 2016.

ACOSOLAR. Placa fotovoltaica **marca CSUN, modelo CSUN 305-72P.** Disponível em: https://www.acosolar.com. Acesso em 10 de outubro de 2016.

ACOSOLAR. Placa fotovoltaica **marca CSUN, modelo CSUN 310-72P.** Disponível em: https://www.acosolar.com. Acesso em 10 de outubro de 2016.

ACOSOLAR. Placa fotovoltaica **marca CSUN, modelo CSUN 320-72M.** Disponível em: https://www.acosolar.com. Acesso em 10 de outubro de 2016.

ACOSOLAR. Placa fotovoltaica **marca CSUN, modelo CSUN250-60P.** Disponível em: https://www.acosolar.com. Acesso em 10 de outubro de 2016.

ACOSOLAR. Placa fotovoltaica **marca CSUN, modelo CSUN255-60P.** Disponível em: https://www.acosolar.com. Acesso em 10 de outubro de 2016.

ACOSOLAR. Placa fotovoltaica **marca CSUN, modelo CSUN260-60P.** Disponível em: https://www.acosolar.com. Acesso em 10 de outubro de 2016.

ACOSOLAR. Placa fotovoltaica **marca CSUN, modelo CSUN265-60P.** Disponível em: https://www.acosolar.com. Acesso em 10 de outubro de 2016.

ACOSOLAR. Placa fotovoltaica **marca CSUN, modelo CSUN305-72P**. Disponível em: https://www.acosolar.com. Acesso em 10 de outubro de 2016.

ACOSOLAR. Placa fotovoltaica **marca CSUN, modelo CSUN310-72P**. Disponível em: https://www.acosolar.com. Acesso em 10 de outubro de 2016.

ACOSOLAR. Placa fotovoltaica **marca CSUN, modelo CSUN315-72P.** Disponível em: https://www.acosolar.com. Acesso em 10 de outubro de 2016.

ACOSOLAR. Placa fotovoltaica **marca RENESOLA**, **modelo JC245M-24-Bb.** Disponível em: https://www.acosolar.com. Acesso em 10 de outubro de 2016.

ACOSOLAR. Placa fotovoltaica **marca RENESOLA**, **modelo JC250S-24-Bb.** Disponível em: https://www.acosolar.com. Acesso em 10 de outubro de 2016.

ACOSOLAR. Placa fotovoltaica **marca RENESOLA**, **modelo JC255M-24/Bb.** Disponível em: https://www.acosolar.com. Acesso em 10 de outubro de 2016.

ACOSOLAR. Placa fotovoltaica **marca RENESOLA**, **modelo JC255M-24/Bb.** Disponível em: https://www.acosolar.com. Acesso em 10 de outubro de 2016.

ACOSOLAR. Placa fotovoltaica **marca RENESOLA**, **modelo JC255S-24-Bb.** Disponível em: https://www.acosolar.com. Acesso em 10 de outubro de 2016.

ACOSOLAR. Placa fotovoltaica **marca RENESOLA**, **modelo JC260M-24/Bb.** Disponível em: https://www.acosolar.com>. Acesso em 10 de outubro de 2016.

ACOSOLAR. Placa fotovoltaica **marca RENESOLA**, **modelo JC260S-24-Bb.** Disponível em: https://www.acosolar.com. Acesso em 10 de outubro de 2016.

ACOSOLAR. Placa fotovoltaica **marca RENESOLA**, **modelo JC305M-24/Ab.** Disponível em: https://www.acosolar.com. Acesso em 10 de outubro de 2016.

ACOSOLAR. Placa fotovoltaica **marca TALESUN, modelo TP672P-305.** Disponível em: https://www.acosolar.com. Acesso em 10 de outubro de 2016.

ACOSOLAR. Placa fotovoltaica **marca TALESUN, modelo TP672P-310**. Disponível em: https://www.acosolar.com. Acesso em 10 de outubro de 2016.

ACOSOLAR. Placa fotovoltaica marca TRINA SOLAR, modelo TSM 260PEG05. Disponível em: https://www.acosolar.com. Acesso em 10 de outubro de 2016.

ACOSOLAR. Placa fotovoltaica **marca TRINA SOLAR, modelo TSM 265PEG05.** Disponível em: https://www.acosolar.com. Acesso em 10 de outubro de 2016.

ACOSOLAR. Placa fotovoltaica **marca TRINA SOLAR, modelo TSM 270PD05.** Disponível em: https://www.acosolar.com. Acesso em 10 de outubro de 2016.

ACOSOLAR. Placa fotovoltaica **marca TRINA SOLAR, modelo TSM 310PD14.** Disponível em: https://www.acosolar.com. Acesso em 10 de outubro de 2016.

ACOSOLAR. Placa fotovoltaica **marca TRINA SOLAR, modelo TSM 315PD14.** Disponível em: https://www.acosolar.com. Acesso em 10 de outubro de 2016.

ACOSOLAR. Placa fotovoltaica **marca TRINA SOLAR, modelo TSM 320PD14.** Disponível em: https://www.acosolar.com. Acesso em 10 de outubro de 2016.

ACOSOLAR. Placa fotovoltaica **marca UP SOLAR, modelo UP-M260P.** Disponível em: https://www.acosolar.com. Acesso em 10 de outubro de 2016.

ACOSOLAR. Placa fotovoltaica **marca UP SOLAR, modelo UP-M265P.** Disponível em: https://www.acosolar.com. Acesso em 10 de outubro de 2016.

ACOSOLAR. Placa fotovoltaica **marca YINGLI SOLAR, modelo YL260P-29b.** Disponível em: https://www.acosolar.com>. Acesso em 10 de outubro de 2016.

ACOSOLAR. Placa fotovoltaica **marca YINGLI SOLAR, modelo YL290P-35B.** Disponível em: https://www.acosolar.com. Acesso em 10 de outubro de 2016.

ACOSOLAR. Placa fotovoltaica **marca YINGLI SOLAR, modelo YL310P-35b.** Disponível em: https://www.acosolar.com. Acesso em 10 de outubro de 2016.

ALDO. Placa fotovoltaica **marca YINGLI SOLAR, modelo YL150P-17b.** Disponível em: http://www.aldo.com.br>. Acesso em 10 de outubro de 2016.

ALFA.SOLAR. Placa fotovoltaica **marca YINGLI SOLAR, modelo YL270P-30B.** Disponível em: https://alfa.solar/uk. Acesso em 10 de outubro de 2016.

ALIBABA. Placa fotovoltaica **marca BLUESUN, modelo BSM250P-60.** Disponível em: https://www.alibaba.com. Acesso em 10 de outubro de 2016.

ALIBABA. Placa fotovoltaica **marca Luxen, modelo LNSE-260M.** Disponível em: http://portuguese.alibaba.com. Acesso em 10 de outubro de 2016.

ALIBABA. Placa fotovoltaica **marca SOLAR LEADING, modelo SL6P36-140W**. Disponível em: https://www.alibaba.com. Acesso em 10 de outubro de 2016.

ALIBABA. Placa fotovoltaica **marca SR SOLAR, modelo SR156P-300.** Disponível em: https://www.alibaba.com>. Acesso em 10 de outubro de 2016.

ALIBABA. Placa fotovoltaica **marca YiSolar, modelo YI6A-250P.** Disponível em: http://yi-solar.en.alibaba.com. Acesso em 10 de outubro de 2016.

ALIEXPRESS. Placa fotovoltaica **marca SINGFO SOLAR, modelo SFM-10.** Disponível em: https://pt.aliexpress.com. Acesso em 10 de outubro de 2016.

ALIEXPRESS. Placa fotovoltaica **marca SOLARTERRA**, **modelo HG90.** Disponível em: https://m.pt.aliexpress.com. Acesso em 10 de outubro de 2016.

AMAZON. Placa fotovoltaica **marca SUOYANG, modelo SY-30M.** Disponível em: https://www.amazon.com. Acesso em 10 de outubro de 2016.

ANEEL, Agência Nacional de Energia Elétrica. **Resolução Nº 687 - Altera a Resolução Normativa nº 482, de 17 de abril de 2012, e os Módulos 1 e 3 dos Procedimentos de Distribuição – PRODIST.** De 24 de novembro de 2015. Disponível em: < http://aneel.gov.br/> Acesso em: 09 de junho 2016.

ANEEL, Agência Nacional de Energia Elétrica. **Resolução Nº 482 - Estabelece as condições** gerais para o acesso de microgeração e minigeração distribuída aos sistemas de distribuição de energia elétrica, o sistema de compensação de energia elétrica, e dá outras providências. De 17 de abril de 2012. Disponível em: < http://aneel.gov.br/> Acesso em: 08 de abril 2016.

ANEEL, Agência Nacional de Energia Elétrica. **Resolução Nº 1.897 - Reajuste Tarifário Anual de 2015, as Tarifas de Energia – TE e as Tarifas de Uso do Sistema de Distribuição – TUSD referentes à Copel Distribuição S.A. – Copel-DIS e dá outras providências.** De 16 de julho de 2015. Disponível em: < http://aneel.gov.br/> Acesso em: 08 de abril 2016.

APRENDERPARAVENCER. Placa fotovoltaica **marca KOMAES**, **modelo KM20**. Disponível em: http://www.aprenderparavencer.com. Acesso em 10 de outubro de 2016.

BEYONDOILSOLAR. Placa fotovoltaica **marca REC, modelo REC260PE.** Disponível em: http://beyondoilsolar.com. Acesso em 10 de outubro de 2016.

BEYONDOILSOLAR. Placa fotovoltaica **marca RENESOLA**, **modelo JC310M-24/Bb**. Disponível em: http://beyondoilsolar.com>. Acesso em 10 de outubro de 2016.

BLDSOLAR. Placa fotovoltaica **marca BLD SOLAR, modelo BLD250-60M.** Disponível em: http://bldsolar.en.made-in-china.com. Acesso em 10 de outubro de 2016.

BRASILHOBBY. Placa fotovoltaica **marca KYOCERA**, **modelo KD140SX-UPU**. Disponível em: http://www.brasilhobby.com.br. Acesso em 10 de outubro de 2016.

BRASILHOBBY. Placa fotovoltaica **marca KYOCERA**, **modelo KS10T**. Disponível em: http://www.brasilhobby.com.br. Acesso em 10 de outubro de 2016.

BRASILHOBBY. Placa fotovoltaica **marca KYOCERA**, **modelo KS20T**. Disponível em: http://www.brasilhobby.com.br/. Acesso em 10 de outubro de 2016.

BRASILHOBBY. Placa fotovoltaica **marca KYOCERA**, **modelo KS90T**. Disponível em: http://www.brasilhobby.com.br/. Acesso em 10 de outubro de 2016.

BIOCALORSHOP. Inversor de potência **marca Ingeteam, modelo IngeconSun 3 TL M.** Disponível em: < www.biocalorshop.it Acesso em 10 de outubro de 2016.

BUSCAINTEGRADA. Placa fotovoltaica **marca Tecnometal Dyasolar, modelo SV245D20.** Disponível em: https://www.buscaintegrada.com.br. Acesso em 10 de outubro de 2016.

CARVALHO, C, R. F. de. **Sistema Fotovoltaico Isolado: Uma Aplicação Prática No Projeto Xapuri.** Universidade Federal de Lavras. Minas Gerais. 2013.

CISSYNERGY. Placa fotovoltaica **marca KYOCERA**, **modelo KS45T**. Disponível em: http://www.cissynergy.com. Acesso em 10 de outubro de 2016.

CIVICSOLAR. Placa fotovoltaica marca ASTRONERGY, modelo CHSM6612P-305. Disponível em: https://www.civicsolar.com. Acesso em 10 de outubro de 2016.

CIVICSOLAR. Placa fotovoltaica marca ASTRONERGY, modelo CHSM6612P-310. Disponível em: https://www.civicsolar.com. Acesso em 10 de outubro de 2016.

CIVICSOLAR. Placa fotovoltaica **marca CANADIAN**, **modelo CS6K-275M**. Disponível em: https://www.civicsolar.com>. Acesso em 10 de outubro de 2016.

CIVICSOLAR. Placa fotovoltaica **marca TRINA SOLAR, modelo TSM 260PD05.** Disponível em: https://www.civicsolar.com. Acesso em 10 de outubro de 2016.

CRESESB, Centro de Referência para Energia Solar e Eólica. **Manual de Engenharia para Sistemas Fotovoltaicos.** Disponível em: < http://cresesb.cepel.br/> Acesso em: 08 de abril 2016.

DRIVEMOTOR. Placa fotovoltaica **marca Luxen, modelo LNSE-250P**. Disponível em: http://market.drivemotor.biz. Acesso em 10 de outubro de 2016.

ECODIRECT. Placa fotovoltaica **marca ASTRONERGY**, **modelo CHSM6612P-315**. Disponível em: http://www.ecodirect.com. Acesso em 10 de outubro de 2016.

ECODIRECT. Placa fotovoltaica **marca REC, modelo REC250PE.** Disponível em: http://www.ecodirect.com. Acesso em 10 de outubro de 2016.

ECODIRECT. Placa fotovoltaica **marca RENESOLA**, **modelo JC250M-24-Bb.** Disponível em: http://www.ecodirect.com. Acesso em 10 de outubro de 2016.

ECODIRECT. Placa fotovoltaica **marca TRINA SOLAR, modelo TSM 265PD05.** Disponível em: http://www.ecodirect.com. Acesso em 10 de outubro de 2016.

ENERGYSHOP. Placa fotovoltaica **marca KOMAES, modelo KM 140.** Disponível em: http://www.energyshop.com.br. Acesso em 10 de outubro de 2016.

ENFSOLAR. Placa fotovoltaica **marca ULICA, modelo UL-320P-72.** Disponível em: http://www.enfsolar.com>. Acesso em 10 de outubro de 2016.

EXTRA. Placa fotovoltaica **marca YINGLI SOLAR, modelo YL315P-35b**. Disponível em: http://www.extra.com.br. Acesso em 10 de outubro de 2016.

FADIGAS, E. A. F. A. **Apostila sobre Energia Solar Fotovoltaica: Fundamentos, Conversão e Viabilidade técnico-econômica.** GEPEA - PEA2420 PRODUÇÃO DE

ENERGIA. Disponível em: http://disciplinas.stoa.usp.br// Acesso em: 08 de abril 2016.

FREECLEANSOLAR. Placa fotovoltaica **marca HAREON SOLAR, modelo HR-260P-18/Bb.** Disponível em: http://www.freecleansolar.com. Acesso em 10 de outubro de 2016.

FREECLEANSOLAR. Placa fotovoltaica marca HAREON SOLAR, modelo HR-265P-18/Bb. Disponível em: http://www.freecleansolar.com. Acesso em 10 de outubro de 2016.

FREECLEANSOLAR. Placa fotovoltaica marca HAREON SOLAR, modelo HR-315W-24/Ba. Disponível em: http://www.freecleansolar.com. Acesso em 10 de outubro de 2016.

FREECLEANSOLAR. Placa fotovoltaica marca HAREON SOLAR, modelo HR-320W-24/Ba. Disponível em: http://www.freecleansolar.com. Acesso em 10 de outubro de 2016.

FREECLEANSOLAR. Placa fotovoltaica **marca KYOCERA**, **modelo KD240GX-LFB**. Disponível em: http://www.freecleansolar.com. Acesso em 10 de outubro de 2016.

FREECLEANSOLAR. Placa fotovoltaica **marca KYOCERA**, **modelo KD245GX-LPB**. Disponível em: http://www.freecleansolar.com. Acesso em 10 de outubro de 2016.

FREECLEANSOLAR. Placa fotovoltaica **marca Q-CELLS, modelo Q BASE G2 240.** Disponível em: http://www.freecleansolar.com. Acesso em 10 de outubro de 2016.

FREECLEANSOLAR. Placa fotovoltaica **marca REC, modelo REC240PE.** Disponível em: http://www.freecleansolar.com. Acesso em 10 de outubro de 2016.

FREECLEANSOLAR. Placa fotovoltaica **marca REC, modelo REC255PE.** Disponível em: http://www.freecleansolar.com. Acesso em 10 de outubro de 2016.

FREECLEANSOLAR. Placa fotovoltaica marca RENESOLA, modelo JC190S-24-Db.

Disponível em: http://www.freecleansolar.com. Acesso em 10 de outubro de 2016.

FREECLEANSOLAR. Placa fotovoltaica marca RENESOLA, modelo JC195S-24-Db.

Disponível em: http://www.freecleansolar.com. Acesso em 10 de outubro de 2016.

FREECLEANSOLAR. Placa fotovoltaica marca RENESOLA, modelo JC200S-24-Db.

Disponível em: http://www.freecleansolar.com. Acesso em 10 de outubro de 2016.

FREECLEANSOLAR. Placa fotovoltaica marca RENESOLA, modelo JC235M-24-Bb.

Disponível em: http://www.freecleansolar.com. Acesso em 10 de outubro de 2016.

FREECLEANSOLAR. Placa fotovoltaica marca RENESOLA, modelo JC240M-24-Bb.

Disponível em: http://www.freecleansolar.com>. Acesso em 10 de outubro de 2016

.

FREECLEANSOLAR. Placa fotovoltaica marca RENESOLA, modelo JC245M-24-Bbv.

Disponível em: http://www.freecleansolar.com. Acesso em 10 de outubro de 2016.

FREECLEANSOLAR. Placa fotovoltaica marca RENESOLA, modelo JC245S-24-Bb.

Disponível em: http://www.freecleansolar.com>. Acesso em 10 de outubro de 2016.

FREECLEANSOLAR. Placa fotovoltaica marca RENESOLA, modelo JC250M-24-Bbv.

Disponível em: http://www.freecleansolar.com. Acesso em 10 de outubro de 2016.

FREECLEANSOLAR. Placa fotovoltaica marca RENESOLA, modelo JC255M-24-Bbv.

Disponível em: http://www.freecleansolar.com. Acesso em 10 de outubro de 2016.

FREECLEANSOLAR. Placa fotovoltaica marca RENESOLA, modelo JC260M-24-Bbv.

Disponível em: http://www.freecleansolar.com. Acesso em 10 de outubro de 2016.

FREECLEANSOLAR. Placa fotovoltaica marca RENESOLA, modelo JC280M-24-Ab.

Disponível em: http://www.freecleansolar.com. Acesso em 10 de outubro de 2016.

FREECLEANSOLAR. Placa fotovoltaica marca RENESOLA, modelo JC285M-24-Ab.

Disponível em: http://www.freecleansolar.com. Acesso em 10 de outubro de 2016.

FREECLEANSOLAR. Placa fotovoltaica marca RENESOLA, modelo JC290M-24-Abv.

Disponível em: http://www.freecleansolar.com. Acesso em 10 de outubro de 2016.

FREECLEANSOLAR. Placa fotovoltaica marca RENESOLA, modelo JC295M-24-Abv.

Disponível em: http://www.freecleansolar.com. Acesso em 10 de outubro de 2016.

FREECLEANSOLAR. Placa fotovoltaica marca RENESOLA, modelo JC300M-24-Abv.

Disponível em: http://www.freecleansolar.com. Acesso em 10 de outubro de 2016.

FREECLEANSOLAR. Placa fotovoltaica marca RENESOLA, modelo JC305M-24-Abv.

Disponível em: http://www.freecleansolar.com. Acesso em 10 de outubro de 2016.

FREECLEANSOLAR. Placa fotovoltaica marca RISEN, modelo SYP260P. Disponível em:

http://www.freecleansolar.com. Acesso em 10 de outubro de 2016.

FREECLEANSOLAR. Placa fotovoltaica marca RISEN, modelo SYP260P. Disponível em:

http://www.freecleansolar.com>. Acesso em 10 de outubro de 2016.

FREECLEANSOLAR. Placa fotovoltaica marca TALESUN, modelo TP660P-255.

Disponível em: http://www.freecleansolar.com. Acesso em 10 de outubro de 2016.

FREECLEANSOLAR. Placa fotovoltaica marca TIANWEI, modelo TW230P60-FA2.

Disponível em: http://www.freecleansolar.com>. Acesso em 10 de outubro de 2016.

FREECLEANSOLAR. Placa fotovoltaica marca YINGLI SOLAR, modelo YL275P-35B.

Disponível em: http://www.freecleansolar.com. Acesso em 10 de outubro de 2016.

FREECLEANSOLAR. Placa fotovoltaica marca YINGLI SOLAR, modelo YL280P-35B.

Disponível em: http://www.freecleansolar.com. Acesso em 10 de outubro de 2016.

FREECLEANSOLAR. Placa fotovoltaica marca YINGLI SOLAR, modelo YL285P-35B. Disponível em: http://www.freecleansolar.com. Acesso em 10 de outubro de 2016.

FREECLEANSOLAR. Placa fotovoltaica **marca YINGLI SOLAR, modelo YL285P-35b.** Disponível em: http://www.freecleansolar.com. Acesso em 10 de outubro de 2016.

GLOBALSOURCES. Placa fotovoltaica **marca SR SOLAR**, **modelo SR156P-250**. Disponível em: http://www.globalsources.com. Acesso em 10 de outubro de 2016.

GOGREENSOLAR. Placa fotovoltaica **marca CANADIAN**, **modelo CS6P 235P**. Disponível em: http://www.gogreensolar.com. Acesso em 10 de outubro de 2016.

GOGREENSOLAR. Placa fotovoltaica **marca PANASONIC**, **modelo VBHN220AA01**. Disponível em: http://www.gogreensolar.com. Acesso em 10 de outubro de 2016.

GOGREENSOLAR. Placa fotovoltaica **marca TALESUN**, **modelo TP660P-240**. Disponível em: http://www.gogreensolar.com>. Acesso em 10 de outubro de 2016.

INMETRO, Instituto Nacional de Metrologia, Qualidade e Tecnologia. **SISTEMA DE ENERGIA FOTOVOLTAICO - - Componente Fotovoltaico - Inversores On-Grid.** Disponível em http://www.inmetro.gov.br/busca/. Acesso em 05 de agosto de 2016.

INMETRO, Instituto Nacional de Metrologia, Qualidade e Tecnologia. **SISTEMA DE ENERGIA FOTOVOLTAICO - Componente Fotovoltaico – Módulo**. Disponível em http://www.inmetro.gov.br/busca/. Acesso em 05 de agosto de 2016.

KEPPE, N. R. **A Nova Física da Metafísica Desinvertida**. 1.ed. São Paulo: Proton Editora, 1996. 155 páginas.

KEPPE, N. R. Magnetônica. 1.ed. São Paulo: Proton Editora, 2013.

KOMAES-SOLAR. Placa fotovoltaica **marca KOMAES, modelo KM5.** Disponível em: http://komaes-solar.sell.everychina.com>. Acesso em 10 de outubro de 2016.

LUZSOLARIS. Placa fotovoltaica **marca RISEN, modelo SYP250P**. Disponível em: http://luzsolaris.com. Acesso em 10 de outubro de 2016.

LUZSOLARIS. Placa fotovoltaica **marca RISEN**, **modelo SYP250P**. Disponível em: http://luzsolaris.com. Acesso em 10 de outubro de 2016.

MADE-IN-CHINA. Placa fotovoltaica **marca JUST SOLAR**, **modelo JST250P(60)**. Disponível em: http://pt.made-in-china.com. Acesso em 10 de outubro de 2016.

MADE-IN-CHINA. Placa fotovoltaica **marca POWEWELL, modelo BW-SM300P72.** Disponível em: http://pt.made-in-china.com>. Acesso em 10 de outubro de 2016.

MADE-IN-CHINA. Placa fotovoltaica **marca QXPV SOLAR, modelo SL250TU-30P.**Disponível em: http://nbqxsolar.en.made-in-china.com>. Acesso em 10 de outubro de 2016.

MADE-IN-CHINA. Placa fotovoltaica **marca QXPV SOLAR**, **modelo SL300TU-36P**. Disponível em: http://pt.made-in-china.com. Acesso em 10 de outubro de 2016.

MADE-IN-CHINA.COMGEIYRG. Placa fotovoltaica **marca JUST SOLAR, modelo JST150P(36).** Disponível em: http://pt.made-in-china.comgeiyrg.html. Acesso em 10 de outubro de 2016.

MARTINS, F.R., E.B. Pereira, S.L. Abreu. **Satellite-derived solar resource maps for Brazil under SWERA project.** Solar Energy 81 517–528 (2007).

MERCADOLIVRE. Placa fotovoltaica **marca KOMAES, modelo KM10.** Disponível em: http://produto.mercadolivre.com.br>. Acesso em 10 de outubro de 2016.

MERCADOLIVRE. Placa fotovoltaica **marca KYOCERA**, **modelo KD140SX-UFBS**. Disponível em: http://produto.mercadolivre.com.br. Acesso em 10 de outubro de 2016.

MERCADOLIVRE. Placa fotovoltaica **marca ZHEJIANG POWERWELL, modelo BWSM100M36.** Disponível em: http://produto.mercadolivre.com.br. Acesso em 10 de outubro de 2016.

MERITOCOMERCIAL. Placa fotovoltaica marca SUNOWE, modelo SF 125X125-72-M (L). Disponível em: http://www.meritocomercial.com.br. Acesso em 10 de outubro de 2016.

MIRANDA, A. B. C. M. M. Análise De Viabilidade Econômica De Um Sistema Fotovoltaico Conectado À Rede. Disponível em: <www.http://monografias.poli.ufrj.br/ > Acesso em 08 de abril de 2016.

MME, Ministério de Minas e Energia. **Energia Solar no Brasil e Mundo Ano de referência** - **2014.** Disponível em: < http://www.mme.gov.br/> Acesso em: 08 de abril 2016.

NAVITRON. Placa fotovoltaica **marca STIZ, modelo RSM60-6-250P.** Disponível em: http://www.navitron.org.uk. Acesso em 10 de outubro de 2016.

NRGBASE. Placa fotovoltaica **marca Sunrise Solar Tec Co, modelo SR-P660250.** Disponível em: http://www.nrgbase.co.uk>. Acesso em 10 de outubro de 2016.

OFF-GRID-EUROPE. Placa fotovoltaica **marca AXITEC**, **modelo AC310P/156-72S**. Disponível em: http://www.off-grid-europe.com. Acesso em 10 de outubro de 2016.

OFF-GRID-EUROPE. Placa fotovoltaica **marca AXITEC**, **modelo AC310P/156-72S**. Disponível em: http://www.off-grid-europe.com. Acesso em 10 de outubro de 2016.

OLIVEIRA, L. F. C. de, R. de C. Ferreira, R. de A. Almeida, E. J. V. Lobato, A. M. de Medeiros. **POTENCIAL DE REDUÇÃO DO CONSUMO DE ENERGIA ELÉTRICA PELA UTILIZAÇÃO DE AQUECEDORES SOLARES NO ESTADO DE GOIÁS**. Eng. Agrícola, Jaboticabal, v.28, n.3, p.406-416, set. 2008.

PINI - TÉCHNE: A REVISTA DO ENGENHEITO. **Artigos relacionados ao sistema fotovoltaico** – Como construir, Ed.89, agosto 2004 – Mario Cassolini DIAS. Disponível em: http://www.revistatechne.com.br. Acesso em: 08 de abril 2016.

POWERWELLSOLAR. Placa fotovoltaica **marca POWEWELL, modelo BW-SM310M72.** Disponível em: http://powerwellsolar.en.made-in-china.com>. Acesso em 10 de outubro de 2016.

GOGREENSOLAR. Placa fotovoltaica **marca RENESOLA**, **modelo JC230M-24-Bb**. Disponível em: http://www.gogreensolar.com. Acesso em 10 de outubro de 2016.

ECODIRECT. Placa fotovoltaica **marca RENESOLA**, **modelo JC255M-24-Bb.** Disponível em: http://www.ecodirect.com. Acesso em 10 de outubro de 2016.

POWERENA. Placa fotovoltaica **marca RISEN SOLAR, modelo RSM60-6-265P.** Disponível em: http://powerena.at. Acesso em 10 de outubro de 2016.

POWERWELLSOLAR. Placa fotovoltaica **marca POWEWELL, modelo BW-SM260M60.** Disponível em: https://powerwellsolar.en.alibaba.com>. Acesso em 10 de outubro de 2016.

PRISMATE. Placa fotovoltaica **marca SENSOTEC**, **modelo ST110P**(**36**). Disponível em: http://prismate.mercadoshops.com.br>. Acesso em 10 de outubro de 2016.

PRIVATMARKET. Placa fotovoltaica **marca SUNRISE**, **modelo SR-P660240**. Disponível em: https://privatmarket.ua. Acesso em 10 de outubro de 2016.

PVSHOP. Placa fotovoltaica **marca WINAICO**, **modelo WST-260P6**. Disponível em: http://pvshop.eu. Acesso em 10 de outubro de 2016.

RENUGEN. Placa fotovoltaica **marca SERAPHIM SOLAR, modelo SRP320-6MA.** Disponível em: http://www.renugen.co.uk. Acesso em 10 de outubro de 2016.

RENUGEN. Placa fotovoltaica **marca ULICA SOLAR, modelo UL-200D-72.** Disponível em: http://www.renugen.co.uk>. Acesso em 10 de outubro de 2016.

RENUGEN. Placa fotovoltaica **marca ULICA SOLAR, modelo UL-250P-60.** Disponível em: http://www.renugen.co.uk>. Acesso em 10 de outubro de 2016.

RÜTHER, R. Edifícios Solares Fotovoltaicos: o potencial da geração fotovoltaica integrada a edificações urbanas e interligada à rede elétrica pública no Brasil. Editora UFSC/LABSOLAR. Florianópolis, 2004.

SECONDSOL. Placa fotovoltaica **marca BYD, modelo BYD240P6-30**. Disponível em: http://www.secondsol.de. Acesso em 10 de outubro de 2016.

SECONDSOL. Placa fotovoltaica marca RISEN SOLAR, modelo RSM60-6-260P. Disponível em: http://en.secondsol.de. Acesso em 10 de outubro de 2016.

SILVA, R. M. Energia Solar no Brasil: dos incentivos aos desafios. Brasília: Núcleo de Estudos e Pesquisas/CONLEG/Senado, Fevereiro/2015 (Texto para Discussão nº 166). Disponível em: www.senado.leg.br/estudos. Acesso em 9 de junho de 2016.

SOLARASIASHOP. Placa fotovoltaica marca PANASONIC, modelo VBMS255AE04. Disponível em: http://www.solarasiashop.com. Acesso em 10 de outubro de 2016.

SOLARIS. Placa fotovoltaica **marca SERAPHIM SOLAR, modelo SRP310-6MA.** Disponível em: http://shop.solaris.co.th. Acesso em 10 de outubro de 2016.

SOLARONLINE. Placa fotovoltaica **marca RISEN, modelo SYP150S**. Disponível em: https://www.solaronline.com.au. Acesso em 10 de outubro de 2016.

SOLARPANELSTORE. Placa fotovoltaica **marca ECOFORCE**, **modelo ECO-30W**. Disponível em: http://www.solarpanelstore.com. Acesso em 10 de outubro de 2016.

SOLARPANELSTORE. Placa fotovoltaica marca UP SOLAR, modelo UP-M315P. Disponível em: http://www.solarpanelstore.com. Acesso em 10 de outubro de 2016.

SOLARSYSTEMS-USA. Placa fotovoltaica marca CANADIAN, modelo CS6P 240P. Disponível em: http://www.solarsystems-usa.net. Acesso em 10 de outubro de 2016.

SOLARSYSTEMS-USA. Placa fotovoltaica **marca RENESOLA**, **modelo JC290M-24-Ab**. Disponível em: http://www.solarsystems-usa.net>. Acesso em 10 de outubro de 2016.

SOLARSYSTEMS-USA. Placa fotovoltaica marca RENESOLA, modelo JC295M-24-Ab. Disponível em: http://www.solarsystems-usa.net. Acesso em 10 de outubro de 2016.

SOLARTOWN. Placa fotovoltaica **marca REC, modelo REC245PE**. Disponível em: http://www.solartown.com. Acesso em 10 de outubro de 2016.

SOÓS, C.; FRASCARI, A.; FRASCARI, R. **Como funciona o KeppeMotor?**. Disponível em http://www.keppemotor.com/institucional/. Acesso em 26 de setembro de 2016.

SOÓS, C.; FRASCARI, A.; FRASCARI, R. **O que é o KeppeMotor?**. Disponível em http://www.keppemotor.com/institucional/. Acesso em 26 de setembro de 2016.

SUNERGYSOLAR. Placa fotovoltaica **marca SUNTECH**, **modelo STP-310-24/Vem**. Disponível em: http://www.sunergysolar.com.au. Acesso em 10 de outubro de 2016.

SUNHOME. Placa fotovoltaica **marca SUN HOME, modelo ST-M10.** Disponível em: http://www.sunhome.com.br. Acesso em 10 de outubro de 2016.

SUNHOME. Placa fotovoltaica **marca SUN HOME, modelo ST-M30.** Disponível em: http://www.sunhome.com.br>. Acesso em 10 de outubro de 2016.

TRIGO. T. **EQUIPAMENTO FOTOGRÁFICO: TEORIA E PRÁTICA.** 2º Edição. Editora: SENAC, 31/12/2002. 168 páginas.

WEBOSOLAR. Placa fotovoltaica **marca RENESOLA**, **modelo JC300M-24-Ab**. Disponível em: http://webosolar.com. Acesso em 10 de outubro de 2016.

ZONNEPANELEN-VOORDELIG. Placa fotovoltaica **marca YINGLI SOLAR, modelo YL275D-30b.** Disponível em: http://www.zonnepanelen-voordelig.nl. Acesso em 10 de outubro de 2016.

APÊNDICE

Apêndice A - Modelo de coleta de dados atmosféricos

Am	Amostra: Coordenadas geográficas			Orientação:			Elevação (m):	
				Data:				
	llumir	nância (Ix)	Pressão	Velocidade	do Ve		Intervalo	
Horário	Amostras	Média	atmosférica (hPa)	Amostras	Média	Orientação	Temperatura (°C)	de coleta (s)

Apêndice B - Coleta de dados atmosféricos amostra 1

Amos	tra: 1	Coordenadas geográficas		S25°06.509' W052°46.706'	Orientação:	Voltada para o Sul		Elevação (m): 859		
				Data: 16/	/07/2016					
Horário	Ilumin	ância (lx)	Irradiação	Pressão	Velocidade	do Ven	to (Km/h)	Temperatura	Intervalo de	
11014110	Amostras	Média	W/m²	atmosférica	Amostras	Média	Orientação	(°C)	coleta (s)	
	23,9				3,7		_		0	
07.15.00	20,7	22.00	0.02	750	2,6	2.5	90	0.7	60	
07:15:00	18,6	22,00	0,03	759	2,9	3,5	SO	9.7	60	
	24,8				4,8				60	
	1670				3,6				0	
	1580				3,2	1			60	
08:15:00	1780	1.725,00	2,53	759	3,8	3,875	SO	10.4	60	
	1870				4,9				60	
	31000				2,8				0	
	32000				2,4				60	
09:15:00	29000	30.750,00	45,02	759	2,5	2,6	SO	10.6	60	
	31000				2,7				60	
	23400				2,7				0	
10:15:00	28300	24.350,00	35,65	761	2,8	2,55	SO	10.9	60	
	18300				2,6				60	
	27400				2,4				60	
	13800				1,4				0	
11:15:00	19400	14.925,00	21,85	761	1,8	1,625	SO	12.8	60	
	12700				1,9				60	
	13800				1,4				60	
	40300	36.025,00				3,8				0
12:15:00	32900		52,75	761	3,5	4,3	so	12.9	60	
12.112.00	38900	20.022,00	02,70	, 01	5,2	.,.	50	12.7	60	
	32000				4,7				60	
	27300				3,5				0	
13:15:00	30800	31.375,00	45,94	761	1,8	2,875	SO	14,8	60	
13.13.00	36000	31.373,00	43,74	701	4,6	2,073	50	14,0	60	
	31400				1,6				60	
	20300				5,5				0	
14:15:00	15300	15.825,00	23,17	761	3,1	4,3	SO	14,8	60	
14.13.00	14300	13.823,00	23,17	701	5,8	4,3	30	14,0	60	
	13400				2,8				60	
	48600				3,5				0	
15:15:00	48300	41 600 00	60.01	761	8,1	E 175	90	140	60	
15:15:00	34700	41.600,00	60,91	761	6,2	5,475	SO	14,9	60	
	34800				4,1				60	
	34100				1,8				0	
161500	36200	24.925.00	50.00	761	6,5	5 175	90	12.5	60	
16:15:00	34400	34.825,00	50,99	761	7,6	5,175	SO	13,5	60	
	34600				4,8	1			60	
	10000				1,4				0	
4	13700	40.05-00	45.5		2,8	1			60	
17:15:00	10800	10.825,00	15,85	761	4,8	2,6	SO	12,8	60	
	8800				1,4	1			60	
	823				1,4				0	
				_	0	1			60	
17:59:00		803 754 742	1,14	761	0,8	0,925	SO	10,32	60	
	742				1,5	0,923 30		60		
	1-72		l	1	1,0	<u> </u>			00	

Apêndice C - Coleta de dados atmosféricos amostra 1

Data: 17/07/2016																											
Horário	Ilumin	ância (lx)	Irradiação	Pressão	Velocidad			Temperatura	Intervalo de																		
Hotano	Amostras	Média	W/m²	atmosférica	Amostras	Média	Orientação	(°C)	coleta (s)																		
	630				0,8				0																		
07:15:00	680	691,25	1,01	765	0,7	0,625	S	2,8	60																		
07.13.00	700	071,23	1,01	703	0,8	0,023	5	2,0	60																		
	755				0,2				60																		
	4410				0,3				0																		
08:15:00	4410	4.450,00	6,52	765	2,5	1,25	S	4,1	60																		
00.13.00	4480	4.450,00	0,32	703	1	1,23	3	4,1	60																		
	4500				1,2				60																		
	36400				0,5				0																		
09:15:00	36600	36.525,00	53,48	765	3,3	3,8	S	7,2	60																		
09.13.00	36500	30.323,00	33,40	703	7,8	3,6	3	1,2	60																		
	36600				3,6				60																		
	57900				0				0																		
10:15:00	58500	58.425,00	85,54	765	8,6	5,125	S	9,6	60																		
10.13.00	58600	36.423,00	05,54	703	6,2	3,123	3	2,0	60																		
	58700				5,7				60																		
	69500				4,1				0																		
11:15:00	69400	69.400,00	101,61	765	2,2	2,875	S	11,5	60																		
11.13.00	69500	09.400,00	101,01	703	1,8	2,873	3	11,5	60																		
	69200				3,4				60																		
	77600				1,2				0																		
12:15:00	77800	77.725,00	113,80	765	0,8	1,5	S	12,2	60																		
12.13.00	78200		113,60	703	2,4	1,3	3	12,2	60																		
	77300				1,6				60																		
	77300				0,6					0																	
13:15:00	77100	77 200 00	77 300 00	77 300 00	77 300 00	77 300 00	77 300 00	77 300 00	77 300 00	77 300 00	77 300 00	77 300 00	77 300 00	77 300 00	77 300 00	77 300 00	77 300 00	77.300.00	77.300,00	77.300,00	113,18	765	0,8	1,1	S	13,2	60
13.13.00	77500	77.300,00	113,16	703	1,8	1,1	S	15,2	60																		
	77300				1,2				60																		
	72400				3,2				0																		
14:15:00	72500	72 450 00	106.00	765	6,4	5 225	S	12.0	60																		
14:13:00	72300	72.450,00	106,08	703	7,1	5,225	3	13,9	60																		
	72600				4,2				60																		
	53200				1,8				0																		
15:15:00	53500	53.250,00	77,96	765	7,3	3,825	S	18,4	60																		
13.13.00	53000	33.230,00	77,90	703	3,5	3,623	S	10,4	60																		
	53300				2,7				60																		
	37500				3,2				0																		
16:15:00	37300	37.375,00	54,72	765	1,6	1,275	S	16,3	60																		
10.13.00	37600	37.373,00	34,72	703	0	1,273	S	10,3	60																		
	37100				0,3				60																		
	12300				2,2				0																		
17:15:00	12600	12.350,00	18,08	765	1,3	1,225	S	12,2	60																		
17.13.00	12400	12.330,00	10,00	703	0,8	1,223	S	12,2	60																		
	12100				0,6				60																		
	890				0]			0																		
17:50:00	889	880.25	1,30	765	0,1	0.15) 15 C	7,2	60																		
17:59:00	889,25	1,30	765	0	0,13),15 S	1,4	60																			
	886				0,5				60																		

Apêndice D - Coleta de dados atmosféricos amostra 1

Data: 18/07/2016											
Horário		ância (lx)	Irradiação	Pressão	Velocidado			Temperatura	Intervalo de		
	Amostras	Média	W/m²	atmosférica	Amostras	Média	Orientação	(°C)	coleta (s)		
	876				0				0		
07:14:00	920	954,75	1,40	764	0	0		2,7	60		
07.14.00	986	754,75	1,40	704	0			2,7	60		
	1037				0				60		
	3890				0				0		
08:14:00	3930	3.970,00	5,81	764	0	0		5,3	60		
00.14.00	3990	3.770,00	3,01	704	0			5,5	60		
	4070				0				60		
	36100				0,2				0		
09:14:00	35900	36.025,00	52,75	764	0	0,125	NO	15,3	60		
07.14.00	35900	30.023,00	32,73	704	0,3	0,123	110	15,5	60		
	36200				0				60		
	57100				1,4				0		
10:14:00	57300	57.250,00	83,82	764	0,8	0,925	NO	20,1	60		
10.11.00	57200	37.230,00	03,02	701	1,2	0,,,23	1,0	20,1	60		
	57400				0,3				60		
	72800				0,7				0		
11:14:00	72600	72.750,00	106,52	764	1,4	0,925	NO	21,5	60		
11.14.00	72900	72.730,00	100,32	704	0,6	0,723	110	21,3	60		
	72700				1				60		
	79600				1,2				0		
12:14:00	79900	79.650,00	116,62	764	2,4	1,65	NO	23,6	60		
12.11.00	79400		110,02	701	1,8	1,00	1,0	23,0	60		
	79700				1,2				60		
	78900				2,6				0		
13:14:00	79200	79.025,00	115,70	764	1,2	1,775	NO	23,4	60		
1011 1100	79100	75.1020,00	110,70	,	0,6	1,,,,	1,0	20, .	60		
	78900				2,7				60		
	37600				1,8				0		
14:14:00	37700	37.650,00	55,12	764	2,9	2,1	NO	16,8	60		
1 111 1100	37800	27.020,00	00,12	,	1,4		1,0	10,0	60		
	37500				2,3				60		
	19500				0,7				0		
15:14:00	19400	19.500,00	28,55	764	1,2	1,1	NO	15,2	60		
	19600		- ,		0,9			,	60		
	19500				1,6				60		
	11600				0,8	_			0		
16:14:00	11500	11.525,00	16,87	764	0,6	0,875	NO	14,9	60		
	11600	,			1,2	ļ [*]			60		
	11400				0,9				60		
	3330				0,6	-			0		
17:14:00	3320	3.327,50	4,87	764	0,8	0,8	NO	14,9	60		
	3340	,			0,6	ļ ´		,	60		
	3320				1,2				60		
	161,4				2,2	-			0		
17:59:00		155,1 150,2 153,63	0,22	764	2,8	2,35	NO	13,1	60		
					2,3	-			60		
	147,8				2,1		1		60		

Apêndice E - Coleta de dados atmosféricos amostra 1

	Data: 19/07/2016											
Horário	Ilumin	ância (lx)	Irradiação	Pressão	Velocidado	e do Ven	to (Km/h)	Temperatura	Intervalo de			
	Amostras	Média	W/m²	atmosférica	Amostras	Média	Orientação	(°C)	coleta (s)			
	498				1				0			
07:14:00	543	562,50	0,82	764	0,8	0,9	11,3	SE	60			
07.14.00	592	302,30	0,62	704	0,6	0,9	11,5	SE	60			
	617				1,2				60			
	4890				0,3				0			
08:14:00	4920	4.905,00	7,18	764	0,2	0,2	12,4	SE	60			
00.14.00	4900	4.903,00	7,10	704	0	0,2	12,4	SE	60			
	4910				0,3				60			
	40900				0,2				0			
09:14:00	42200	41.400,00	60,61	764	0,8	0,4	18,4	SE	60			
07.14.00	41900	71.700,00	00,01	704	0	0,4	10,4	SL	60			
	40600				0,6				60			
	61300				5,1	_			0			
10:14:00	62800	60.475,00	88,54	764	4,8	3,45	20,1	SE	60			
10.11.00	57000	00.175,00	00,51	701	2,7	3,15	20,1	SE	60			
	60800				1,2				60			
	70800				0,8				0			
11:14:00	73800	71.575,00	104,80	764	3,2	1,575	23	SE	60			
	69500		,		1,5			~-	60			
	72200				0,8				60			
	80400				2,8	1			0			
12:14:00	80200	80.450,00	117,79	764	2,7	2,45	24	SE	60			
	80200				1,8	1			60			
	81000				2,5				60			
	78600				4,9	_		NE	0			
13:14:00	78900	78.650,00	115,15	764	9,5	7,825	24,5		60			
	78500				7,8				60			
	78600				9,1				60			
	72000				7,1	1			0			
14:14:00	71800	72.200,00	105,71	764	1,8	3,4	24,3	NE	60			
	72600				2,6	1			60			
	72400				2,1 3,3				0			
,	56800					1			60			
15:14:00	57200 56900	56.975,00	83,42	764	1,2 2,7	1,95	23,7	NE	60			
	57000				0,6	1			60			
	15000				0,6				0			
	16000				1,2	1			60			
16:14:00	15800	15.600,00	22,84	764	0,8	1,05	21,6	NE	60			
	15600				1,6	1			60			
	15000				0,6				0			
	14700				1,3	-			60			
17:14:00	14800	14.775,00	21,63	764	0,7	0,85	17,8	NE	60			
	14600				0,7	1			60			
					0,8				0			
					1,2				60			
18:00:00	602		0,89	764	0,9	0,875	14,2	NE	60			
	605			704	0,6				60			
	005		I		0,0	<u> </u>	1		00			

Apêndice F - Coleta de dados atmosféricos amostra 1

Data: 20/07/2016											
Horário		ância (lx)	Irradiação	Pressão	Velocidad		, , ,	Temperatura	Intervalo de		
TIOTATIO	Amostras	Média	W/m²	atmosférica	Amostras	Média	Orientação	(°C)	coleta (s)		
	713				0,4				0		
07:14:00	756	801,00	1,17	763	0	0,6	Е	10,3	60		
07.14.00	832	001,00	1,17	703	0,8	0,0	L	10,3	60		
	903				1,2				60		
	4460				2,2				0		
08:14:00	4:00 4480	4.620,00	6,76	763	1,6	1,6	Е	13	60		
00.14.00	4490	4.020,00	0,70	703	2	1,0	L	13	60		
	5050				0,6				60		
	40600				0,6				0		
09:14:00	40800	41.100,00	60,18	763	0,8	0,45	Е	19,4	60		
09.14.00	41200	41.100,00	00,18	703	0	0,43	L	17,4	60		
	41800				0,4				60		
	59200				3,2				0		
10:14:00	59600	59.400,00	86,97	763	1,8	2,3	Е	22	60		
10.14.00	59000	39.400,00	80,97	703	2,2	2,3	E	22	60		
	59800				2				60		
	72600				0,8				0		
11.14.00	72800	72 700 00	106.44	762	1,7	1.05	Б	22.7	60		
11:14:00	72500	72.700,00	106,44	763	0,9	1,05	Е	23,7	60		
	72900				0,8				60		
	75000				1,7				0		
12.14.00	75200	75.125,00	100.00	762	0,6	1.075	Б	25	60		
12:14:00	74600		75.125,00	109,99	763	0,8	1,075	Е	25	60	
	75700				1,2	1			60		
	79800				0,6				0		
12 1 4 00	79900	70,000,00	116.00	762	1,2	1	-	27.4	60		
13:14:00	80000	79.900,00	116,98	763	1,8	1,1	Е	27,4	60		
	79900				0,8	1			60		
	68500				2,3				0		
141400	69200	co 7 00 00	100.50	7.60	1,8	1	2.7	26.6	60		
14:14:00	68200	68.700,00	100,59	763	2	1,675	N	26,6	60		
	68900				0,6				60		
	56700				0				0		
151400	56500	56.650.00	02.04	7.60	0,3	0.275	2.7	25.1	60		
15:14:00	56800	56.650,00	82,94	763	0	0,275	N	25,1	60		
	56600				0,8				60		
	35600				0,3				0		
161400	35000	25 450 00	51.00	762	0,6	0.505	N	22.6	60		
16:14:00	35900	35.450,00	51,90	763	0,4	0,525	N	23,6	60		
	35300				0,8				60		
	12400				0,6				0		
171400	12500	10 100 00	10.15	7.60	0,8	1		20.2	60		
17:14:00	12400	12.400,00	18,16	763	0,6	0,8	N	20,2	60		
	12300				1,2	1			60		
	687				0,8				0		
10.00.00	585	550.75	0.01	7.60	0,6	0.55		10.2	60		
18:00:00	502		0,81	763	0,8	0,65	0,65 N	18,2	60		
			,-		0,4	1			60		

Apêndice G - Coleta de dados atmosféricos amostra 2

Amos	tra: 2	Coordenada	s geográficas	S25°06.503' W052°46.698'	Orientação:	Voltada para o Norte		Elevaçã	o (m): 859
				Data: 16/0'	7/2016		TOIL		
	Ilumin	ância (lx)	Irradiação	Pressão	Velocidad	e do Ver	nto (Km/h)	Temperatura	Intervalo de
Horário	Amostras	Média	W/m²	atmosférica (hPa)	Amostras	Média		(°C)	coleta (s)
	42,8	1120000	,,,,,,,,,,,,,,,,,,,,,,,,,,,,,,,,,,,,,,,	uniosierieu (iii u)	1,5	1120010	Ozzanagao	(5)	0
	32,7				1,9				60
07:20:00	36,2	36,13	0,05	759	1,4	1,6	SO	9.7	60
	32,8				1,6				60
	3280				1,4				0
	2310				1,6				60
08:20:00	2850	2.705,00	3,96	759	1,4	1,525	SO	10.4	60
	2380				1,7			 	60
	36000				1,9				0
	35000				1,6			-	60
09:20:00	38000	36.000,00	52,71	759	1,5	1,7	SO	10.6	60
	35000				1,8			-	60
	12700				1,5				0
	13400				1,8			-	60
10:20:00	12100	12.500,00	18,30	761	1,8	1,7	SO	10.9	60
	11800				1,9	-		-	60
	26800								0
					2,5	1		-	60
11:20:00	26900 26700	26.725,00	39,13	761	1,8 1,5	1,8	SO	12.8	60
								-	
	26500				1,4				60
	21400				1,8			-	0
12:20:00	25700	24.675,00	36,13	761	4,2	2,6	SO	12.9	60
	19800				2,6			-	60
	31800				1,8				60
	81300				4,2			-	0
13:20:00	81400	75.150,00	110,03	10,03 761 $\frac{5,2}{4,7}$ 4,225 SO 14,8	4,225 SO	4,225 SO	4,225 SO	14,8	60
	81100							-	60
	56800				2,8				60
	15100				1,4			-	0
14:20:00	15500	15.250,00	22,33	761	1,6	1,475	SO	14,8	60
	15300				1,4			-	60
	15100				1,5				60
	34500				2,4			-	0
15:20:00	34900	34.750,00	50,88	761	4,7	6,425	SO	14,9	60
	34700				13,7			-	60
	34900				4,9				60
	34800				3,5			-	0
16:20:00	35200	34.925,00	51,13	761	6,8	3,575	SO	13,5	60
	34900				1,6			-	60
	34800				2,4				60
	3300				1,4				0
17:20:00	3200	3.275,00	4,80	761	1,5	2,05	SO	12,8	60
	3200				2,6				60
	3400			-	2,7				60
	507				0,5	1 1		0	
18:04:00	505	480,50	0,70	761	0	0,85	SO	10,32	60
	470		0,70 /61		2,2	1 0,85 SO	<u> </u>	60	
	440				0,7	<u> </u>			60

Apêndice H - Coleta de dados atmosféricos amostra 2

				Data: 17/07	7/2016				
	Ilumin	ância (lx)	Irradiação	Pressão	Velocidad	e do Ver	nto (Km/h)	Temperatura	Intervalo de
Horário	Amostras	Média	W/m²	atmosférica (hPa)	Amostras	Média		(°C)	coleta (s)
	1180				0		,	Ì	0
07.20.00	1230	1 222 75	1.04	7.55	3,8	1	a	2.0	60
07:20:00	1418	1.323,75	1,94	765	0	1,4	S	2,8	60
	1467				1,8				60
	25200				1,6				0
00.20.00	25800	25 475 00	27.20	7.55	2,2		a	4.	60
08:20:00	25000	25.475,00	37,30	765	2,4	2	S	4,1	60
	25900				1,8				60
	56900				0,8				0
00.20.00	56700	56.025.00	02.20	7.05	5,6	2.2	C C	7.2	60
09:20:00	56800	56.825,00	83,20	765	0,8	3,2	S	7,2	60
	56900				5,6				60
	66700				0				0
10.20.00	68000	67.650.00	00.05	7.05	2,2	2.0	C C	0.6	60
10:20:00	67900	67.650,00	99,05	765	5,8	2,8	S	9,6	60
	68000				3,2				60
	85200				0,8				0
11.20.00	84900	05 075 00	124.56	7.05	1,4	1.65	C C	11.5	60
11:20:00	85000	85.075,00	124,56	765	2,8	1,65	S	11,5	60
	85200				1,6				60
	91200				0,6				0
12 20 00	92000	91.450,00	122.00	7.05	1,2	1 1	C C	12.2	60
12:20:00	91500		133,89	765	0,2	1,1	S	12,2	60
	91100				2,4				60
	82600				1,6				0
1220.00	82300	92 275 00	120.61	765	0,9	1.075	C	12.2	60
13:20:00	82500	82.375,00	120,61	765	1	1,075	S	13,2	60
	82100				0,8				60
	72000				4,3				0
14:20:00	72100	72 225 00	105.75	765	3,8	2 275	C	12.0	60
14:20:00	72500	72.225,00	105,75	/03	2,6	3,375	S	13,9	60
	72300				2,8				60
	58300				2,2				0
15:20:00	58600	58.375,00	85,47	765	3,7	2,475	S	18,4	60
13.20.00	58500	36.373,00	65,47	703	2,2	2,473	S	10,4	60
	58100				1,8				60
	33200				0,4				0
16:20:00	33500	33.375,00	48,87	765	1,6	0,575	S	16,3	60
10.20.00	33200	33.373,00	40,07	703	0	0,373	S	10,5	60
	33600				0,3				60
	7990				0,2				0
17:20:00	8020	8.005,00	11,72	765	0,5	0,275	S	12,2	60
17.20.00	7980	0.003,00	11,/4	103	0,1	0,273	, s	12,2	60
	8030				0,3				60
	750				0				0
18:04:00	752	750.25	1 10	765	0,1	0.025	0.025	7,2	60
18:04:00	751 /50,25	1,10	765	0	0,025 S	1,2	60		
	748				0				60

Apêndice I - Coleta de dados atmosféricos amostra 2

				Data: 18/07	7/2016				
Horário	Ilumin	ância (lx)	Irradiação	Pressão	Velocidad	le do Ver	nto (Km/h)	Temperatura	Intervalo de
Horano	Amostras	Média	W/m²	atmosférica (hPa)	Amostras	Média	Orientação	(°C)	coleta (s)
	1381				0				0
07:19:00	1453	1 402 25	2.10	764	0	0		0	60
07:19:00	1527	1.492,25	2,18	/64	0	0		0	60
	1608				0				60
	24000				0				0
00.10.00	24300	24 225 00	25.47	764	0	1 0		5.2	60
08:19:00	24100	24.225,00	35,47	764	0	0		5,3	60
	24500				0				60
	50800				0				0
00.10.00	50200	50 575 00	74.05	764	0,1	0.05	NO	15.2	60
09:19:00	50500	50.575,00	74,05	764	0,1	0,05	NO	15,3	60
	50800				0				60
	66700				0,8				0
10.10.00	66500	66.725.00	07.60	764	1,2	0.075	NO	20.1	60
10:19:00	66800	66.725,00	97,69	764	0,6	0,875	NO	20,1	60
	66900				0,9				60
	87600				2,8				0
11.10.00	87900	07 (25 00	120.20	764	2,4] , ,	NO	21.5	60
11:19:00	87700	87.625,00	128,29	764	1,8	2,3	NO	21,5	60
	87300				2,2				60
	93800				2,3			0	
12.10.00	93600	93.800,00	127.24	764	1,4	2,1	NO	22.6	60
12:19:00	93900		137,34	704	1,8	2,1	NO	23,6	60
	93900				2,9				60
	85600				0,9				0
12.10.00	85900	05 600 00	105.22	764	3,5	1	NO	22.4	60
13:19:00	85400	85.600,00	125,33	764	2,4	2,4	NO	23,4	60
	85500				2,8				60
	38200				3,2				0
14.10.00	38300	20 200 00	55.02	764	1,8	2 425	NO	16.0	60
14:19:00	38100	38.200,00	55,93	764	2,8	2,425	NO	16,8	60
	38200				1,9				60
	25100				2,3				0
15:19:00	25200	25 150 00	26.92	764	2,8	2	NO	15.2	60
13:19:00	25000	25.150,00	36,82	/04	1,2	7	NO	15,2	60
	25300				1,7				60
	10900				0,8				0
16,10,00	11000	11 025 00	16.14	764	0,6	0.025	NO	140	60
16:19:00	11000	11.025,00	16,14	764	1,1	0,825	NO	14,9	60
	11200				0,8				60
	3130	_			0,8				0
17.10.00	3120	2 127 50	150	764	0,6	0.575	NO	14.0	60
17:19:00	3140	3.127,50	4,58	/04	0,4	0,575	INU	14,9	60
	3120				0,5				60
	129,7				1,2				0
18:04:00	122,8	117.60	0.17	764	1,1	1.2	10 20	12.1	60
16:04:00	115,7	11/60	0,17	764	1	1,2 NO	13,1	60	
	102,2				1,5				60

Apêndice J - Coleta de dados atmosféricos amostra 2

Data: 19/07/2016											
Horário	Ilumin	ância (lx)	Irradiação	Pressão	Velocidad	e do Ver	nto (Km/h)	Temperatura	Intervalo de		
Horano	Amostras	Média	W/m²	atmosférica (hPa)	Amostras	Média	Orientação	(°C)	coleta (s)		
	662				0,8				0		
07:19:00	725	756,50	1,11	764	2,2	1,325	SE	11,3	60		
07.19.00	793	730,30	1,11	704	1,4	1,323	SE	11,5	60		
	846				0,9				60		
	17110				0,6				0		
08:19:00	17150	17.125,00	25,07	764	0,7	0,525	SE	12,4	60		
06.19.00	17060	17.125,00	25,07	704	0,3	0,323	SE	12,4	60		
	17180				0,5				60		
	54600				0				0		
09:19:00	55500	54.000,00	79,06	764	0,3	0,275	SE	18,4	60		
09.19.00	52000	34.000,00	79,00	704	0	0,273	SE	10,4	60		
	53900				0,8				60		
	70300				1,2			_	0		
10:19:00	69800	70.050,00	102,56	764	2,7	2	SE	20,1	60		
10.19.00	69900	70.030,00	102,30	704	1,8		SE	20,1	60		
	70200				2,3				60		
	91000				0,6			_	0		
11:19:00	91100	91.125,00	133,42	764	1,5	0,7	SE	23	60		
11.17.00	92200	91.123,00	133,42	704	0	0,7	SE	23	60		
	90200				0,7				60		
	89900				2,1			_	0		
12:19:00	90200	89.825,00	131,52	764	2,6	2,025	SE	24	60		
12.17.00	89200		131,32	704	1,8	2,023	SE	24	60		
	90000				1,6				60		
,	85200				2,6			_	0		
13:19:00	85600	85.275,00	124,85	764	2,8	2,575	NE NE	24,5	60		
13.17.00	85000	03.273,00	124,03	704	1,5	2,373	INL	24,3	60		
	85300				3,4				60		
	73000				3,2			=	0		
14:19:00	72900	73.225,00	107,21	764	5,1	3,675	NE	24,3	60		
14.17.00	73800	73.223,00	107,21	704	2,7	3,073	INL	24,3	60		
	73200				3,7				60		
	57000				8,3			_	0		
15:19:00	57200	56.925,00	83,35	764	1,8	2,775	NE	23,7	60		
13.17.00	56600	30.723,00	03,33	701	0,6	2,773	112	23,7	60		
	56900				0,4				60		
,	14700				1,2			_	0		
16:19:00	14200	14.575,00	21,34	764	0,8	1,475	NE	21,6	60		
10117100	14600	1 110 70,00	21,5	, , ,	2,1	1,.,0	1,2	21,0	60		
	14800				1,8				60		
	10800				0,3				0		
17:19:00	10900	10.850,00	15,89	764	0,8	1	NE	17,8	60		
27.127.00	10700		10,07	, , , ,	1,3	1		,.	60		
	11000				1,6				60		
	463				0,2			<u> </u>	0		
18:05:00	440	419,00	0,61	764	0,8	0,9	NE	14,2	60		
18:05:00	401 419,00	0,61		1,2		0,9 NE	,-	60			
	372				1,4				60		

Apêndice K - Coleta de dados atmosféricos amostra 2

				Data: 20/07	7/2016				
TT	Ilumin	ância (lx)	Irradiação	Pressão		le do Ver	nto (Km/h)	Temperatura	Intervalo de
Horário	Amostras	Média	W/m²	atmosférica (hPa)	Amostras		Orientação	(°C)	coleta (s)
	1283			,	0,4		,	, ,	0
07.10.00	1354	1 202 75	2.02	7.62	0,8	0.55		10.2	60
07:19:00	1409	1.383,75	2,03	763	0,4	0,55	Е	10,3	60
	1489				0,6			•	60
	21800				0,6				0
00.40.00	22300	22.025.00	22.71	7.0	0,8		_	10	60
08:19:00	23500	23.025,00	33,71	763	1,2	0,85	Е	13	60
	24500				0,8			•	60
	48700				0				0
00.10.00	49500	50 625 00	74.10	7.62	0,3	0.405		10.4	60
09:19:00	51800	50.625,00	74,12	763	0,8	0,425	Е	19,4	60
	52500				0,6				60
	72400				1,8				0
	73200				2,6	1	_		60
10:19:00	72200	72.700,00	106,44	763	1,3	1,95	Е	22	60
	73000				2,1				60
	87400				0				0
	87300				0,3		_		60
11:19:00	87100	87.275,00	127,78	763	0,6	0,225	Е	23,7	60
	87300				0				60
	88500				1,8				0
	88700	88.600,00			1,2	1,225	_		60
12:19:00	88300		129,72	763	0,6		E	25	60
	88900				1,3				60
	88700				1,2				0
	88600				1,6	1	_		60
13:19:00	88500	88.625,00	129,76	763	0,8	1,425	Е	27,4	60
	88700				2,1				60
	76800				3,2				0
	76900				2,8	1			60
14:19:00	76200	76.650,00	112,23	763	3	2,475	N	26,6	60
	76700				0,9				60
	55500				0,6				0
	55600				0,9	1			60
15:19:00	55300	55.525,00	81,30	763	1,2	0,775	N	25,1	60
	55700				0,4	1			60
	33700				2,6				0
	33800				1,8	Ī			60
16:19:00	33500	33.650,00	49,27	763	0,6	1,55	N	23,6	60
	33600				1,2	1			60
	7740				0,6				0
	7030				0,2	1			60
17:19:00	6470	6.640,00	9,72	763	0,6	0,55	N	20,2	60
	5320				0,8	1			60
	498				0,6				0
	407				1,2	1		40.5	60
18:05:00	338	383,00	0,56	763	1	0,9	N	18,2	60
	289				0,8	1			60

Apêndice L - Consumo de energia elétrica 1

160	Consumo		respectivas tas	Valores atualizados 08/2016		
Mês	(kWh)	Valor pago (R\$)	Valor por kWh	Valor por kWh	Valor pago (R\$)	
Janeiro/2011	4791	R\$ 709,04	R\$ 0,147994	R\$ 0,348632	R\$ 1.670,30	
Fevereiro/2011	1499	R\$ 216,46	R\$ 0,144403	R\$ 0,348632	R\$ 522,60	
Março/2011	3492	R\$ 539,07	R\$ 0,154373	R\$ 0,348632	R\$ 1.217,42	
Abril/2011	4787	R\$ 676,35	R\$ 0,141289	R\$ 0,348632	R\$ 1.668,90	
Maio/2011	3646	R\$ 580,16	R\$ 0,159122	R\$ 0,348632	R\$ 1.271,11	
Junho/2011	1288	R\$ 190,15	R\$ 0,147632	R\$ 0,348632	R\$ 449,04	
Julho/2011	2903	R\$ 471,77	R\$ 0,162511	R\$ 0,348632	R\$ 1.012,08	
Agosto/2011	3947	R\$ 622,79	R\$ 0,157788	R\$ 0,348632	R\$ 1.376,05	
Setembro/2011	4719	R\$ 794,83	R\$ 0,168432	R\$ 0,348632	R\$ 1.645,19	
Outubro/2011	2561	R\$ 423,70	R\$ 0,165443	R\$ 0,348632	R\$ 892,85	
Novembro/2011	4234	R\$ 706,55	R\$ 0,166875	R\$ 0,348632	R\$ 1.476,11	
Dezembro/2011	5158	R\$ 862,65	R\$ 0,167245	R\$ 0,348632	R\$ 1.798,24	
Janeiro/2012	3053	R\$ 494,00	R\$ 0,161808	R\$ 0,348632	R\$ 1.064,37	
Fevereiro/2012	5810	R\$ 960,73	R\$ 0,165358	R\$ 0,348632	R\$ 2.025,55	
Março/2012	3028	R\$ 527,20	R\$ 0,174108	R\$ 0,348632	R\$ 1.055,66	
Abril/2012	1361	R\$ 192,99	R\$ 0,141800	R\$ 0,348632	R\$ 474,49	
Maio/2012	3061	R\$ 511,48	R\$ 0,167096	R\$ 0,348632	R\$ 1.067,16	
Junho/2012	3426	R\$ 564,49	R\$ 0,164766	R\$ 0,348632	R\$ 1.194,41	
Julho/2012	2888	R\$ 481,46	R\$ 0,166711	R\$ 0,348632	R\$ 1.006,85	
Agosto/2012	3386	R\$ 541,12	R\$ 0,159811	R\$ 0,348632	R\$ 1.180,47	
Setembro/2012	2288	R\$ 392,45	R\$ 0,171525	R\$ 0,348632	R\$ 797,67	
Outubro/2012	4096	R\$ 656,96	R\$ 0,160391	R\$ 0,348632	R\$ 1.428,00	
Novembro/2012	3991	R\$ 697,52	R\$ 0,174773	R\$ 0,348632	R\$ 1.391,39	
Dezembro/2012	3510	R\$ 580,10	R\$ 0,165271	R\$ 0,348632	R\$ 1.223,70	

Apêndice M - Consumo de energia elétrica 2

Valor pago		C.		respectivas	Valores at	
(R\$) kWh kWh (R\$) Janeiro/2013 6176 R\$ 1.035,73 R\$ 0,167702 R\$ 0,348632 R\$ 2.153,15 Fevereiro/2013 4545 R\$ 640,79 R\$ 0,140988 R\$ 0,348632 R\$ 1.584,53 Março/2013 3478 R\$ 405,61 R\$ 0,116622 R\$ 0,348632 R\$ 1.212,54 Abril/2013 3517 R\$ 473,60 R\$ 0,134660 R\$ 0,348632 R\$ 1.226,14 Maio/2013 5364 R\$ 739,24 R\$ 0,137815 R\$ 0,348632 R\$ 1.870,06 Junho/2013 4404 R\$ 636,67 R\$ 0,144566 R\$ 0,348632 R\$ 1.535,38 Julho/2013 2596 R\$ 369,35 R\$ 0,142277 R\$ 0,348632 R\$ 1.694,70 Setembro/2013 4691 R\$ 696,23 R\$ 0,154647 R\$ 0,348632 R\$ 1.635,43 Outubro/2013 4268 R\$ 642,60 R\$ 0,150562 R\$ 0,348632 R\$ 1.487,96 Novembro/2013 4441 R\$ 671,12 R\$ 0,155085 R\$ 0,348632 R\$ 1.548,27 Janeiro/2014 4485 R\$ 706,51	Mês	Consumo				
Janeiro/2013 6176 R\$ 1.035,73 R\$ 0,167702 R\$ 0,348632 R\$ 2.153,15 Fevereiro/2013 4545 R\$ 640,79 R\$ 0,140988 R\$ 0,348632 R\$ 1.584,53 Março/2013 3478 R\$ 405,61 R\$ 0,116622 R\$ 0,348632 R\$ 1.212,54 Abril/2013 3517 R\$ 473,60 R\$ 0,134660 R\$ 0,348632 R\$ 1.226,14 Maio/2013 5364 R\$ 739,24 R\$ 0,137815 R\$ 0,348632 R\$ 1.870,06 Junho/2013 4404 R\$ 636,67 R\$ 0,144566 R\$ 0,348632 R\$ 1.535,38 Julho/2013 2596 R\$ 369,35 R\$ 0,142277 R\$ 0,348632 R\$ 1.694,70 Setembro/2013 4691 R\$ 696,23 R\$ 0,148418 R\$ 0,348632 R\$ 1.694,70 Setembro/2013 4268 R\$ 642,60 R\$ 0,150562 R\$ 0,348632 R\$ 1.487,96 Novembro/2013 3162 R\$ 490,38 R\$ 0,150562 R\$ 0,348632 R\$ 1.548,27 Janeiro/2014 4485 R\$ 671,12 R\$ 0,151119 R\$ 0,348632 R\$ 1.548,27		(KWh)		_	_	
Fevereiro/2013 4545 R\$ 640,79 R\$ 0,140988 R\$ 0,348632 R\$ 1.584,53 Março/2013 3478 R\$ 405,61 R\$ 0,116622 R\$ 0,348632 R\$ 1.212,54 Abril/2013 3517 R\$ 473,60 R\$ 0,134660 R\$ 0,348632 R\$ 1.226,14 Maio/2013 5364 R\$ 739,24 R\$ 0,137815 R\$ 0,348632 R\$ 1.870,06 Junho/2013 4404 R\$ 636,67 R\$ 0,144566 R\$ 0,348632 R\$ 1.535,38 Julho/2013 2596 R\$ 369,35 R\$ 0,142277 R\$ 0,348632 R\$ 1.694,70 Setembro/2013 4691 R\$ 696,23 R\$ 0,154647 R\$ 0,348632 R\$ 1.694,70 Setembro/2013 4268 R\$ 696,23 R\$ 0,150562 R\$ 0,348632 R\$ 1.694,70 Novembro/2013 3162 R\$ 490,38 R\$ 0,150562 R\$ 0,348632 R\$ 1.102,37 Dezembro/2013 4441 R\$ 671,12 R\$ 0,151119 R\$ 0,348632 R\$ 1.548,27 Janeiro/2014 4485 R\$ 706,51 R\$ 0,157527 R\$ 0,348632 R\$ 1.980,23	7 . (2012		` ',			, ,
Março/2013 3478 R\$ 405,61 R\$ 0,116622 R\$ 0,348632 R\$ 1.212,54 Abril/2013 3517 R\$ 473,60 R\$ 0,134660 R\$ 0,348632 R\$ 1.226,14 Maio/2013 5364 R\$ 739,24 R\$ 0,137815 R\$ 0,348632 R\$ 1.870,06 Junho/2013 4404 R\$ 636,67 R\$ 0,144566 R\$ 0,348632 R\$ 1.535,38 Julho/2013 2596 R\$ 369,35 R\$ 0,142277 R\$ 0,348632 R\$ 905,05 Agosto/2013 4861 R\$ 751,74 R\$ 0,154647 R\$ 0,348632 R\$ 1.694,70 Setembro/2013 4691 R\$ 696,23 R\$ 0,148418 R\$ 0,348632 R\$ 1.694,70 Setembro/2013 4268 R\$ 642,60 R\$ 0,150562 R\$ 0,348632 R\$ 1.487,96 Novembro/2013 3162 R\$ 490,38 R\$ 0,155085 R\$ 0,348632 R\$ 1.102,37 Dezembro/2014 4485 R\$ 706,51 R\$ 0,157527 R\$ 0,348632 R\$ 1.548,27 Janeiro/2014 5680 R\$ 867,21 R\$ 0,152678 R\$ 0,348632 R\$ 2.392,31 <t< td=""><td></td><td></td><td></td><td></td><td></td><td></td></t<>						
Abril/2013 3517 R\$ 473,60 R\$ 0,134660 R\$ 0,348632 R\$ 1.226,14 Maio/2013 5364 R\$ 739,24 R\$ 0,137815 R\$ 0,348632 R\$ 1.870,06 Junho/2013 4404 R\$ 636,67 R\$ 0,144566 R\$ 0,348632 R\$ 1.535,38 Julho/2013 2596 R\$ 369,35 R\$ 0,142277 R\$ 0,348632 R\$ 905,05 Agosto/2013 4861 R\$ 751,74 R\$ 0,154647 R\$ 0,348632 R\$ 1.694,70 Setembro/2013 4691 R\$ 696,23 R\$ 0,148418 R\$ 0,348632 R\$ 1.694,70 Setembro/2013 4268 R\$ 642,60 R\$ 0,150562 R\$ 0,348632 R\$ 1.487,96 Novembro/2013 3162 R\$ 490,38 R\$ 0,155085 R\$ 0,348632 R\$ 1.102,37 Dezembro/2013 4441 R\$ 671,12 R\$ 0,1551119 R\$ 0,348632 R\$ 1.548,27 Janeiro/2014 4485 R\$ 706,51 R\$ 0,157527 R\$ 0,348632 R\$ 1.980,23 Março/2014 6862 R\$ 1.050,07 R\$ 0,152678 R\$ 0,348632 R\$ 2.392,31					·	
Maio/2013 5364 R\$ 739,24 R\$ 0,137815 R\$ 0,348632 R\$ 1.870,06 Junho/2013 4404 R\$ 636,67 R\$ 0,144566 R\$ 0,348632 R\$ 1.535,38 Julho/2013 2596 R\$ 369,35 R\$ 0,142277 R\$ 0,348632 R\$ 905,05 Agosto/2013 4861 R\$ 751,74 R\$ 0,154647 R\$ 0,348632 R\$ 1.694,70 Setembro/2013 4691 R\$ 696,23 R\$ 0,148418 R\$ 0,348632 R\$ 1.635,43 Outubro/2013 4268 R\$ 642,60 R\$ 0,150562 R\$ 0,348632 R\$ 1.487,96 Novembro/2013 3162 R\$ 490,38 R\$ 0,155085 R\$ 0,348632 R\$ 1.102,37 Dezembro/2013 4441 R\$ 671,12 R\$ 0,151119 R\$ 0,348632 R\$ 1.548,27 Janeiro/2014 4485 R\$ 706,51 R\$ 0,157527 R\$ 0,348632 R\$ 1.980,23 Março/2014 5680 R\$ 867,21 R\$ 0,152678 R\$ 0,348632 R\$ 1.980,23 Mario/2014 4527 R\$ 690,86 R\$ 0,152609 R\$ 0,348632 R\$ 1.578,26 <td< td=""><td></td><td></td><td></td><td></td><td></td><td></td></td<>						
Junho/2013 4404 R\$ 636,67 R\$ 0,144566 R\$ 0,348632 R\$ 1.535,38 Julho/2013 2596 R\$ 369,35 R\$ 0,142277 R\$ 0,348632 R\$ 905,05 Agosto/2013 4861 R\$ 751,74 R\$ 0,154647 R\$ 0,348632 R\$ 1.694,70 Setembro/2013 4691 R\$ 696,23 R\$ 0,148418 R\$ 0,348632 R\$ 1.635,43 Outubro/2013 4268 R\$ 642,60 R\$ 0,150562 R\$ 0,348632 R\$ 1.487,96 Novembro/2013 3162 R\$ 490,38 R\$ 0,155085 R\$ 0,348632 R\$ 1.102,37 Dezembro/2013 4441 R\$ 671,12 R\$ 0,155085 R\$ 0,348632 R\$ 1.548,27 Janeiro/2014 4485 R\$ 706,51 R\$ 0,157527 R\$ 0,348632 R\$ 1.563,61 Fevereiro/2014 5680 R\$ 867,21 R\$ 0,152678 R\$ 0,348632 R\$ 1.980,23 Março/2014 4527 R\$ 690,86 R\$ 0,153027 R\$ 0,348632 R\$ 2.392,31 Abril/2014 4527 R\$ 690,86 R\$ 0,152609 R\$ 0,348632 R\$ 639,39			· ·	·	·	R\$ 1.226,14
Julho/2013 2596 R\$ 369,35 R\$ 0,142277 R\$ 0,348632 R\$ 905,05 Agosto/2013 4861 R\$ 751,74 R\$ 0,154647 R\$ 0,348632 R\$ 1.694,70 Setembro/2013 4691 R\$ 696,23 R\$ 0,148418 R\$ 0,348632 R\$ 1.635,43 Outubro/2013 4268 R\$ 642,60 R\$ 0,150562 R\$ 0,348632 R\$ 1.487,96 Novembro/2013 3162 R\$ 490,38 R\$ 0,155085 R\$ 0,348632 R\$ 1.102,37 Dezembro/2013 4441 R\$ 671,12 R\$ 0,151119 R\$ 0,348632 R\$ 1.548,27 Janeiro/2014 4485 R\$ 706,51 R\$ 0,157527 R\$ 0,348632 R\$ 1.563,61 Fevereiro/2014 5680 R\$ 867,21 R\$ 0,152678 R\$ 0,348632 R\$ 1.980,23 Março/2014 6862 R\$ 1.050,07 R\$ 0,153027 R\$ 0,348632 R\$ 2.392,31 Abril/2014 4527 R\$ 690,86 R\$ 0,152609 R\$ 0,348632 R\$ 1.578,26 Maio/2014 2470 R\$ 365,36 R\$ 0,147919 R\$ 0,348632 R\$ 639,39	Maio/2013	5364	R\$ 739,24	R\$ 0,137815	R\$ 0,348632	R\$ 1.870,06
Agosto/2013 4861 R\$ 751,74 R\$ 0,154647 R\$ 0,348632 R\$ 1.694,70 Setembro/2013 4691 R\$ 696,23 R\$ 0,148418 R\$ 0,348632 R\$ 1.635,43 Outubro/2013 4268 R\$ 642,60 R\$ 0,150562 R\$ 0,348632 R\$ 1.487,96 Novembro/2013 3162 R\$ 490,38 R\$ 0,155085 R\$ 0,348632 R\$ 1.102,37 Dezembro/2013 4441 R\$ 671,12 R\$ 0,151119 R\$ 0,348632 R\$ 1.548,27 Janeiro/2014 4485 R\$ 706,51 R\$ 0,157527 R\$ 0,348632 R\$ 1.563,61 Fevereiro/2014 5680 R\$ 867,21 R\$ 0,152678 R\$ 0,348632 R\$ 1.980,23 Março/2014 6862 R\$ 1.050,07 R\$ 0,153027 R\$ 0,348632 R\$ 2.392,31 Abril/2014 4527 R\$ 690,86 R\$ 0,152609 R\$ 0,348632 R\$ 1.578,26 Maio/2014 2470 R\$ 365,36 R\$ 0,147919 R\$ 0,348632 R\$ 639,39 Julho/2014 1834 R\$ 247,52 R\$ 0,104488 R\$ 0,348632 R\$ 432,65	Junho/2013	4404	R\$ 636,67	R\$ 0,144566	R\$ 0,348632	R\$ 1.535,38
Setembro/2013 4691 R\$ 696,23 R\$ 0,148418 R\$ 0,348632 R\$ 1.635,43 Outubro/2013 4268 R\$ 642,60 R\$ 0,150562 R\$ 0,348632 R\$ 1.487,96 Novembro/2013 3162 R\$ 490,38 R\$ 0,155085 R\$ 0,348632 R\$ 1.102,37 Dezembro/2013 4441 R\$ 671,12 R\$ 0,151119 R\$ 0,348632 R\$ 1.548,27 Janeiro/2014 4485 R\$ 706,51 R\$ 0,157527 R\$ 0,348632 R\$ 1.563,61 Fevereiro/2014 5680 R\$ 867,21 R\$ 0,152678 R\$ 0,348632 R\$ 1.980,23 Março/2014 6862 R\$ 1.050,07 R\$ 0,153027 R\$ 0,348632 R\$ 2.392,31 Abril/2014 4527 R\$ 690,86 R\$ 0,152609 R\$ 0,348632 R\$ 1.578,26 Maio/2014 2470 R\$ 365,36 R\$ 0,147919 R\$ 0,348632 R\$ 639,39 Julho/2014 1241 R\$ 129,67 R\$ 0,104488 R\$ 0,348632 R\$ 432,65 Agosto/2014 5593 R\$ 1.129,23 R\$ 0,201901 R\$ 0,348632 R\$ 1.949,90	Julho/2013	2596	R\$ 369,35	R\$ 0,142277	R\$ 0,348632	R\$ 905,05
Outubro/2013 4268 R\$ 642,60 R\$ 0,150562 R\$ 0,348632 R\$ 1.487,96 Novembro/2013 3162 R\$ 490,38 R\$ 0,155085 R\$ 0,348632 R\$ 1.102,37 Dezembro/2013 4441 R\$ 671,12 R\$ 0,151119 R\$ 0,348632 R\$ 1.548,27 Janeiro/2014 4485 R\$ 706,51 R\$ 0,157527 R\$ 0,348632 R\$ 1.563,61 Fevereiro/2014 5680 R\$ 867,21 R\$ 0,152678 R\$ 0,348632 R\$ 1.980,23 Março/2014 6862 R\$ 1.050,07 R\$ 0,153027 R\$ 0,348632 R\$ 2.392,31 Abril/2014 4527 R\$ 690,86 R\$ 0,152609 R\$ 0,348632 R\$ 1.578,26 Maio/2014 2470 R\$ 365,36 R\$ 0,147919 R\$ 0,348632 R\$ 639,39 Julho/2014 1241 R\$ 129,67 R\$ 0,104488 R\$ 0,348632 R\$ 432,65 Agosto/2014 5593 R\$ 1.129,23 R\$ 0,201901 R\$ 0,348632 R\$ 1.949,90	Agosto/2013	4861	R\$ 751,74	R\$ 0,154647	R\$ 0,348632	R\$ 1.694,70
Novembro/2013 3162 R\$ 490,38 R\$ 0,155085 R\$ 0,348632 R\$ 1.102,37 Dezembro/2013 4441 R\$ 671,12 R\$ 0,151119 R\$ 0,348632 R\$ 1.548,27 Janeiro/2014 4485 R\$ 706,51 R\$ 0,157527 R\$ 0,348632 R\$ 1.563,61 Fevereiro/2014 5680 R\$ 867,21 R\$ 0,152678 R\$ 0,348632 R\$ 1.980,23 Março/2014 6862 R\$ 1.050,07 R\$ 0,153027 R\$ 0,348632 R\$ 2.392,31 Abril/2014 4527 R\$ 690,86 R\$ 0,152609 R\$ 0,348632 R\$ 1.578,26 Maio/2014 2470 R\$ 365,36 R\$ 0,147919 R\$ 0,348632 R\$ 639,39 Julho/2014 1834 R\$ 247,52 R\$ 0,134962 R\$ 0,348632 R\$ 639,39 Julho/2014 1241 R\$ 129,67 R\$ 0,104488 R\$ 0,348632 R\$ 1.949,90	Setembro/2013	4691	R\$ 696,23	R\$ 0,148418	R\$ 0,348632	R\$ 1.635,43
Dezembro/2013 4441 R\$ 671,12 R\$ 0,151119 R\$ 0,348632 R\$ 1.548,27 Janeiro/2014 4485 R\$ 706,51 R\$ 0,157527 R\$ 0,348632 R\$ 1.563,61 Fevereiro/2014 5680 R\$ 867,21 R\$ 0,152678 R\$ 0,348632 R\$ 1.980,23 Março/2014 6862 R\$ 1.050,07 R\$ 0,153027 R\$ 0,348632 R\$ 2.392,31 Abril/2014 4527 R\$ 690,86 R\$ 0,152609 R\$ 0,348632 R\$ 1.578,26 Maio/2014 2470 R\$ 365,36 R\$ 0,147919 R\$ 0,348632 R\$ 639,39 Julho/2014 1834 R\$ 247,52 R\$ 0,104488 R\$ 0,348632 R\$ 639,39 Julho/2014 1241 R\$ 129,67 R\$ 0,104488 R\$ 0,348632 R\$ 432,65 Agosto/2014 5593 R\$ 1.129,23 R\$ 0,201901 R\$ 0,348632 R\$ 1.949,90	Outubro/2013	4268	R\$ 642,60	R\$ 0,150562	R\$ 0,348632	R\$ 1.487,96
Janeiro/2014 4485 R\$ 706,51 R\$ 0,157527 R\$ 0,348632 R\$ 1.563,61 Fevereiro/2014 5680 R\$ 867,21 R\$ 0,152678 R\$ 0,348632 R\$ 1.980,23 Março/2014 6862 R\$ 1.050,07 R\$ 0,153027 R\$ 0,348632 R\$ 2.392,31 Abril/2014 4527 R\$ 690,86 R\$ 0,152609 R\$ 0,348632 R\$ 1.578,26 Maio/2014 2470 R\$ 365,36 R\$ 0,147919 R\$ 0,348632 R\$ 639,39 Julho/2014 1834 R\$ 247,52 R\$ 0,104488 R\$ 0,348632 R\$ 639,39 Julho/2014 1241 R\$ 129,67 R\$ 0,104488 R\$ 0,348632 R\$ 432,65 Agosto/2014 5593 R\$ 1.129,23 R\$ 0,201901 R\$ 0,348632 R\$ 1.949,90	Novembro/2013	3162	R\$ 490,38	R\$ 0,155085	R\$ 0,348632	R\$ 1.102,37
Fevereiro/2014 5680 R\$ 867,21 R\$ 0,152678 R\$ 0,348632 R\$ 1.980,23 Março/2014 6862 R\$ 1.050,07 R\$ 0,153027 R\$ 0,348632 R\$ 2.392,31 Abril/2014 4527 R\$ 690,86 R\$ 0,152609 R\$ 0,348632 R\$ 1.578,26 Maio/2014 2470 R\$ 365,36 R\$ 0,147919 R\$ 0,348632 R\$ 861,12 Junho/2014 1834 R\$ 247,52 R\$ 0,134962 R\$ 0,348632 R\$ 639,39 Julho/2014 1241 R\$ 129,67 R\$ 0,104488 R\$ 0,348632 R\$ 432,65 Agosto/2014 5593 R\$ 1.129,23 R\$ 0,201901 R\$ 0,348632 R\$ 1.949,90	Dezembro/2013	4441	R\$ 671,12	R\$ 0,151119	R\$ 0,348632	R\$ 1.548,27
Março/2014 6862 R\$ 1.050,07 R\$ 0,153027 R\$ 0,348632 R\$ 2.392,31 Abril/2014 4527 R\$ 690,86 R\$ 0,152609 R\$ 0,348632 R\$ 1.578,26 Maio/2014 2470 R\$ 365,36 R\$ 0,147919 R\$ 0,348632 R\$ 861,12 Junho/2014 1834 R\$ 247,52 R\$ 0,134962 R\$ 0,348632 R\$ 639,39 Julho/2014 1241 R\$ 129,67 R\$ 0,104488 R\$ 0,348632 R\$ 432,65 Agosto/2014 5593 R\$ 1.129,23 R\$ 0,201901 R\$ 0,348632 R\$ 1.949,90	Janeiro/2014	4485	R\$ 706,51	R\$ 0,157527	R\$ 0,348632	R\$ 1.563,61
Abril/2014 4527 R\$ 690,86 R\$ 0,152609 R\$ 0,348632 R\$ 1.578,26 Maio/2014 2470 R\$ 365,36 R\$ 0,147919 R\$ 0,348632 R\$ 861,12 Junho/2014 1834 R\$ 247,52 R\$ 0,134962 R\$ 0,348632 R\$ 639,39 Julho/2014 1241 R\$ 129,67 R\$ 0,104488 R\$ 0,348632 R\$ 432,65 Agosto/2014 5593 R\$ 1.129,23 R\$ 0,201901 R\$ 0,348632 R\$ 1.949,90	Fevereiro/2014	5680	R\$ 867,21	R\$ 0,152678	R\$ 0,348632	R\$ 1.980,23
Maio/2014 2470 R\$ 365,36 R\$ 0,147919 R\$ 0,348632 R\$ 861,12 Junho/2014 1834 R\$ 247,52 R\$ 0,134962 R\$ 0,348632 R\$ 639,39 Julho/2014 1241 R\$ 129,67 R\$ 0,104488 R\$ 0,348632 R\$ 432,65 Agosto/2014 5593 R\$ 1.129,23 R\$ 0,201901 R\$ 0,348632 R\$ 1.949,90	Março/2014	6862	R\$ 1.050,07	R\$ 0,153027	R\$ 0,348632	R\$ 2.392,31
Junho/2014 1834 R\$ 247,52 R\$ 0,134962 R\$ 0,348632 R\$ 639,39 Julho/2014 1241 R\$ 129,67 R\$ 0,104488 R\$ 0,348632 R\$ 432,65 Agosto/2014 5593 R\$ 1.129,23 R\$ 0,201901 R\$ 0,348632 R\$ 1.949,90	Abril/2014	4527	R\$ 690,86	R\$ 0,152609	R\$ 0,348632	R\$ 1.578,26
Julho/2014 1241 R\$ 129,67 R\$ 0,104488 R\$ 0,348632 R\$ 432,65 Agosto/2014 5593 R\$ 1.129,23 R\$ 0,201901 R\$ 0,348632 R\$ 1.949,90	Maio/2014	2470	R\$ 365,36	R\$ 0,147919	R\$ 0,348632	R\$ 861,12
Agosto/2014 5593 R\$ 1.129,23 R\$ 0,201901 R\$ 0,348632 R\$ 1.949,90	Junho/2014	1834	R\$ 247,52	R\$ 0,134962	R\$ 0,348632	R\$ 639,39
	Julho/2014	1241	R\$ 129,67	R\$ 0,104488	R\$ 0,348632	R\$ 432,65
Setembro/2014 3875 R\$ 728,36 R\$ 0.187964 R\$ 0.348632 R\$ 1.350.95	Agosto/2014	5593	R\$ 1.129,23	R\$ 0,201901	R\$ 0,348632	R\$ 1.949,90
	Setembro/2014	3875	R\$ 728,36	R\$ 0,187964	R\$ 0,348632	R\$ 1.350,95
Outubro/2014 3992 R\$ 741,41 R\$ 0,185724 R\$ 0,348632 R\$ 1.391,74	Outubro/2014	3992	R\$ 741,41	R\$ 0,185724	R\$ 0,348632	R\$ 1.391,74
Novembro/2014 5843 R\$ 1.116,94 R\$ 0,191159 R\$ 0,348632 R\$ 2.037,06	Novembro/2014	5843	R\$ 1.116,94	R\$ 0,191159	R\$ 0,348632	R\$ 2.037,06
Dezembro/2014 3438 R\$ 637,37 R\$ 0,185390 R\$ 0,348632 R\$ 1.198,60	Dezembro/2014	3438	R\$ 637,37	R\$ 0,185390	R\$ 0,348632	R\$ 1.198,60
Janeiro/2015 4153 R\$ 824,68 R\$ 0,198575 R\$ 0,348632 R\$ 1.447,87	Janeiro/2015	4153	R\$ 824,68	R\$ 0,198575	R\$ 0,348632	R\$ 1.447,87
Fevereiro/2015 7213 R\$ 1.543,32 R\$ 0,213964 R\$ 0,348632 R\$ 2.514,68	Fevereiro/2015	7213	R\$ 1.543,32	R\$ 0,213964	R\$ 0,348632	R\$ 2.514,68
Março/2015 6790 R\$ 1.836,28 R\$ 0,270439 R\$ 0,348632 R\$ 2.367,21	Março/2015	6790	R\$ 1.836,28	R\$ 0,270439	R\$ 0,348632	R\$ 2.367,21
Abril/2015 4837 R\$ 1.470,49 R\$ 0,304009 R\$ 0,348632 R\$ 1.686,33	Abril/2015	4837	R\$ 1.470,49	R\$ 0,304009	R\$ 0,348632	R\$ 1.686,33
	Maio/2015	3894	R\$ 1.350,99	R\$ 0,346941	R\$ 0,348632	R\$ 1.357,57
	Junho/2015			·	·	R\$ 324,93
	Julho/2015	4316	R\$ 1.550,49		·	R\$ 1.504,70
				·		R\$ 959,78
						R\$ 1.502,95
				·	·	R\$ 1.524,22
 						R\$ 1.535,38
				·	·	R\$ 1.353,74

Apêndice N - Consumo aproximado dos aparelhos de maior significância

			Especi	ecificações dos equipamentos	uipamentos				Porc	Por ciclo de lote de frango	ango
Uti iz ação	N° de motores	Nº de motores Potência (CV) Tensão ((1)	Corrente (A)	Potência Aparente (kVA) Rendimento (%) Fator de potência Potência (kW) Horas de uso Consumo kWh	Rendimento (%)	Fator de potência	Potência (kW)	Horas de uso	Consumo kWh	Custo
Exaustão de ar	8	1,5	220	6,80	10,39	75	0,85	13,85	320	4433,32	R\$ 1.545,60
Linhas secundaria de alimentação	3	3	220	14,5	8,49	28	0,78	10,89	200	2177,51	R\$ 759,15
Linha primaria de alimentação	1	1	220	5,5	0,87	72	0,85	1,20	200	240,52	R\$ 83,85
Distribuição de ar quente	1	3/4	220	4,2	0,63	70	78,0	16'0	70	63,45	R\$ 22,12

Apêndice O - Consumo aproximado da iluminação

Utilização	Quantidade	Potência (W)	(W) Tensão (Vca)	io (Vca) Corrente (A) H	(A) Horas de uso por lote de frango	Consumo kWh	Custo
Iluminação Interna	64	10	127	0,08	800	512	R\$ 178,50
Iluminação Externa	7	09	127	0,47	300	72	R\$ 25,10

Apêndice P - Ganhos do galpão 1

Mês	Valor ganho (R\$)	Valor Atualizado (R\$)
Janeiro/2011	R\$ 9.813,59	R\$ 14.590,29
Março/2011	R\$ 8.953,67	R\$ 13.117,01
Maio/2011	R\$ 10.728,71	R\$ 15.502,75
Julho/2011	R\$ 8.611,80	R\$ 12.346,17
Setembro/2011	R\$ 8.469,40	R\$ 12.091,24
Novembro/2011	R\$ 16.838,71	R\$ 23.720,35
Dezembro/2011	R\$ 7.100,65	R\$ 9.951,79
Fevereiro/2012	R\$ 4.246,62	R\$ 5.921,57
Maio/2012	R\$ 17.119,27	R\$ 23.585,05
Julho/2012	R\$ 11.077,89	R\$ 15.139,06
Setembro/2012	R\$ 10.253,29	R\$ 13.889,66
Novembro/2012	R\$ 7.496,73	R\$ 10.020,75
Janeiro/2013	R\$ 10.670,91	R\$ 14.082,80
Fevereiro/2013	R\$ 5.035,33	R\$ 6.584,73
Abril/2013	R\$ 12.552,29	R\$ 16.232,40
Junho/2013	R\$ 9.805,12	R\$ 12.561,47
Agosto/2013	R\$ 13.642,74	R\$ 17.451,78
Novembro/2013	R\$ 12.434,35	15741,81578
Janeiro/2014	R\$ 15.839,16	R\$ 19.802,01
Março/2014	R\$ 16.941,18	R\$ 20.913,31
Maio/2014	R\$ 16.108,28	R\$ 19.570,74
Julho/2014	R\$ 18.959,24	R\$ 22.837,75
Setembro/2014	R\$ 17.916,03	R\$ 21.514,38
Novembro/2014	R\$ 20.166,30	R\$ 24.007,30
Janeiro/2015	R\$ 26.495,23	R\$ 31.182,05
Março/2015	R\$ 23.436,94	R\$ 26.868,82
Maio/2015	R\$ 33.032,58	R\$ 37.043,23
Julho/2015	R\$ 23.009,87	R\$ 25.355,42
Setembro/2015	R\$ 31.850,01	R\$ 34.807,29
Novembro/2015	R\$ 25.428,39	R\$ 27.437,15

Vida útil produção Vida útil becas Preço em moeda Preço moeda nacional com Impostos R\$ 1.330,89 R\$ 13,80 R\$ 779,12 R\$ 1.401,33 R\$ 1.281,27 R\$ 2.597,06 R\$ 1.168,68 R\$ 1.147,04 RS 1.157,86
RS 1.384,72
RS 1.118,36
RS 1.398,02
RS 2.559,19 RS 1.168,68 RS 1.174,09 R\$ 1.293,12 R\$ 1.147,04 R\$ 1.114,57 R\$ 2.153,40 R\$ 3.035,32 R\$ 1.363,46 R\$ 1.060,47 R\$ 730,42 R\$ 1.257,03 R\$ 1.147,04 R\$ 1.125,39 R\$ 928,45 RS 1.514,30 RS 1.521,61 RS 1.568,41 R\$ 1.006,36 R\$ 1.141.90 R\$ 1.460,85 R\$ 1.462,31 R\$ 788,67 R\$ 8,18 R\$ 461,70 R\$ 830,42 R\$ 865,69 R\$ 759,27 R\$ 1.539,00 R\$ 692,55 R\$ 679,72 R\$ 596,36 R\$ 766,29 R\$ 679,72 R\$ 660,49 R\$ 1.276,09 RS 686,14 RS 820,58 RS 662,73 RS 1.398,02 RS 1.516,56 RS 628,42 RS 432,84 RS 744,91 RS 792,74
RS 685,82
RS 679,72
RS 666,90
RS 550,19 nacional R\$ 695,76 R\$ 866,55 RS 807,97 R\$ 1.798,71 R\$ 676,68 Preço em Dólar 270,00 236,81 480,00 216,00 212,00 186,00 239,00 212,00 206,00 398,00 214,00 255,93 206,70 436,03 473,00 252,00 196,00 135,00 232,33 241,80 279,88 281,23 289,88 226,00 http://komaes-solar.sell.everychina.com www.zonnepanelen-voordelig.nl www.sunergysolar.com.au www.off-grid-europe.com www.freecleansolar.com www.solarpanelstore.com www.freecleansolar.com www.freecleansolar.com www.freecleansolar.com Cotação realizada em: www.acosolar.com www.acosolar.com www.acosolar.com www.acosolar.com www.renugen.co.uk www.ecodirect.com www.acosolar.com www.acosolar.com https://alfa.solar/uk/ www.acosolar.com www.acosolar.com www.acosolar.com www.acosolar.com www.acosolar.com www.acosolar.com www.acosolar.com www.acosolar.com www.renugen.co.uk www.ecodirect.com www.acosolar.com www.acosolar.com www.civicsolar.com www.acosolar.com www.acosolar.com www.acosolar.com www.acosolar.com www.acosolar.com www.acosolar.com www.acosolar.com www.acosolar.com www.extra.com.br powerena.at Classificação energética Energética (%) Eficiência 16,0 16,6 16,5 16,5 16,5 16,5 16,5 16,4 16,3 16,3 16,3 16,3 16,2 16,3 16,2 16,2 16,2 16,2 16,0 16,0 Produção média de energia (kWh/mês) 40,01 40,01 33,81 33,12 39,36 33,24 25,91 33,15 39,97 39,37 Potência (W) Área (m²) 1,64 194 Silicio MonoCristalino Silicio MonoCristalino Silicio MonoCristalino Silicio MonoCristalino Silicio PoliCristalino Silicio PoliCristalino Silicio PoliCristalino Silicio MonoCristalino Silicio PoliCristalino Silicio PoliCristalino Silicio MonoCristalino Silicio PoliCristalino Silicio MonoCristalino Silicio PoliCristalino Silicio PoliCristalino Silicio PoliCristalino Silicio PoliCristalino Silicio MonoCristalino Silicio MonoCristalino Silicio MonoCristalino Silicio PoliCristalino Silicio PoliCristalino Silicio PoliCristalino Silicio MonoCristalino Silicio MonoCristalino Silicio PoliCristalino Silicio PoliCristalino Silicio PoliCristalino Silicio PoliCristalino Silicio Poli cristalino Silicio PoliCristalino Silicio PoliCristalino Silicio PoliCristalino Silicio PoliCristalino Silicio PoliCristalino Material AC-265M/156-60S CHSM6612P-315 UP-M265P YL315P-35b HR-315W-24/Ba 11275D-306
CS6K-273M
CERM6610M-275
CSDIN 270-60M
CSCX-330P
71270P-30B
KM/5
UL-320P-72
CSDIN 320-72M
ISM 320P-72
CSDIN 320-72M
ISM 320P-73
CSSP 320-73M
CSSP 267P
ISM 320P30P
ISM 320P30P
ISM 320P30P CSUN 265-60M CSUN 265-60M CSUN265-60P HR-265P-18/Bb TSM 315PD14
CHSM6610P-265
UL-200D-72
TSM 265PD05
RSM60-6-265P TSM 265PEG05 YL260P-29b CSUN 260-60P CSUN260-60P HR-260P-18/Bb Modelo/código CS6K-270M CSUN315-72P UP-M315P CS6X 310P TP672P-310 HAREON SOLAR
ASTRONERGY
CANADIAN
TRINA SOLAR SERAPHIM SOLAR UP SOLAR YINGLI SOLAR HAREON SOLAR TRINA SOLAR ASTRONERGY ULICA SOLAR TRINA SOLAR YINGLI SOLAR CANADIAN ASTRONERGY CSUN HAREON SOLAR TRINA SOLAR YINGLI SOLAR HAREON SOLAR YINGLI SOLAR CANADIAN CANADIAN CSUN CSUN AXITEC
ASTRONERGY TALESUN ASTRONERGY SUNTECH AXITEC TRINA SOLAR RISEN SOLAR Canadian Solar CANADIAN UP SOLAR ULICA Marca SCI SSI CSUN produção/área Relação 20,29 20,00 19,99 19,99 Posição 46 42 8 88 8 6 8 8

Apêndice Q - Cotação das placas fotovoltaicas 01

Apêndice R - Cotação das placas fotovoltaicas 02

							l			l				l	l		I	I	l	I		l	l	l	I													l	l			П	
Vida útil produção	25	25	25	25	25	25	25	25	25	25	25	25	25	25	25	25	25	25	25	25	25	25	25	25	25	25	25	25	25	25	25	25	25	25	25	25	25	25	25	25	25	25	25
Vida útil peças	10	10	10	10	10	10	10	10	10	10	10	10	10	10	10	10	10	10	10	10	10	10	10	10	10	10	10	10	10	10	10	10	10	10	10	10	10	10	10	10	10	10	25
Preço em moeda Preço moeda nacional nacional com Impostos	R\$ 1.157,32	R\$ 1.387,21	R\$ 1.244,43	R\$ 1.136,21	R\$ 1.073,45	R\$ 1.073,45	R\$ 1.406,74	R\$ 2.110,11	R\$ 1.125,39	R\$ 2.110,11	R\$ 1.184,91	R\$ 1.341,81	R\$ 1.097,26	R\$ 815,91	R\$ 1.165,97	R\$ 1.371,57	R\$ 979.85	R\$ 1.055.06	R\$ 844.04	R\$ 1.125,39	R\$ 1.266,07	R\$ 2.077,65	R\$ 883.00	R\$ 2.478.03	R\$ 883,00	R\$ 1.287,17	R\$ 990,13	R\$ 990,13	R\$ 1.466,85	R\$ 1.237,66	R\$ 1.103,75	R\$ 1.623,16	R\$ 2.072,24	R\$ 1.076,16	R\$ 1.076,16	R\$ 1.333,70	R\$ 1.144,33	R\$ 1.215,21	R\$ 1.103,75	R\$ 2.069,53	R\$ 811,58	R\$ 1.092,93	R\$ 1.082,11
reço em moeda nacional	R\$ 685,82	R\$ 822,05	R\$ 737,44	R\$ 673,31	R\$ 636,12	R\$ 636,12	R\$ 833,62	R\$ 1.250,44	R\$ 666,90	R\$ 1.250,44	R\$ 702,17	R\$ 795,15	R\$ 650,23	R\$ 483,50	R\$ 690,95	R\$ 812,78	R\$ 580.65	R\$ 625.22	R\$ 500.17	R\$ 666,90	R\$ 750,26	R\$ 1.231,20	R\$ 523.26	R\$ 1.468.46	R\$ 523,26	R\$ 762,77	R\$ 586,74	R\$ 586,74	R\$ 869,25	R\$ 733,43	R\$ 654,07	R\$ 961,87	R\$ 1.227,99	R\$ 637,72	R\$ 637,72	R\$ 790,34	R\$ 678,12	R\$ 720,12	R\$ 654,07	R\$ 1.226,39	R\$ 480,94	R\$ 647,66	R\$ 641,25
Preço em Dólar	213,90	256,39	230,00	210,00	198,40	198,40	260,00	390,00	208,00	390,00	219,00	248,00	202,80	150,80	215,50	253,50	181.10	195.00	156.00	208,00	234,00	384,00	163.20	458.00	163,20	237,90	183,00	183,00	271,11	228,75	204,00	300,00	383,00	198,90	198,90	246,50	211,50	224,60	204,00	382,50	150,00	202,00	200,00
Cotação realizada em: Pre	www.acosolar.com \$	shop.solaris.co.th \$	beyondoilsolar.com \$	www.acosolar.com \$	www.acosolar.com \$	www.acosolar.com \$	www.freecleansolar.com \$	www.freecleansolar.com \$	www.acosolar.com \$	www.freecleansolar.com	http://powerwellsolar.en.made-in-china.com \$	www.acosolar.com \$	www.acosolar.com \$	http://portuguese.alibaba.com \$	www.acosolar.com \$	www.civicsolar.com \$	en.secondsol.de	www.acosolar.com	https://powerwellsolar.en.alibaba.com \$	www.acosolar.com \$	http://beyondoilsolar.com \$	www.freecleansolar.com	www.acosolar.com	www.freecleansolar.com	www.acosolar.com \$	www.acosolar.com \$	www.acosolar.com \$	www.acosolar.com \$	www.civicsolar.com \$	www.acosolar.com \$	www.acosolar.com \$	www.freecleansolar.com	www.freecleansolar.com	www.acosolar.com \$	www.acosolar.com \$	www.ecodirect.com \$	www.acosolar.com \$	http://pvshop.eu \$	www.acosolar.com \$	www.freecleansolar.com \$	www.alibaba.com	www.acosolar.com \$	www.acosolar.com \$
Classificação energética	A	A	A	A	A	A	A	A	A	A	A	A	A	A	A	A	A	A	A	A	A	A	A	A	A	A	A	A	A	A	A	A	A	A	A	A	A	A	A	A	A	A	A
Eficiência Energética (%)	16,0	16,0	16,0	16,0	16,0	16,0	16,0	16,0	16,0	16,0	15,9	16,0	16,0	16,0	16,0	15,9	15.9	15.8	15.9	15.8	15.8	15,8	15.7	15.7	15,7	15,7	15,8	15,8	15,7	15,7	15,7	15,7	15,7	15,7	15,7	15,7	15,7	15,6	15,5	15,6	15,5	15,5	15,5
Produção média de energia (kWh/mês)	38,76	38,76	38,76	32,56	38,72	38,72	32,53	32,52	32,52	32,52	38,70	38,70	32,51	32,50	32,49	32,51	32,51	32,49	32.48	32,48	32,62	31,98	31.88	38.17	31,87	38,15	38,14	38,14	38,14	38,11	31,96	25,09	31,93	31,88	31,88	31,88	31,86	32,54	31,91	32,10	37,50	31,24	31,23
Potência (W)	310	310	310	790	310	310	790	790	790	790	310	310	790	790	790	260	790	790	260	760	261	256	255	305	255	305	305	305	305	305	256	201	255	255	255	255	255	790	255	257	300	250	250
Área (m²)	1,94	1,94	1,94	1,63	1,94	1,94	1,63	1,63	1,63	1,63	1,94	1,94	1,63	1,63	1,63	1,64	1.64	1.64	1.64	1,64	1.65	1,62	1.62	194	1,62	1,94	1,94	1,94	1,94	1,94	1,63	1,28	1,63	1,63	1,63	1,63	1,63	1,67	1,64	1,65	1,93	19,1	19'1
Material	Silicio PoliCristalino	Silicio MonoCristalino	Silicio PoliCristalino	Silicio PoliCristalino	Silicio PoliCristalino	Silicio PoliCristalino	Silicio MonoCristalino	Silicio PoliCristalino	Silicio PoliCristalino	Silicio MonoCristalino	Silicio MonoCristalino	Silicio PoliCristalino	Silicio PoliCristalino	Silicio PoliCristalino	Silicio MonoCristalino	Silicio PoliCristalino	Silicio PoliCristalino	Silicio PoliCristalino	Silicio PoliCristalino	Silicio PoliCristalino	Silicio PoliCristalino	Silicio PoliCristalino	Silicio PoliCristalino	Silicio PoliCristalino	Silicio PoliCristalino	Silicio PoliCristalino	Silicio PoliCristalino	Silicio MonoCristalino	Silicio PoliCristalino	Silicio PoliCristalino	Silicio PoliCristalino	Silicio PoliCristalino	Silicio MonoCristalino	Silicio PoliCristalino	Silicio PoliCristalino	Silicio PoliCristalino	Silicio PoliCristalino	Silicio MonoCristalino	Silicio PoliCristalino				
Modelo/código	TSM 310PD14	SRP310-6MA	JC310M-24/Bb	AC-260P/156-60S	CSUN310-72P	CSUN 310-72P	JC260M-24-Bbv	SYP260P	JC260M-24/Bb	SYP260P	BW-SM310M72	YL310P-35b	UP-M260P	LNSE-260M	JC260S-24-Bb	TSM 260PD05	RSM60-6-260P	CHSM6610P-260	BW-SM260M60	TSM 260PEG05	REC260PE	TP660P-255	CSUN 255-60P	JC305M-24-Abv	CSUN255-60P	TP672P-305	CSUN305-72P	CSUN 305-72P	CHSM6612P-305	JC305M-24/Ab	AC-255P/156-60S	JC200S-24-Db	JC255M-24-Bbv	JC255M-24/Bb	JC255M-24/Bb	JC255M-24-Bb	JC255S-24-Bb	WST-260P6	CHSM6610P-255	REC255PE	SR156P-300	CS6P-250M	CS6P 250P
Marca	TRINA SOLAR	SERAPHIM SOLAR	RENESOLA	AXITEC	CSUN	CSUN	RENESOLA	RISEN	RENESOLA	RISEN	POWEWELL	YINGLI SOLAR	UP SOLAR	Luxen	RENESOLA	TRINA SOLAR	RISEN SOLAR	ASTRONERGY	POWEWELL	TRINA SOLAR	REC	TALESUN	CSUN	RENESOLA	CSUN	TALESUN	CSUN	CSUN	ASTRONERGY	RENESOLA	AXITEC	RENESOLA	RENESOLA	RENESOLA	RENESOLA	RENESOLA	RENESOLA	WINAICO	ASTRONERGY	REC	SR SOLAR	CANADIAN	CANADIAN
Relação produção/área	19,98	86'61	86'61	86'61	19,96	96'61	19,96	19,95	19,95	19,95	19,95	19,95	19,94	19,94	19,93	19,82	19.82	19.81	19.80	19,80	19,77	19,74	19,68	19,68	19,61	19,66	19,66	19,66	19,66	19,64	19,61	19,60	19,59	19,56	19,56	19,56	19,55	19,49	19,46	19,45	19,43	19,40	19,40
Posição	101	102	104	105	110	Ξ	112	114	115	116	117	118	119	124	126	132	133	134	135	136	138	140	143	144	145	146	149	150	152	156	159	160	163	165	165	170	173	178	179	181	188	189	190

Apêndice S - Cotação das placas fotovoltaicas 03

;			Area		r rodução media	Eficiência	Classificação			Preço en	Preço em moeda Preço moeda nacional	l Vida útil	Vida útil
Marca	Modelo/codigo	Material	(m ²)	Fotencia (W)	de energia (kWh/mês)	Energética (%)	energética	Cotação realizada em:	Freço em Dolar	olar nacional	nal com Impostos	becas	produção
AXITEC	AC310P/156-72S	Silicio PoliCristalino	1,94	300	37,56	15,5	A	www.off-grid-europe.com	\$ 28	289,88 R\$ 929,43	9,43 R\$ 1.568,41	10	25
RENESOLA	JC300M-24-Abv	Silicio PoliCristalino	1,94	300	37,54	15,5	A	www.freecleansolar.com	\$ 45	450,00 R\$ 1.442,81	42,81 R\$ 2.434,74	10	25
POWEWELL	BW-SM300P72	Silicio Poli cristalino	1,94	300	37,54	15,4	A	http://pt.made-in-china.com	\$ 21	210,00 R\$ 673,31	3,31 R\$ 1.136,21	10	25
PANASONIC	VBMS255AE04	Silicio PoliCristalino	1,65	355	31,92	15,5	A	www.solarasiashop.com	\$ 21	218,00 R\$ 698,96	8,96 R\$ 1.179,50	10	25
RENESOLA	JC300M-24-Ab	Silicio PoliCristalino	1,94	300	37,52	15,5	A	http://webosolar.com	\$ 24	243,00 R\$ 779,12	9,12 R\$ 1.314,76	10	25
QXPV SOLAR	SL300TU-36P	Silicio PoliCristalino	1,94	300	37,51	15,5	A	http://pt.made-in-china.com	\$ 21	210,00 R\$ 673,31	3,31 R\$ 1.136,21	10	25
CSUN	CSUN 300-72P	Silicio PoliCristalino	1,94	300	37,46	15,5	A	www.acosolar.com	\$ 23	234,00 R\$ 750,26	0,26 R\$ 1,266,07	10	25
BLUESUN	BSM250P-60	Silicio Poli cristalino	1,62	250	31,27	15,4	A	https://www.alibaba.com	\$ 12	125,00 R\$ 400,78	0,78 R\$ 676,32	10	25
YiSolar	YI6A-250P	Silicio PoliCristalino	1,62	250	31,27	15,4	Ą	http://yi-solar.en.alibaba.com	\$ 14	140,00 R\$ 448,87	8,87 R\$ 757,48	10	25
CSUN	CSUN250-60P	Silicio PoliCristalino	1,62	250	31,25	15,4	A	www.acosolar.com	\$ 16	160,00 R\$ 513,00	3,00 R\$ 865,69	10	25
CSUN	CSUN 250-60P	Silicio PoliCristalino	1,62	250	31,25	15,4	Ą	www.acosolar.com	\$ 16			10	25
Surnise Solar Tec Co	SR-P660250	Silicio PoliCristalino	1,62	250	31,24	15,4	A	www.nrgbase.co.uk	\$ 12	124,67 R\$ 399,72	9,72 R\$ 674,53	12	25
ZHEJIANG POWERWELL	BWSM100M36	Silicio MonoCristalino	9,0	100	12,49	15,4	A	www.mercadolivre.com.br	\$ 19	194,93 R\$ 625,00	5,00 R\$ 625,00	12	25
RENESOLA	JC250S-24-Bb	Silicio MonoCristalino	1,63	250	31,30	15,4	Ą	www.acosolar.com	\$ 19	197,50 R\$ 633,23	3,23 R\$ 1.068,58	10	25
SR SOLAR	SR156P-250	Silicio PoliCristalino	1,63	250	31,30	15,4	Ą	www.globalsources.com	\$ 12	127,50 R\$ 408,80	8,80 R\$ 689,84	10	25
RENESOLA	JC250M-24-Bbv	Silicio PoliCristalino	1,63	250	31,29	15,4	Ą	www.freecleansolar.com	\$ 37		02,34 R\$ 2.028,95	10	25
JUST SOLAR	JST250P(60)	Silicio PoliCristalino	1,63	250	31,28	15,4	A	http://pt.made-in-china.com	\$ 10	107,50 R\$ 344,67	4,67 R\$ 581,63	10	25
RISEN	SYP250P	Silicio PoliCristalino	1,63	250	31,28	15,4	A	http://luzsolaris.com	\$ 32	323,37 R\$ 1.036,80	36,80 R\$ 1.036,80	10	25
STIZ	RSM60-6-250P	Silicio PoliCristalino	1,63	250	31,28	15,4	A	www.navitron.org.uk	\$ 20	204,67 R\$ 656,22	6,22 R\$ 1.107,38	10	25
RENESOLA	JC250M-24-Bb	Silicio PoliCristalino	1,63	250	31,27	15,4	A	www.ecodirect.com	\$ 22			10	25
RISEN	SYP250P	Silicio PoliCristalino	1,63	250	31,26	15,4	A	http://luzsolaris.com	\$ 32	1	36,80 R\$ 1.036,80	10	25
QXPV SOLAR	SL250TU-30P	Silicio PoliCristalino	1,63	250	31,25	15,4	A	http://nbqxsolar.en.made-in-china.com	\$ 15			10	25
AXITEC	AC-250P/156-60S	Silicio PoliCristalino	1,63	250	31,24	15,4	A	www.acosolar.com	\$ 24			10	25
Luxen	LNSE-250P	Silicio PoliCristalino	1,63	249	31,14	15,3	A	http://market.drivemotor.biz	\$ 16		6,21 R\$ 871,10	10	25
RENESOLA	JC195S-24-Db	Silicio MonoCristalino	1,28	561	24,41	15,3	A	www.freecleansolar.com	\$ 29		9,43 R\$ 1.585,29	10	25
ULICA SOLAR	UL-250P-60	Silicio PoliCristalino	1,63	248	31,04	15,2	A	www.renugen.co.uk	\$ 20	209,91 R\$ 673,02	3,02 R\$ 1.135,73	10	25
BLD SOLAR	BLD250-60M	Silicio MonoCristalino	1,64	052	31,23	15,3	A	http://bldsolar.en.made-in-china.com	\$ 15	150,00 R\$ 480,94	0,94 R\$ 811,58	10	25
CANADIAN	CS6P 245P	Silicio PoliCristalino	19'1	245	30,64	15,2	A	www.acosolar.com	\$ 19		8,42 R\$ 1.060,47	25	25
CANADIAN	CS6P-245M	Silicio MonoCristalino	19'1	245	30,64	15,2	A	www.acosolar.com	\$ 19			25	25
RENESOLA	JC295M-24-Abv	Silicio PoliCristalino	1,94	295	36,91	15,2	A	www.freecleansolar.com	\$ 44	443,00 R\$ 1.420,37	20,37 R\$ 2.396,87	10	25
Tecnometal Dyasolar	SV245D20	Silicio MonoCristalino	19'1	245	30,63	15,2	A	www.buscaintegrada.com.br	\$ 34			10	25
RENESOLA	JC295M-24-Ab	Silicio PoliCristalino	1,94	295	36,89	15,2	A	www.solarsystems-usa.net	\$ 26			10	25
REC	REC250PE	Silicio PoliCristalino	1,65	251	31,33	15,2	A	www.ecodirect.com	\$ 20			10	25
RENESOLA	JC245S-24-Bb	Silicio MonoCristalino	1,63	947	30,71	15,1	A	www.freecleansolar.com	\$ 36	368,00 R\$ 1.179,90	79,90 R\$ 1.991,08	10	25
YINGLI SOLAR	YL150P-17b	Silicio PoliCristalino	1,00	150	18,78	15,0	A	www.aldo.com.br	\$ 21	218,01 R\$ 699,00	9,00 R\$ 699,00	10	25
RENESOLA	JC245M-24-Bb	Silicio PoliCristalino	1,63	245	30,61	15,1	A	www.acosolar.com	\$ 17	171,50 R\$ 549,87	9,87 R\$ 927,91	10	25
RENESOLA	JC245M-24-Bbv	Silicio PoliCristalino	1,63	245	30,61	15,1	A	www.freecleansolar.com	9E \$	368,00 R\$ 1.179,90	79,90 R\$ 1.991,08	10	25
REC	REC245PE	Silicio PoliCristalino	1,65	248	30,97	15,0	Y	www.solartown.com	\$ 29	291,20 R\$ 933,66	3,66 R\$ 1.575,55	10	25
RENESOLA	JC290M-24-Abv	Silicio PoliCristalino	1,94	167	36,37	15,0	A	www.freecleansolar.com	\$ 43	435,00 R\$ 1.394,72	94,72 R\$ 2.353,59	10	25
RENESOLA	JC290M-24-Ab	Silicio PoliCristalino	1,94	067	36,26	14,9	A	www.solarsystems-usa.net	\$ 33	334,80 R\$ 1.073,45	73,45 R\$ 1.811,45	10	25
CANADIAN	CS6P 240P	Silicio PoliCristalino	19'1	240	30,01	14,9	A	www.solarsystems-usa.net	\$ 30			10	25
CANADIAN	CS6P-240M	Silicio MonoCristalino	19'1	240	30,01	14,9	Ą	www.acosolar.com	5 10	104 00 R\$ 622 01	2 01 R\$ 1 040 65	10	35
												2	3

Apêndice T - Cotação das placas fotovoltaicas 04

ii v																																							
Vida útil produção	25	25	25	25	25	25	25	25	25	25	25	25	25	25	25	25	25	25	25	25	25	25	25	25	25	25	25	25	25	25	25	25	25	25	25	25	25	25	25
Vida útil peças	01	91	01	9	10	10	01	10	10	10	25	10	10	10	10	01	9	10	10	10	01	10	9	10	5	10	10	10	10	10	10	10	10	10	10	10	10	10	10
Preço em moeda Preço moeda nacional nacional	R\$ 1.255,25	R\$ 1.596,11	R\$ 2.407,69	R\$ 1.542,01	R\$ 432,84	R\$ 1.428,38	R\$ 1.947,80	R\$ 2.315,71	R\$ 2.044,92	R\$ 2.699,86	R\$ 1.758,43	R\$ 1.509,54	R\$ 2.321,12	R\$ 2.272,43	R\$ 1.909,92	R\$ 2.272,43	R\$ 2.591,65	R\$ 530,23	R\$ 970,65	R\$ 2.234,55	R\$ 1.866,64	R\$ 1.400,00	R\$ 1.239,00	R\$ 736,00	R\$ 1.463,00	R\$ 439,00	R\$ 380,63	R\$ 810,00	R\$ 566,95	R\$ 1.509,54	R\$ 1.936,97	R\$ 1.065,88	R\$ 229,00	R\$ 350,00	R\$ 259,00	R\$ 162,32	R\$ 170,00	R\$ 205,00	R\$ 190,00
Preço em moeda nacional	R\$ 743,85	R\$ 945,84	R\$ 1.426,78	R\$ 913,78	R\$ 256,50	R\$ 846,45	R\$ 1.154,25	R\$ 1.372,27	R\$ 1.211,80	R\$ 1.599,92	R\$ 1.042,03	R\$ 894,54	R\$ 1.375,48	R\$ 1.346,62	R\$ 1.131,81	R\$ 1.346,62	R\$ 1.535,79	R\$ 314,21	R\$ 575,20	R\$ 1.324,18	R\$ 1.106,16	R\$ 1.400,00	R\$ 1.239,00	R\$ 736,00	R\$ 1.463,00	R\$ 439,00	R\$ 225,56	R\$ 810,00	R\$ 566,95	R\$ 894,54	R\$ 1.147,84	R\$ 631,63	R\$ 229,00	R\$ 350,00	R\$ 259,00	R\$ 96,19	R\$ 170,00	R\$ 205,00	R\$ 190,00
Preço em Dólar	232,00	295,00	445,00	285,00	80,00	264,00	360,00	428,00	377,95	499,00	325,00	279,00	429,00	420,00	353,00	420,00	479,00	00'86	179,40	413,00	345,00	436,65	386,43	229,55	456,30	136,92	70,35	252,63	176,83	279,00	358,00	197,00	71,42	109,16	80,78	30,00	53,02	63,94	59,26
Preçi	S	S	S	S	S	S	S	S	\$	S	\$	Ş	Ş	S	<u>~</u>	S	S	\$	\$	\$	~	~	~	S	~	~	<u>~</u>	S	~	\$	S	Ş	\$	Ş	S	S	S	S	S
Cotação realizada em:	www.acosolar.com	https://www.solaronline.com.au	www.freecleansolar.com	www.freecleansolar.com	https://privatmarket.ua	www.gogreensolar.com	www.freecleansolar.com	www.freecleansolar.com	http://www.secondsol.de	www.freecleansolar.com	www.gogreensolar.com	www.freecleansolar.com	www.freecleansolar.com	www.freecleansolar.com	www.freecleansolar.com	www.freecleansolar.com	www.freecleansolar.com	www.alibaba.com	www.gogreensolar.com	www.freecleansolar.com	www.freecleansolar.com	www.mercadolivre.com.br	www.brasilhobby.com.br	www.energyshop.com.br	www.mentocomercial.com.br	http://prismate.mercadoshops.com.br	https://m.pt.aliexpress.com/	www.brasilhobby.com.br	www.cissynergy.com	www.freecleansolar.com	www.solarpanelstore.com	www.amazon.com	www.sunhome.com.br	www.brasilhobby.com.br	www.aprenderparavencer.com	https://pt.aliexpress.com	www.sunhome.com.br	www.brasilhobby.com.br	www.mercadolivre.com.br
Classificação energética	A	A	A	A	A	A	A	A	A	A	A	A	A	A	A	A	A	A	A	A	A	A	A	A	A	A	A	В	၁	၁	၁	၁	၁	D	3	Ξ	E	B	ы
Eficiência Energética (%)	14,9	14,9	14,9	14,9	14,8	14,8	14,8	14,7	14,7	14,7	14,6	14,6	14,6	14,5	14,5	14,4	14,3	14,2	14,1	14,1	14,1	14,0	14,0	14,0	13,7	13,7	13,5	13,2	12,8	12,6	12,6	12,4	12,3	11,0	10,7	10,3	6'6	6,4	9,2
Produção média de energia (kWh/mês)	36,25	18,77	30,66	23,74	30,00	30,00	30,00	35,70	29,99	30,33	29,43	35,59	30,02	35,23	29,41	35,01	29,92	17,51	28,76	34,39	28,74	17,50	17,50	17,56	21,87	13,75	11,25	11,35	5,64	30,62	3,76	3,76	3,75	2,52	2,51	1,31	1,25	1,26	1,26
Potência (W)	290	150	245	190	240	240	240	286	240	243	235	285	240	282	235	280	239	140	230	275	230	140	140	140	175	110	06	16	45	245	30	30	30	20	20	10	10	10	10
Área (m²)	1,95	10,1	1,65	1,28	1,62	1,62	1,63	1,94	1,63	1,65	19'1	1,95	1,65	1,94	1,63	1,95	1,67	86'0	1,63	1,95	1,63	1,00	9,1	10'1	1,28	0,81	29'0	69'0	0,35	1,95	0,24	0,24	0,24	0,18	0,19	0,10	0,10	0,11	0,11
Material	Silicio PoliCristalino	Silicio PoliCristalino	Silicio PoliCristalino	Silicio MonoCristalino	Silicio PoliCristalino	Silicio PoliCristalino	Silicio PoliCristalino	Silicio PoliCristalino	Silicio PoliCristalino	Silicio PoliCristalino	Silicio PoliCristalino	Silicio PoliCristalino	Silicio PoliCristalino	Silicio PoliCristalino	Silicio PoliCristalino	Silicio PoliCristalino	Silicio PoliCristalino	Silicio PoliCristalino	Silicio PoliCristalino	Silicio PoliCristalino	Silicio PoliCristalino	Silicio PoliCristalino	Silicio PoliCristalino	Silicio PoliCristalino	Silicio MonoCristalino	Silicio PoliCristalino	Silicio MonoCristalino	Silicio PoliCristalino	Silicio PoliCristalino	Silicio PoliCristalino	Silicio MonoCristalino	Silicio MonoCristalino	Silicio MonoCristalino	Silicio PoliCristalino	Silicio PoliCristalino	Silicio MonoCristalino	Silicio MonoCristalino	Silicio PoliCristalino	Silicio PoliCristalino
Modelo/código	YL290P-35B	SYP150S	KD245GX-LPB	JC190S-24-Db	SR-P660240	TP660P-240	JC240M-24-Bb	JC285M-24-Ab	BYD240P6-30	REC240PE	CS6P 235P	YL285P-35B	KD240GX-LFB	JC280M-24-Ab	JC235M-24-Bb	YL280P-35B	Q BASE G2 240	SL6P36-140W	JC230M-24-Bb	YL275P-35B	TW230P60-FA2	KD140SX-UFBS	KD140SX-UPU	KM 140	SF 125X125 - 72 - M(L)	ST110P(36)	HG90	KS90T	KS45T	YL285P-35b	ECO-30W	SY-30M	ST-M30	KS20T	KM20	SFM-10	ST-M10	KS10T	KM10
Marca	YINGLI SOLAR	RISEN	KYOCERA	RENESOLA	SUNRISE	TALESUN	RENESOLA	RENESOLA	GYB	REC	CANADIAN	YINGLI SOLAR	KYOCERA	RENESOLA	RENESOLA	YINGLI SOLAR	O-CELLS	SOLAR LEADING	RENESOLA	YINGLI SOLAR	TIANWEI	KYOCERA	KYOCERA	KOMAES	SUNOWE	SENSOTEC	SOLARTERRA	KYOCERA	KYOCERA	YINGLI SOLAR	ECOFORCE	SUOYANG	SUN HOME	KYOCERA	KOMAES	SINGFO SOLAR	SUN HOME	KYOCERA	KOMAES
Relação produção/área	18,59	18,58	18,58	18,55	18,52	18,52	18,40	18,40	18,40	18,38	18,28	18,25	18,19	18,16	18,04	17,95	17,92	17,87	17,64	17,64	17,63	17,50	17,50	17,39	17,09	16,98	16,79	16,45	16,11	15,70	15,67	15,67	15,63	14,00	13,21	13,10	12,50	11,45	11,45
Posição	301	302	305	308	309	310	318	320	321	323	334	336	337	342	347	353	355	357	361	363	364	375	376	378	382	384	386	390	393	395	396	397	398	401	404	405	406	407	408

Apêndice U - Compatibilidade de produtos homologados INEMTRO/COPE.

			Dothan Sion Stor	Tensão de	Tensão de Corrente	Corrente
Fabricante	Marca	Família/Modelo	rotencia notimiat	operação CC	operação CC operação CA Nominal	Nominal
			(WW)	(Entrada)	(Saida)	(A)
INGETEAM LTDA	Ingeteam	IngeconSun 3 TL M	3	750	220	11
INGETEAM LTDA	Ingeteam	IngeconSun 5 TL M	2	850	220	11

Apêndice V - Simulação do Cenário A

			Joseph Charles and Charles	sounds and and Investigation	- Company	Open case Consequence		Payback Time	k Time	
Posição	Modelo/código	Material	Custo parciai cot	ado do myestimento	ECOHOLINA	Economia amuai prevista) Щ	Método 1	Método 2	lo 2
			Método 1	Método 2	Método 1	Método 2	Yu0s	Meses	Ynos	Meses
25	UL-320P-72	Silício PoliCristalino	R\$ 21.760,67	R\$ 22.456,69	R\$ 2.106,86	R\$ 2.317,54	10	4	6	6
188	SR156P-300	Silício PoliCristalino	R\$ 22.775,69	R\$ 23.500,70	R\$ 2.165,86	R\$ 2.362,76	10	7	10	0
2	VBHN220AA01	\parallel Silício MonoCristalino \parallel R\$ 56.723	R\$ 56.723,77	R\$ 59.435,32	R\$ 2.176,95	R\$ 2.322,08	79	1	25	8

Apêndice W - Simulação do Cenário B

_			And Latinacian of party	ada da Inractimanta	Tomomon	and and other		Payb	Payback Time	
Posição	Posição Modelo/código	Material	Custo parcial con	cotado do mivestimento	ECOHOLINA	COLOINA AIRIAI prevista	Método 1	do 1	Método 2	lo 2
			Método 1	Método 2	Método 1	Método 2	Anos	Anos Meses	Anos	Meses
25	UL-320P-72	25 U.J. 320P-72 Silício PoliCristalino R\$ 194.880,12	R\$ 194.880,12	R\$ 213.302,75	R\$ 19.804,46	R\$ 21.279,26	6	11	10	1
226	JST250P(60)	226 JST250P(60) Silício PoliCristalino R\$ 201.075,65	R\$ 201.075,65	R\$ 217.013,35	R\$ 19.991,40	R\$ 21.147,92	10	1	10	4
2	VBHN220AA01	2 VBHN220AA01 Silício MonoCristalind R\$ 510.725,51	R\$ 510.725,51	R\$ 552.641,55	R\$ 19.737,72	R\$ 21.189,02	25	11	26	1

Apêndice Y - Simulação do consumo para o Cenário C

				Especificações	s dos equipamentos				P	Por ciclo de lote de frango	030
Utilização	N° de motores	Potência (CV)	Tensão (V)	Corrente (A)	Potência Aparente (kVA)	Rendimento (%)	Fator de potência	Potência (kW)	Horas de uso	Consumo kWh	Custo
Exaustão de ar	8	1,5	12	76	8,94	90,2		16,6	320	3170,30	R\$ 1.105,27
Linhas secundaria de alimentação	3	3	220	14,5	8,49	78	0,78	10,89	200	2177,51	R\$ 759,15
Linha primaria de alimentação	1	1	220	5,5	0,87	72	0,85	1,20	200	240,52	R\$ 83,85
Distribuição de ar quente	1	3/4	220	4,2	0,63	70	0,87	0,91	20	63,45	R\$ 22,12

Apêndice Z - Simulação do Cenário C

				Claimon chand	of old Terrochises who	-	choire ower Torres o		Payback Time	k Time	
Posição geral	Marca	Modelo/código	Material	Custo parcial c	custo partial cotado do myestimento	ECOIDIII	ECOIDINA AIRMI PIEVISIA	Méı	Método 1	Mét	Método 2
				Método 1	Método 2	Método 1	Método 2	Anos	Anos Meses	Anos	Meses
25	ULICA	UL-320P-72	Silício PoliCristalino	R\$ 51.746,63	R\$ 55.084,67	R\$ 10.744,97	R\$ 11.377,03	4	10	4	11
226	JUST SOLAR	JST250P(60)	Silício PoliCristalino	R\$ 55.023,52	R\$ 58.351,89	R\$ 10.739,18	R\$ 11.400,05	5	2	5	2
2	PANASONIC	VBHN220AA01	Silício MonoCristalino	R\$ 224.404,57	R\$ 239.212,31	R\$ 10.739,64	R\$ 11.465,29	20	11	20	11

ANEXOS

Column C					Carac	Características físicas	ísicas	Circuito	Curto Circuito	Ponto M	Ponto Máx. Potência	Potência	Temperatura ('C)	Produção média de	Eficiência	Classificação
Triggram Triggram	Empresa	Marca	Modelo/codigo	Material	Comprimento (mm)	Largura (mm)				_	CORRENTE (A)	_	(Condições normais de usol	energia (kVh/mês)	Energetica (%)	energética
The Stock	A D DO BRASIL INFORMATICA L'IDA	3TSOLAR	3T\$140Wp	Silício PoliCristalino	1482	9/9	⊢		8,44	18,10	7,74	140,00	47,5	17,51	14,0	¥
Mail	A D DO BRASIL INFORMATICA L'IDA	3TSOLAR	3T\$260Wp	Silício PoliCristalino	1640	992			9,14	30,70	8,47	260,00	47,5	32,50	16,0	Y
Properties Pro	AJ imports Soluções Sustentáveis para Energia e ÁguaLtda ME	AJ IMPORTS	0/2-IV/S	Silicio MonoCristalino		1000			10'6	30,40	8,30	252,00	47,5	31,54	15,4	Y
TOPOLIARY PROPERTY STATES PARTICIPATION 1151 157	A E HOLDEFER	HQ SOLAR	$\Lambda 0$ 5-d 0 5 0 OH	Silício PoliCristalino	009	929	0,41 4,8	23,80	2,78	19,30	2,63	51,00	45,00	6,34	12,5	C
PACKALL PACK	A E HOLDEFER	HQ SOLAR	HQ100P-100W	Silício PoliCristalino	1131	929	0,76 8,5	22,00	6,36	17,60	5,73	101,00	45,00	12,61	13,2	m
Creecy CORONG 259 SIGN BACKGRIGHE 1859 195 15 15 15 15 15 15 15 15 15 15 15 15 15	A E HOLDEFER	HQ SOLAR	HQ130P-130W	Silício PoliCristalino	1482	929	1.00 11.	22,22	8.14	18.00	7.22	130,00	45.00	16.25	13.0	ပ
March 69 No. Silice Policination 165 191 15 15 54 54 12 1	Green Oualy	Cencorp	CHROME 250	Silicio PoliCristalino	1613	984	+	L	8.08	31.10	8.05	250.00	47.5	31.29	15.8	Y
ALTERNOLIS OLIVE ACCOUNTING MANY NATIONAL CONTRING MANY NATIONAL CASTANGER STRIPE ACCOUNTING MANY NATIONAL CONTRING MANY NATIONAL CASTANGER STRIPE MANY N	ACA FCOLOGY BRAZII.	DAV 4	60 MC-I	Silicio PoliCristalino	1650	1013	+	╄	8 53	30 05	7.77	232.00	45.00	10 02	13.0	4
Line	ACA FCOLOGY BRAZII	FFRRANTA SOLIS	AP 60.238	Silicio PoliCristalino	1663	000	1 66 99 0	37.16	010	12.00	7.64	931.00	45,00	10,02	12.0	-
Like	AI DER FUERCIA S'A	ALDER	ALP230P_60		0291	000	1 64 10 0	36.80	0,10	10,51	7.78	330.00	45,00	18.70	141	
ALTER	AT DER ENFRCTA S.A.	AT DFR	09'd58'd1V	Silicio PoliCristalino	1650	000	-	╀	6.47	30.00	7.80	225.00	45.00	30.30	14.4	
ALTER	ALPER FUERCIA S.A.	AI PFR	ALP240M-60	Silicio MonoCristalino	1650	000	+	\perp	8.45	30.00	7 95	240.00	45,00	30.01	14.7	4
ATTRICATION AUGUSTA	ALPER ENERGIAS.A.	ALPER	ALP240P-60	Silício PoliCristalino	1650	266	+	┖	8 56	30 00	8 01	240 00	45 00	30.04	14.7	
Alter	ALPER ENERGIAS.A.	ALPER	ALP245M-60	Silicio MonoCristalino	1650	665	+	L	8 28	30.40	8 06	245 00	45 00	30.63	150	4
Altright	ALPER ENERGIAS A.	ALPER	ALP250M-60	Silicio MonoCristalino		266	-	╀	8 70	30.60	8 17	250.00	45.00	31.25	153	
ALPRING ALPSINGAT Silicia MonoCristinia 1575 1600 6170 5170 5160 6200 6301 516 156 ALPR ALPROPORTA Silicia ballocirinitia 1556 929 120 120 610 520 150 610	ALPER ENERGIAS A	ALPER	ALP260M-96	Silicio MonoCristalino	L	1082	-	┖	5.72	50 50	515	260.00	45 00	32.51	153	
APPRIOR ALTORPO Sitilice belichating 1955 992 194 7100 4470 859 195 1950 450	ALPER ENERGIA S.A.	ALPER	ALP265M-60	Silicio MonoCristalino	1575	1082		╄	5.77	21.00	5.20	265.00	45.00	33.15	15.6	Y
Altarra	ALPER ENERGIA S.A.	ALPER	ALP280P-72	Silício PoliCristalino	1956	665		┖	8.81	35.50	7.89	280.00	45.00	35.01	14.4	Y
U.C.A. SOLAR U.J. 2009-72 Silich Palforinaline 1595 592 154 1576 4459 5869 5869 1569	ALPER ENERGIA S.A.	ALPER	ALP285P-72	Silício PoliCristalino	1956	665	+	╀	8.85	36 00	7 92	285 00	45 00	35.64	14.7	4
ULICA SOLAR UL. JORDA-7 Silide MacCrientine 1550 151 1	ALPER ENERGIAS.A.	ALPER	ALP290P-72	Silício PoliCristalino	1956	992	-	L	8.90	36.40	7.97	290.00	45.00	36.26	15.0	V
ULCA SOLAR UL.200P-00 Sitico PoliCientino 1857 959 185 1900 8304 839 830 838 830 8300 4500 4500 1304 152	ANTARES	ULICA SOLAR	UL-200D-72	Silicio MonoCristalino		808	+	L	5,69	38.10	5.44	207.00	45.00	25.91	16.2	Y
ULICA SOLAR UL_SOUN-60 Silicio baloccitatino 1657 997 156 1960 8104 8156	ANTARES	ULICA SOLAR	UL-250P-60	Silicio PoliCristalino		766	+	L	8,37	30,85	8,05	248,00	46,00	31,04	15.2	V
ULICA SOLAR UL-300k-72 Silicio-Mono-Criatinia 1953 997 195 21.5 4.577 8.43 8.68 8.10 299 0 28.59 159 151	ANTARES	ULICA SOLAR	UL-260M-60	Silicio MonoCristalino		166	-	L	8,99	31,05	8,25	256,00		32,02	15,7	¥
Variable Coltan Variable Coltabilities 1953 957 155 1545 856 1547 854 590 600 6159 1559	ANTARES	ULICA SOLAR	UL-300P-72	Silício PoliCristalino		166	⊢	┡	8,43	36,88	8,10	299,00		37,34	15,3	¥
AVPROBECT AVP-14PP Sitic- PoliCriatilino 1042 929 1,03 2,253 8,64 1,84 6,60 1,755 139 AVPROBECT AVP-14PP Silicio PoliCriatilino 1644 929 1,03 2,153 8,14 18,20 8,14 18,20 8,170 7,91 140,00 46,00 13,50 14,6 1,00 23,74 18,20 8,14 18,20 1,170 7,91 140,00 46,00 13,50 14,6 1,00 1,10 1,10 7,91 140,00 46,00 13,6 14,6 14,6 14,0 14,6 <	ANTARES	ULICA SOLAR	UL-310M-72	Silicio MonoCristalino		166	\vdash	┡	8,58	37,47	8,24	309,00		38,59	15,9	¥
AVPOLICC AVP_150P Sitistic PoliCictatine 1644 992 1,03 1300 2,25 8,14 18,23 8,21 15,000 46,000 13,00 14,5	P-LUXOLAR TECNOLOGIAS EM ENERGIA SOLAR FOTOVOLTAICA LTDA	AVPROJECT	AVP-140P	Silício PoliCristalino	1042	365	-		8,66	17,84	8,05	144,00	46,00	17,95	13,9	¥
AVPROJECT AVPRAJECT AVPRAJECT <t< td=""><td>P-LUXOLAR TECNOLOGIAS EM ENERGIA SOLAR FOTOVOLTAICA LTDA</td><td>AVPROJECT</td><td>AVP-150P</td><td>Silício PoliCristalino</td><td>1042</td><td>365</td><td></td><td></td><td>8,74</td><td>18,32</td><td>8,21</td><td>150,00</td><td>46,00</td><td>18,80</td><td>14,6</td><td>Y</td></t<>	P-LUXOLAR TECNOLOGIAS EM ENERGIA SOLAR FOTOVOLTAICA LTDA	AVPROJECT	AVP-150P	Silício PoliCristalino	1042	365			8,74	18,32	8,21	150,00	46,00	18,80	14,6	Y
AVPROJECT AVPAGALISOVPP Silicio PoliCriatilino 1336 992 1,33 16,00 29,74 8,20 25,48 7,46 190,00 46,00 23,76 14,3 AVPROJECT	P-LUXOLAR TECNOLOGIAS EM ENERGIA SOLAR FOTOVOLTAICA LTDA	AVPROJECT	AVP-250P	Silício PoliCristalino	1644	365	-		8,68	17,70	7,91	140,00	46,00	17,50	9,8	1
AVPROJECT	P-LUXOLAR TECNOLOGIAS EM ENERGIA SOLAR FOTOVOLTAICA LTDA	AVPROJECT	AVP48M-190WP	Silicio PoliCristalino	1336	992	Н	Ц	8,20	25,48	7,46	190,00	46,00	23,76	14,3	A
AYPROJECT AVPGMAZ3NYPP Silicio PoliCriatilino 1644 992 1,65 21,00 31,07 7,4 246,00 46,00 29,44 144 AYPROJECT AVPGMAZ3NYP Silicio PoliCriatilino 1644 992 1,65 1,00 31,07 7,7 3,69 3,69 46,00 30,06 14/7 AYPROJECT AVPGMAZ3NYP Silicio MonoCriatulino 1644 992 1,65 1,00 37,70 8,65 30,50 46,00 30,77 1,4 AYPROJECT AVPROJECT AVPTAL23NYP Silicio PoliCriatulino 1666 997 1,65 50 46,20 35,00 46,00 36,25 1,45 AVPROJECT AVPTAL23NYP Silicio PoliCriatulino 1966 997 1,66 50 46,00 45,00 46,00 36,00 36,00 36,00 36,00 36,00 36,00 36,00 36,00 36,00 36,00 36,00 36,00 36,00 36,00 36,00 36,00 36,00 36,00 </td <td>P-LUXOLAR TECNOLOGIAS EM ENERGIA SOLAR FOTOVOLTAICA LTDA</td> <td>AVPROJECT</td> <td>AVP48M-195WP</td> <td>Silicio MonoCristalino</td> <td></td> <td>992</td> <td>-</td> <td></td> <td>8,65</td> <td>24,11</td> <td>8,09</td> <td>195,00</td> <td>46,00</td> <td>24,38</td> <td>14,7</td> <td>¥</td>	P-LUXOLAR TECNOLOGIAS EM ENERGIA SOLAR FOTOVOLTAICA LTDA	AVPROJECT	AVP48M-195WP	Silicio MonoCristalino		992	-		8,65	24,11	8,09	195,00	46,00	24,38	14,7	¥
AYPROJECT AVPGMAL24VPP Stiticic PoliCristatino 1644 992 1,65 1,07 3,107 7,74 240,00 46,00 30,06 14.7 AYPROJECT AVPGMAL24VPP Silticio PoliCristatino 1644 992 1,65 1,00 3,00 8,00 243,00 46,00 30,05 14.7 AVPROJECT AVPGMAL23VPP Silticio MonoCristatino 1966 997 1,65 5,00 4,22 8,54 8,04 8,00 46,00 35,07 14.5 AVPROJECT AVPTAL23VPP Silticio PoliCristatino 1966 997 1,65 6,00 45,00 8,00 46,00 35,07 14.5 AVPROJECT AVPTAL23VPP Silticio PoliCristatino 1966 997 1,66 8,07 8,47 8,64 8,10 46,00 35,07 14.5 AVPROJECT AVPTAL23VPP Silticio PoliCristatino 1966 997 1,60 8,77 8,48 8,00 46,00 37,27 1,6 AVITIC	P-LUXOLAR TECNOLOGIAS EM ENERGIA SOLAR FOTOVOLTAICA LTDA	AVPROJECT	AVP60M-235WP	Silício PoliCristalino	1644	665	-	0 37,12	8,13	30,95	7,61	236,00	46,00	29,44	14,4	A
APPROJECT	P-LUXOLAR TECNOLOGIAS EM ENERGIA SOLAR FOTOVOLTAICA LTDA	AVPROJECT	AVP60M-240WP	Silício PoliCristalino		992	\rightarrow	_	8,30	31,07	7,74	240,00	46,00	30,06	14,7	Y
AVPROJECT AVPROJACSIVP Sitisic policitatina 1944 992 1,56 26,00 46,18 8,58 35,40 8,10 250,00 35,00 15,5	P-LUXOLAR TECNOLOGIAS EM ENERGIA SOLAR FOTOVOLTAICA LIDA	AVPROJECT	AVP60M-245WP	Silicio MonoCristalino		392	-	4	3,63	30,03	60,8	243,00	46,00	30,37	6,5	¥.
AVPROJECT AVPTAL2SNWP Sitiscie policicatatine 1966 997 1,96 5,000 44,22 8,54	P-LUXOLAR TECNOLOGIAS EM ENERGIA SOLAR FOTOVOLTAICA L'IDA	AVPROJECT	AVP60M-250WP	Silicio MonoCristalino	1644	365	\rightarrow	4	8,68	30,50	8,20	250,00	46,00	31,26	5,5	Y
AVPROJECT AVP72AL99WP Silice PoliCriating 1966 997 1,96 26,00 45,10 35,58 36,40 291,00 46,00 36,56 15,3	P-LUXOLAR TECNOLOGIAS EM ENERGIA SOLAR FOTOVOLTAICA LIDA	AVPROJECT	AVP/ZM-285WP	Silicio PoliCristalino	1960	166	+	4	40°	35,44	8,04	00,082	46,00	30,02	C, 14, 2	₩.
AVITIC AC.240P156-608 Silicio PoliCristalino 1540 997 1,96 26,00 45,00 8,07 36,40 36,70 36,40 37,50 1,50	P-LOXOLAR IECNOLOGIAS EN ENERGIA SOLAR FOI OVOL I AICA LI DA	AVPROJECI	AVP/ZM-290WP	Silicio Poli Cristalino		166	-	4	700	35,58	3,00	00,062	46,00	20,05	14,8	₩.
AVIIIC AC-350P156-608 Silicio PoliCristalino 1540 992 1,63 1945 94,00 4-5,00 94,01	P-LOAGLAN IECNOLOGIAS EN ENERGIA SOLAN FOI OVOL IAICA LI DA	AVPROJECT	AVP/ZM-293WP	Silicio MonoCristalino		700	-	4	0,00	26,90	01,0	00,000	46,00	30,00	0,51	€ .
AMIRC AC-250P15-6508 Silicio PoliCriatilino 1540 992 1,55 1570 874 974 20,00 45±2 21,74 154 AMIRC AC-250P15-6568 Silicio PoliCriatilino 1540 992 1,55 1570 874 30,00 8,14 20,00 45±2 31,74 154 AMIRC AC-260P15-658 Silicio PoliCriatilino 1540 992 1,55 1570 8,14 30,00 8,14 20,00 45±2 31,75 157 AMIRC AC-260P15-678 Silicio PoliCriatilino 1540 992 1,94 23,00 45,20 8,10 30,00 45±2 31,56 155 AMIRC AC-260P15-73 Silicio PoliCriatilino 1540 992 1,94 23,00 45,20 8,20 31,00 45±2 33,78 155 AMIRC AC-260P15-678 Silicio PoliCriatilino 1540 992 1,94 23,00 45,20 8,20 31,00 45±2 33,78 155 AMIRC AC-260P15-678 Silicio PoliCriatilino 1540 992 1,94 23,00 45,20 30,80 8,50 255,00 45±2 33,78 155 AMIRC AC-260P15-678 Silicio PoliCriatilino 1540 992 1,54 33,70 8,90 30,30 8,20 255,00 45,00 31,23 15,4 ANIRC AC-260P15-678 Silicio PoliCriatilino 1540 992 1,55 37,40 8,90 30,30 8,25 255,00 45,00 31,23 15,4 ANIRC AC-260P15-678 Silicio PoliCriatilino 1540 992 1,55 37,40 8,90 30,30 8,25 255,00 45,00 31,23 15,4 ANIRC AC-260P15-678 Silicio PoliCriatilino 1540 992 1,55 37,40 8,90 30,30 8,35 35,50 45,00 31,23 15,5 ANIRC AC-260P15-678 Silicio PoliCriatilino 1540 992 1,53 19,5 37,40 8,90 30,30 8,35 30,00 45,00 37,2 15,5 ANIRC AC-260P15-678 Silicio PoliCriatilino 1540 992 1,53 19,5 37,40 8,90 30,30 8,35 30,00 45,00 37,2 15,5 ANIRC AC-260P15-678 Silicio PoliCriatilino 1540 992 1,53 30,00 9,24 30,00 45,00 37,2 37,2 35,5 ANIRC AC-260P15-678 Silicio PoliCriatilino 1540 992 1,54 33,00 4,50 8,35 30,00 45,00 37,2 37,2 37,5	A VITTE COMPONENTER ON AREA DO BRASE TITA	AVITEC	AWD05-W2/AVA	Silicio MonoCristalino		000	+	4	0,0	30.05	7.04	240.00	40,00 45±7	30,00	2,01	4 -
AMIRC AC.3209/156-608 Silicio PoliCristalino 1940 972 1,70 15,70 10,70 1,70	AVITED COMPONENTER SOLITION DE ASTE L'EDA.	AVITEC	00-051/1045/JV	Cilioio DoliCuistalino	1640	000	+	+	8.71	30.70	6.17	250,00	45.17	31.04	14.4	-
AMIRC AC-2107-130-000 SHicke PoliCristaline 1540 972 1,55 18,5 8,00 9,04 30,00 8,45 200,00 45 ± 2 2,15 15,5	AVITEC COMPONENTES SOLANDS DO DICASIL LIDA.	AVITEC	AC-2007/130-000	Cittain DaliChistaline	1640	725	+	+	0,01	00,00	0 20	00,002	7 = 6+	2010	167	٠.
AVIIIC ACI310P1156-773 Silicio PoliCristalino 1556 952 1,94 1500 45,58 8,71 36,73 8,18 300,00 45±2 37,56 15,5 15,5 AVIIIC ACI310P1156-773 Silicio PoliCristalino 1956 992 1,94 1500 45,58 8,71 36,73 8,18 300,00 45±2 37,56 15,5 AVIIIC AC.263A1156-603 Silicio PoliCristalino 1956 992 1,94 13,00 45,20 30,83 30,00 45±2 33,18 16,0 HIMAN HE1-40P Silicio PoliCristalino 1640 992 1,63 13,7 13,00 30,30 8,26 13,00 45,00 17,22 14,0 RISEN STP250P Silicio PoliCristalino 1640 992 1,63 19,5 37,40 8,90 30,30 8,38 255,00 45,00 31,28 15,4 RISEN STP30P Silicio PoliCristalino 1640 992 1,63 19,5 37,40 8,90 30,30 8,38 355,00 45,00 31,28 15,4 RISEN STP30P Silicio PoliCristalino 1640 992 1,63 19,5 37,40 8,90 30,30 8,38 30,50 45,00 37,22 15,0 RISEN STP30P Silicio PoliCristalino 1640 992 1,63 19,5 37,40 8,90 8,50 8,53 300,00 45,00 37,22 15,0 RISEN STP30P Silicio PoliCristalino 1640 992 1,63 19,5 37,40 8,90 8,50 8,50 8,50 45,00 37,22 15,0 RISEN STP30P Silicio PoliCristalino 1640 992 1,63 19,5 37,40 8,90 8,50 8,50 8,50 8,50 30,00 45,00 37,22 15,0 RISEN STP30P Silicio PoliCristalino 1640 992 1,63 19,5 30,00 8,50 8,50 8,50 30,00 45,00 37,22 15,0 RISEN STP30P Silicio PoliCristalino 1640 1,60 1,	AXITEC COMPONENTES SOCIATES DO BRASIL LIDA.	AVITEC	AC.260P/156,608	Silicio PoliCristalino	1640	200	+	+	0,04	30,00	8.43	260.00	45+7	32.56	160	-
AXIIIC ACCISTOP116-1725 Silicio PoliCristalino 1556 992 1,94 23,00 45,22 8,18 310,00 45 ± 2 31,00 45,00 31,2	AXITEC COMPONENTES SOLDENES DO BRASIL LIDA	AVITEC	AC410P/156.728	Silicio PoliCristalino	1956	600	-	┸	8.71	36.73	818	300,00	45+2	37.56	16.5	4
AVITIC AC.263A/L156.608 Silicio MonoCristalino 1640 992 1,65 13,00 38,42 9,20 30,85 8,60 265,00 45±2 33,16 16,3 HIMIN HG.140P Silicio PoliCristalino 1482 676 1,00 11,7 22,10 8,22 18,20 7,70 140,00 46,00 17,52 14,0 RISEN SYP250P Silicio PoliCristalino 1640 992 1,65 19,5 37,30 8,90 30,30 8,38 255,00 45,00 31,38 15,6 RISEN SYP260P Silicio PoliCristalino 1640 992 1,65 19,5 37,40 8,90 30,38 8,38 265,00 45,00 31,28 15,6 RISEN SYP260P Silicio PoliCristalino 1955 992 1,65 19,5 30,00 45,00 45,00 37,2 15,6 RISEN SYP260P Silicio PoliCristalino 1955 992 1,94 120,00 4,90 8,85 35,90 8,36 300,00 45,00 37,2 15,5 RISEN SYP260P SYP260	AXITEC COMPONENTES SOLARES DO BRASIL LIDA.	AXITEC	AC310P/156-728	Silicio PoliCristalino	1956	992	-	┸	8.89	37.02	838	310.00	45±2	38.78	16.0	4
HIMIN HG-140P Silicio PoliCristalino 1482 676 1,00 11,7 22,10 8,22 18,20 7,70 140,00 45,00 17,52 14,0 14,0 MSEN SYP250P Silicio PoliCristalino 1640 992 1,65 19,5 37,40 8,90 30,30 8,38 255,00 45,00 31,28 15,4 MSEN SYP260P Silicio PoliCristalino 1640 992 1,65 19,5 37,40 8,90 30,38 255,00 45,00 31,23 15,6 MSEN SYP260P Silicio PoliCristalino 1640 992 1,65 19,5 37,40 8,90 8,38 30,00 45,00 31,23 16,5 15,5 MSEN SYP260P Sylicio PoliCristalino 1955 992 1,94 30,00 4,90 8,36 300,00 45,00 37,21 15,5 MSEN MSEN SYP260P Sylicio PoliCristalino 1955 992 1,94 30,00 4,90 8,36 300,00 45,00 37,21 15,5 MSEN M	AXITEC COMPONENTES SOLARES DO BRASIL, L'IDA	AXITEC	AC-265M/156-608	Silicio MonoCristalino	1640	992	+	L	9.20	30.85	8.60	265.00	45±2	33.16	16.3	4
RISEN STP250P Silicio PoliCristalino 1640 992 1,65 19,7 37,20 8,90 30,20 8,25 250,00 45,00 31,28 15,4 RISEN STP250P Silicio PoliCristalino 1640 992 1,65 19,5 37,40 8,90 30,38 338 255,00 45,00 31,28 15,6 RISEN STP200P Silicio PoliCristalino 1640 992 1,63 19,5 37,40 8,90 30,38 35,90 45,00 31,22 1,60 RISEN STP200P Silicio PoliCristalino 1640 992 1,63 19,4 31,00 44,90 8,83 35,90 8,36 300,00 45,00 37,22 15,5 RISEN STREEN STREEN	BANNO CIATEXTII. COMERCIO EXTERIOR E CORRETORA L'IDA	HIVIIV	HG-140P	Silicio PoliCristalino	1482	979	+	╀	8 22	18 20	7.70	140.00	46 00	17.52	14.0	-
RISEN STP253P Silicio PoliCristalino 1640 992 1,65 19,5 37,40 8,90 30,38 8,38 255,00 45,00 31,82 1,65 RISEN STP260P Silicio PoliCristalino 1640 992 1,65 19,5 37,50 9,24 30,50 8,53 260,00 45,00 32,52 16,0 RISEN STP200P Silicio PoliCristalino 1953 1,94 23,00 4,90 8,55 35,90 45,00 45,00 37,52 16,0	BANNIO CIATEXTII. COMERCIO EXTERIOR E CORRETORA L'IDA	RISEN	SYP250P	Silício PoliCristalino	1640	992	+	╀	890	30,30	8.26	250.00	45.00	31.28	15.4	
RISEN SYP260P Silicio PoliCristalino 1640 992 1,63 19,5 37,50 9,24 30,50 8,53 260,00 45,00 45,00 33,52 RISEN SYP200P Silicio PoliCristalino 1955 1,94 13,00 44,90 8,85 35,90 8,36 300,00 45,00 31,52	BAMMO CIATEXTIL COMERCIO EXTERIOR E CORRETORA L'IDA	RISEN	SYP255P	Silício PoliCristalino	1640	992	-	L	8,90	30,38	8,38	255,00	45,00	31,82	15,6	¥
KISEN STP300P SHicko-PoliCristalino 1955 992 1;94 23,00 44,90 8,85 35,90 8,36 300,00 45,00 37,52	BAMMO CIATEXTIL COMERCIO EXTERIOR E CORRETORA L'IDA	RISEN	SYP260P	Silício PoliCristalino	1640	365	\vdash		9,24	30,50	8,53	260,00	45,00	32,52	16,0	¥
	BANNAO CIATRXTII. COMPRCIO EXTERIOR E CORRETORA L'IDA	DICEN	COOCULA	11 1 1 1 1 1 1 1 1 1 1 1 1 1 1 1 1 1 1			H									

Fonte: [INMETRO,2016]

Anexo 4.2: Placas fotovoltaicas 02

Emerice	M	Modelodeódiao	N.	Caracter	Características físicas	icas	Circuito Aberto	Curto Circuito	Ponto M	Ponto Máx. Potência	Potência	Temperatura ('C)	Produção média de	Eficiência (Classificação
n na adima		of the control of the		Comprimento Largura (mm) (mm)		Årea Peso (m²) (Kg)	Tensão (V)	Corrente (A)	TENSÃO (V)	CORRENTE (A)	Σ	normais de	energia (kVh/mês)	(X)	energética
BARRANDA COMERCIO INTERNACIONAL LTDA	CSUN	CSUN240-60P	Silicio PoliCristalino	1640	990	,62 19,1	36,90	8,67	29,60	8,11	240,00	45,00	30,01	14,8	¥
BARRANDA COMÉRCIO INTERNACIONAL LIDA	CSUN	CSUN245-60P	Silício PoliCristalino	1640	990 1	,62 19,1	37,10	8,74	29,70	8,25	245,00	45,00	30,63	16,1	A
BARRANDA COMERCIO INTERNACIONAL LIDA	CSUN	CSUN250-60M	Silício MonoCristalino	1640	990 1	,62 19,1	37,30	8,78	30,10	16,8	250,00	45,00	31,27	15,4	A
BARRANDA COMERCIO INTERNACIONAL LIDA	CSUN	CSUN250-60P	Silicio PoliCristalino	1640	990 1	,62 19,1	37,30	8,81	29,90	96,8	250,00	45,00	31,25	15,4	A
BARRANDA COMÉRCIO INTERNACIONAL LTDA	CSUN	CSUN255-60M	Silício MonoCristalino	1640	990	,62 19,	38,00	8,82	30,70	8,30	255,00	45,00	31,85	15,7	A
BARRANDA COMERCIO INTERNACIONAL LTDA	CSUN	CSUN260-60M	Silício MonoCristalino	1640	990	,62 19,	38,10	8,90	30,80	8,44	260,00	45,00	32,49	16,0	A
BARRANDA COMERCIO INTERNACIONAL LIDA	CSUN	CSUN265-60M	Silício MonoCristalino	1640	990 1	,62 19,1	38,20	86'8	31,00	8,55	265,00	45,00	33,13	16,3	Ą
BARRANDA COMERCIO INTERNACIONAL LIDA	CSUN	CSUN290-72P	Silício PoliCristalino	1956	990	.94 23,8	44,30	8,75	35,60	8,15	290,00	45,00	36,27	15,0	A
BARRANDA COMÉRCIO INTERNACIONAL LTDA	CSUN	CSUN310-72M	Silício MonoCristalino	1956	_			8,86	37,10	8,36	310,00	45,00	38,77	16,0	A
BITNEX CONFRCIO EXTERIOR L'IDA	BIT SOLAR	PFVB\$150W	Silício PoliCristalino	1482	680 1	1,01 14,00	0 21,60	8,51	18,00	8,33	150,00	45,00	18,74	14,9	A
BITMEX COMÉRCIO EXTERIOR L'IDA	BIT SOLAR	PFVBS300W	Silício PoliCristalino	1956	992 1	1,94 24,00	0 45,67	8,74	36,19	8,29	300,00	45,00	37,50	15,5	A
BLUE SOL COMERCIAL IMPORTADORA EXPORTADORA LTDA	BYD	BYD140P6-18	Silício PoliCristalino	1482	\dashv	1,00 12,5	21,68	8,67	17,20	8,15	140,00	45,00	17,52	14,0	A
BLUE SOL COMERCIAL IMPORTADORA EXPORTADORA L'IDA	BYD	BYD240P6-30	Silício PoliCristalino		992 1	,63 19,6	4	8,90	29,55	8,12	240,00	45,00	29,99	14,7	¥
BLUE SOL COMERCIAL IMPORTADORA EXPORTADORA L'IDA	RENESOLA	JC200S-24-Db	Silicio MonoCristalino		+	+	1	5,70	37,10	5,41	201,00	45,00	25,09	15,7	¥.
DEUE SOE COMERCIAL IMPORTADORA EAPONTADORA LIDA DITTE SOE COMERCIAL TAMORTANDEA EXPONENTADORA LIDA	DENESOLA DENESOLA	1C.2003-24-D0	Citcie Delicatellar		+	00'51 50'1	1	01,6	30,40	6	00,002	45,00	32,49	0,01	4
BEUE SOE COMENCIAL INFORTANDORA EAFONTADORA LIDA RITHS OF COMENCIAL INFORTANDORA RYDORANDORA LIDA	PENESOLA PENESOLA	1C140M 12 Gs	Silicio Poli Cuistalino	1497	676	00,01	4	0,71	17.60	7.00	140,00	00'64	17.66	0,41	4
BEUE SOL COMENCIAL INFORTANDORA EXPONTADORA LIDA RITE SOL COMENCIAL INFORTANDORA EXPONENTADORA LIDA	REVISOLA REVISOLA	1C145M:12-G0	Silicio Poli Cuistalino	1497	+	+	4	0,00	17.00	04.7	146,00	00'64	10,30	14.0	4
BILIE SOL COMERCIAL IMPORTADORA EXPORTADORA LIDA	RFNFSOLA	IC1458-12-Gh	Silicio MonoCristalino		+	1 00 15 00	22,20	8.74	17.80	8 15	145,00	45,00	18 13	14.5	4
BLUE SOL COMERCIAL IMPORTADORA EXPORTADORA LTDA	RENESOLA	JC150M-12-Gbv	Silício PoliCristalino		+	+	╀	8.84	18.10	8 28	150.00	45.00	18.73	15.0	
BLUE SOL COMERCIAL IMPORTADORA EXPORTADORA LTDA	RENESOLA	JC1508-12-Gb	Silicio MonoCristalino		+	+	╀	8.87	18.10	8.29	150,00	45.00	18.76	15.0	¥
BLUE SOL COMERCIAL IMPORTADORA EXPORTADORA LTDA	RENESOLA	JC1908-24-Db	Silicio MonoCristalino	L	+	╁	L	5.49	36.60	5.19	190.00	45.00	23.74	14.9	¥
BLUE SOL COMERCIAL IMPORTADORA EXPORTADORA LTDA	RENESOLA	JC1958-24-Db	Silício MonoCristalino		┢	-	L	5,61	36,70	5,32	195,00	45,00	24,41	15.3	A
BLUE SOL COMERCIAL IMPORTADORA EXPORTADORA LTDA	RENESOLA	JC230M-24-Bb	Silício PoliCristalino	1640	992 1	,63 19,00	0 35,70	8,42	29,20	7,88	230,00	45,00	28,76	14,1	A
BLUE SOL COMERCIAL IMPORTADORA EXPORTADORA LTDA	RENESOLA	JC235M-24-Bb	Silício PoliCristalino	1640	992 1	,63 19,00	_	8,58	29,30	8,03	235,00	45,00	29,41	14,5	A
BLUE SOL COMERCIAL IMPORTADORA EXPORTADORA LTDA	RENESOLA	JC240M-24-Bb	Silício PoliCristalino	1640	7	1,63 19,00	37,20	8,64	29,70	80'8	240,00	45,00	30,00	14,8	A
BLUE SOL COMERCIAL IMPORTADORA EXPORTADORA LTDA	RENESOLA	JC245M-24-Bb	Silicio PoliCristalino	1640	992	\neg	4	8,73	29,90	8,19	245,00	45,00	30,61	15,1	¥
BLUE SOL COMERCIAL IMPORTADORA EXPORTADORA LTDA	RENESOLA	JC245M-24-Bbv	Silicio PoliCristalino	1640	992	\dashv	4	8,74	29,90	8,19	245,00	45,00	30,61	15,1	¥
BLUE SOL COMERCIAL IMPORTADORA EXPORTADORA L'IDA	KENESOLA	JC2458-24-Bb	Silicio MonoCristalino	1640	992	1	4	8,79	30,00	8,19	246,00	45,00	30,71	15.1	A
BLUE SOL COMERCIAL IMPORTADORA EXPORTADORA L'IDA	KENESOLA	JC250M-24-Bb	Silicio PoliCristalino	1640	+	\neg	4	8,83	30,10	831	250,00	45,00	31,27	15,4	¥.
BLUE SOL COMERCIAL IMPORTADORA EXPORTADORA L'IDA	KENESOLA	JC220M-24-Bbv	Silicio PoliCristalino	1640	+	+	1	8,84	30,20	8,29	250,00	45,00	31,29	15,4	Ą
BLUE SOL COMERCIAL IMPORTADORA EXPORTADORA L'IDA	KENESOLA	JC2508-24-Bb	Silicio MonoCristalino	1640	992	$^{+}$	4	8,87	30,10	8,32	250,00	45,00	31,30	15,4	¥.
BLUE SOL COMERCIAL IMPORTADORA EAPORTADORA LIDA RITTE SOL COMERCIAL IMPORTADORA RYDORTADORA LIDA	REVESOLA REVESOLA	JC255M-24-BB	Silicio Poli Cuistalino	1640	766	00'61 59'1	37,50	8,83	30,40	6,59	355,00	45,00	21,55	15.7	
BLUE SOL COMERCIAL IMPORTADORA EXPORTADORA LIDA	RENESOLA	IC2558-24-Bb	Silício MonoCristalino	1640	+	+	_	8 99	30,20	8.44	255.00	45.00	31.86	15.7	4
BLUE SOL COMERCIAL IMPORTADORA EXPORTADORA LTDA	RENESOLA	JC260M-24-Bbv	Silicio PoliCristalino	1640	992	+	╙	60'6	30.40	8.56	260.00	45.00	32.53	16.0	¥
BLUE SOL COMERCIAL IMPORTADORA EXPORTADORA LTDA	RENESOLA	JC280M-24-Ab	Silício PoliCristalino	1956	992	1,94 29,00		8,46	35,50	7,94	282,00	45,00	35,23	14,5	A
BLUE SOL COMERCIAL IMPORTADORA EXPORTADORA LTDA	RENESOLA	JC285M-24-Ab	Silício PoliCristalino	1956	992 1	,94 29,00	0 44,50	8,48	35,70	8,00	286,00	45,00	35,70	14,7	A
BLUE SOL COMERCIAL IMPORTADORA EXPORTADORA L'IDA	RENESOLA	JC290M-24-Ab	Silício PoliCristalino	1956	\dashv	\rightarrow	4	8,56	35,90	80'8	290,00	45,00	36,26	14,9	¥
BLUE SOL CONERCIAL IMPORTADORA EXPORTADORA LTDA	RENESOLA	JC290M-24-Abv	Silicio PoliCristalino	1956	+	$\overline{}$	4	8,57	36,10	8,06	291,00	45,00	36,37	15,0	¥
BLUE SOL COMERCIAL IMPORTADORA EXPORTADORA L'IDA	RENESOLA DENESOLA	JC295M-24-Ab	Silicio PoliCristalino	1956	+	_	\perp	8,62	36,30	8,13	295,00	45,00	36,89	15,2	ų.
DEUE SOE CONFENCIAL IMPONIADORA EAPONIADORA LIDA	DENESOLA DENESOLA	1C293NI-24-A0V	Silicio PoliCristalino	1936	766	+	4	8,60	36,30	8,09	00,002	45,00	30,91	701	4
BLUE SOL COMENCIAL INFONTADORA EAFONTADORA LIDA BITTE SOL COMENCIAL INFONTADORA EVENDATADORA LIDA	DENESOLA DENESOLA	TOSONA 24 AM	Citcie DeliCuistallino	1930	$^{+}$	+	4	60'0	00,00	07.0	200,000	00'64	70,10	2,21	4
BEGE SOL COMERCIAL MECONIADORA EAFORTADORA LIDA RITH SOL COMERCIAL IMPORTADORA EXPORTADORA LIDA	RFNFSOLA	IC305M-24-Abv	Silicio PoliCristalino	1956	766	1 04 20,00	74.00	0,07	30,00	0,10	305,00	45,00	38 17	15.7	
RITE SOL COMPRCIAL IMPORTADORA EXPORTADORA LIDA	REVESOLA	ICGOS, 12, Hh	Silferio MonoCristalino		$^{+}$	_	1	5,38	18.00	5 01	00,000	45,00	11 77	13.6	4
BLUE SOL COMERCIAL IMPORTADORA EXPORTADORA LIDA	RENESOLA	JC958-12-Hb	Silício MonoCristalino		+	+	╀	5 49	18 30	5 19	95.00	45.00	11.87	143	. 4
BR SOLAR LTDA	0-CILLS	Q BASE G2 240	Silício PoliCristalino		+	+	╄	8.72	29.37	8.15	239.00		29.92	143	¥
BR SOLAR LTDA	6-CELLS	Q PRO G2 240	Silício PoliCristalino	1670	1000	1,67 20,00	72,72	8,72	29,49	8,14	240,00		30,01	14,4	A
BR SOLAR LTDA	6-CELLS	Q SMART UFL 110	Silicio PoliCristalino	1190		0,94 16,5	94,50	1,62	73,30	1,43	105,00		13,10	11,2	D
BRASIL SOLAIR ENERGIAS RENOVAVEIS COMERCIO E INDUSTRIA S/A	BRASIL SOLAR	BSL23093	Silicio PoliCristalino	1634	982 1	1,60 20,5	36,39	8,22	30,31	7,59	230,00	48,00	28,76	14,3	¥

Fonte: [INMETRO,2016]

Anexo 4.3: Placas fotovoltaicas 03

Emwees		Modeloloódiao	Z.	Caracterí	Características físicas	cas	Circuito Aberto	Curto Circuito Ponto Máx. Potência	Ponto M	áz. Potência	Potência	Temperatura (°C)	Produção média de	Eficiência	Classificação
aca dura				Comprimento Largura (mm) (mm)		Área Peso (m²) (Kg)	Tensão (V)	Corrente (A)	TENSÃO (Y)	CORRENTE (A)	€	normais de usol	energia (kVh/mês)	Z	energética
BRASIL SOLAIR ENERGIAS RENOVAVEIS COMERCIO E INDUSTRIA S/A	BRASIL SOLAR	BSL240P3	Silício PoliCristalino	1634		1.60 20.5	37.25	8.32	31.05	7.73	240,00	48.00	30.00	15.0	A
BRASIL SOLAIR ENERGIAS RENOVAVEIS COMERCIO E INDUSTRIA S/A	TINDO	LN240(30)P-3-230	Silício PoliCristalino	1650	Н	,63 20,5	Н	8,22	30,31	7,59	230,00	48,00	28,76	14,1	A
BRASIL SOLAIR ENERGIAS RENOVAVEIS COMERCIO E INDUSTRIA S/A	TINGO	LN240(30)P-3-240	Silício PoliCristalino	1650	\dashv	\dashv	4	8,32	31,05	7,73	240,00	48,00	30,00	14,7	¥
BRASIL SOLAIR ENERGIAS RENOVAVEIS COMERCIO E INDUSTRIA S/A	BRASIL SOLAR	BSL250P3	Silicio PoliCristalino	1634	+	+	1	8,39	31,77	7,87	250,00	48,00	31,25	15,6	Ą
BRASOLAK IECNOLOGIA DE FOIOVOLIAICO CO LIDA - EPP	BKASOLAK	IM-M6-60-2/0	Silicio MonoCristalino	1640	$^{+}$	+	4	9,17	30,97	8,72	270,00	48,00	33,76	16,6	Ą
BRANCLAK IECNOLOGIA DE FOLOVOLIAICO CO LIDA - EPP BBAROT AB TERMOTOCIA DE POTOVIOLITATOS COLUTAS - EPP	DEVEOUAL	07C-77-0M-MI	Silicio MonoCristalino		$^{+}$	+	1	66,8	3/30	8,43	320,00	48,00	40,00	201	¥ .
BRANCI AR TRONOLOGIA DE FOLOVOLIAICO CO LIDA - EFF	BRASOLAR	TM.P6.72.310	Silicio MonoCristalino	1056	265	2,61 50,1	45.45	0,20	30,50	20,8	310.00	45 ± 24 CL 2A	36.77	16,0	4
REASOLIS, FOUNDAMENTOS DARA FURGIA I TDA	TP SOLAR	TIP,M760P	Silfeio PoliCristalino	1640	$^{+}$	+	+	8 70	31.00	6 30	260.00	45.00	20.51	16.0	4
BRASOLIS - POLIDAMENTOS PARA ENRGIA L'IDA	UP SOLAR	17P-M265P	Silicio PoliCristalino	1640	+	+	+	8.78	31 20	8 40	265.00	45,00	33.11	163	4
BRASOLIS - POLIDAMENTOS PARA ENRGIA L'IDA	UP SOLAR	17D-M310P	Silicio PoliCristalino	1956	+	+	Į.	8 83	36.30	F 8	310.00	45,00	38.75	16.0	4
BRASOLIS - EQUIPAMENTOS PARA ENRGIA L'IDA	UP SOLAR	UP-M315P	Silicio PoliCristalino	1956	+	+	\perp	8 90	36.50	8 63	315.00	45.00	39.37	16.2	· A
BRASOLIS - EQUIPAMENTOS PARA ENRGIA LTDA	UP SOLAR	UP-M150P(9X4)	Silício PoliCristalino	1478	H	+-	╄	8.47	18.16	8.17	148.00	45.00	18.55	15.0	¥
BRASOLIS - EQUIPAMENTOS PARA ENRGIA LTDA	UP SOLAR	UP-M150P(6X6)	Silício PoliCristalino	1000	\vdash	-	ļ.,	8,39	18,06	8,32	150,00	45,00	18,78	15.2	A
BYD DO BRASIL LTDA	BYD	BYD250P6C-30	Silicio PoliCristalino	1640	\vdash	1,63 18,9		8,81	30,13	8,30	250,00	45,00	31,26	15,4	¥
BYD DO BRASIL LTDA	BYD	BYD255P6C-30	Silicio PoliCristalino	1640	\vdash	\vdash	38,07	8,89	30,40	8,39	255,00	45,00	31,88	15,7	Ą
BYD DO BRASIL LTDA	BYD	BYD260P6C-30	Silicio PoliCristalino	1640	-	Н	38,38	8,97	30,67	8,48	260,00	45,00	32,51	16,0	A
BYD DO BRASIL LTDA	BYD	BYD315P6C-36	Silicio PoliCristalino	1956	992 1,	,94 22,4	46,09	9,07	8,61	36,59	315,00	45,00	39,38	16,2	A
BYD DO BRASIL LTDA		BYD 130P6C-18	Silicio PoliCristalino	1482	676 1,	1,00 8,00	20,99	8,56	16,30	7,98	130,00	45,00	16,26	13,0	C
CANADIAN SOLAR BRASIL SERVICOS DE CONSULTORIA EM ENERGIA SOLAR		CS6P 235P	Silício PoliCristalino	1638	982 1,	1,61 19,00	36,90	8,46	29,80	7,90	235,00	45,00	29,43	14,6	A
CANADIAN SOLAR BRASIL SERVICOS DE CONSULTORIA EM ENERGIA SOLAR		CS6P 240P	Silício PoliCristalino	1638	982 1,	00'61 19'00	37,00	8,59	29,90	8,03	240,00	45,00	30,01	14,9	A
CANADIAN SOLAR BRASIL SERVICOS DE CONSULTORIA EM ENERGIA SOLAR		CS6P 245P	Silício PoliCristalino	1638	982 1,	1,61 19,00	37,10	8,74	30,00	8,17	245,00	45,00	30,64	15,2	A
CANADIAN SOLAR BRASIL SERVICOS DE CONSULTORIA EM ENERGIA SOLAR		CS6P 250P	Silício PoliCristalino	1638	982 1,	,61 19,00	37,20	8,87	30,10	8,30	250,00	45,00	31,23	15,5	A
CANADIAN SOLAR BRASIL SERVICOS DE CONSULTORIA EM ENERGIA SOLAR		CS6P-240M	Silício MonoCristalino	1638	_	.,61 19,00		8,46	30,20	7,95	240,00	45,00	30,01	14,9	A
CANADIAN SOLAR BRASIL SERVICOS DE CONSULTORIA EM ENERGIA SOLAR		CS6P-245M	Silicio MonoCristalino	1638	\dashv	1,61 19,00	_	8,61	30,30	8,09	245,00	45,00	30,64	15,2	A
CANADIAN SOLAR BRASIL SERVICOS DE CONSULTORIA EM ENERGIA SOLAR		CS6P-250M	Silicio MonoCristalino	1638	7	\rightarrow	_	8,74	30,40	8,22	250,00	45,00	31,24	15,5	Ą
CANADIAN SOLAR BRASIL SERVICOS DE CONSULTORIA EM ENERGIA SOLAR		CS6K-270M	Silicio MonoCristalino		+	\rightarrow	4	9,19	31,10	8,67	270,00	45,00	33,70	16,5	¥
CANADIAN SOLAR BRASIL SERVICOS DE CONSULTORIA EM ENERGIA SOLAR		CS6K-275M	Silicio MonoCristalino		+	\neg	4	9,30	31,30	8,80	275,00	45,00	34,43	16,8	¥
CANADIAN SOLAR BRASIL SERVICOS DE CONSULTORIA EM ENERGIA SOLAR		CS6K-260P-FG	Silicio PoliCristalino	1650	\dashv	\neg	4	9,12	30,40	8,56	260,00	45,00	32,53	15,9	A
CANADIAN SOLAR BRASIL SERVICOS DE CONSULTORIA EM ENERGIA SOLAR		C%6P-265P	Silicio PoliCristalino	1638	+	\rightarrow	4	9,23	30,60	8,66	265,00	45,00	33,12	16,5	¥
CANADIAN SOLAR BRASIL SERVICOS DE CONSULTORIA EM ENERGIA SOLAR		C%6X-315P-FG	Silicio PoliCristalino	1972	+	\neg	4	9,18	36,60	8,61	315,00	45,00	39,39	16,0	¥
CANADIAN SOLAR BRASIL SERVICOS DE CONSULTORIA EM ENERGIA SOLAR CANADIAN SOLAR DE ASET SERVICOS DE CONSULTADELA ENTRECIA SOLAR		CS6X-315P	Silicio PoliCristalino	1954	+	-	4	9,18	36,60	8,61	315,00	45,00	39,39	16,4	¥ .
CANADIAN SOLAN BRASIL SENVICOS DE CONSOLIONA EM ENENGIA SOLAN. CANADIAN SOLAN BRASIL COMBRETATIZAÇÃO INDORTACÃO B	Canadian Calan	C86V 310D	Cilcal PoliCuistalino	1054	797	00,77 26,1	05,50	07.6	26,80	60,0	220,000	45,00	77.00	16.7	
CEARA ENERGY GROUP INDIGETED DAINERS FOTOVOLTATORS I TDA	DAV 4	D4.MCK0.FCOPOWFR	Silfeio PoliCristalino	1646	+	+	1	2,00	30.30	8 30	251.00	47,00	31 33	15.4	4
CELTA INDÚSTRIA E COMPRCIO L'IDA	SUNLICHT-PV	CI156PC-255W	Silicio PoliCristalino	1650	t	+	╀	8 8	30.40	8.42	256.00	47.00	32.00	15.6	4
CHINT ENERGY BRASIL SOCIEDADE LIDA	ASTRONERGY	CHSM6610M-270	Silicio MonoCristalino	1652	t	-	╀	8.77	31.82	8.50	270.00	46±2	33.81	16.5	¥
CHINT ENERGY BRASIL SOCIEDADE L'IDA	ASTRONERGY	CHSM6610M-275	Silício MonoCristalino	1652	\vdash	\vdash	_	8,79	32,09	8.57	275,00	46±2	34,38	16.7	¥
CHINT ENERGY BRASIL SOCIEDADE LTDA	ASTRONERGY	CHSM6610P-255	Silicio PoliCristalino	1652	994 1,	6,61 19,5	38,40	8,69	30,65	8,33	255,00	46±2	31,91	15,5	A
CHINT ENERGY BRASIL SOCIEDADE L'IDA	ASTRONERGY	CHSM6610P-260	Silicio PoliCristalino	1652	994 1,	64 19,5	38,43	8,72	31,05	8,37	260,00	46±2	32,49	15,8	A
CHINT ENERGY BRASIL SOCIEDADE L'IDA	ASTRONERGY	CHSM6610P-265	Silício PoliCristalino	1652	\dashv	1,64 19,5	38,72	8,75	31,43	8,46	266,00	46±2	33,24	16,2	A
CHINT ENERGY BRASIL SOCIEDADE L'IDA	ASTRONERGY	CHSM6612P-305	Silício PoliCristalino	1956	_	,94 23,5	45,29	8,95	35,77	8,53	305,00	46±2	38,14	15,7	A
CHINT ENERGY BRASIL SOCIEDADE LTDA	ASTRONERGY	CHSM6612P-310	Silício PoliCristalino	1956	994 1,	1,94 23,5	45,42	8,99	35,75	8,68	310,00	46±2	38,79	16,0	A
CHINT ENERGY BRASIL SOCIEDADE LTDA	ASTRONERGY	CHSM6612P-315	Silício PoliCristalino	1956	Н	1,94 23,5	45,55	9,02	35,83	8,80	315,00	46±2	39,41	16,2	A
CTC COMERCIO, IMPORTAÇÃO E EXPORTAÇÃO LIDA	TNS SOLAR	TN-36-5M45	Silicio MonoCristalino	636	542 0,	34 3,9	22,60	2,59	18,90	2,39	45,00	45,00	5,65	13,1	В
CTC COMERCIO, IMPORTAÇÃO E EXPORTAÇÃO LTDA	TNS SOLAR	TN-36-5M90	Silício MonoCristalino	1196	\forall	\dashv	4	5,26	18,10	4.97	90,00	45,00	11,24	13,9	Ą
CTC COMERCIO, IMPORTAÇÃO E EXPORTAÇÃO LTDA	TNS SOLAR	TN60-6M240	Silicio MonoCristalino	1640		1,63 23,5	37,10	8,52	30,30	7,92	240,00	45,00	30,00	14,8	A
CTC COMERCIO, IMPORTAÇÃO L'EXPORTAÇÃO L'IDA	TNS SOLAR	TN-60-6P230	Silicio PoliCristalino	1640	\dashv	\rightarrow	4	8,34	29,40	7,84	230,00	45,00	28,81	14,2	A
CTC COMERCIO, IMPORTAÇÃO E EXPORTAÇÃO LTDA	TNS SOLAR	TN-72-5M190	Silicio MonoCristalino	1580	+	\rightarrow	4	5,36	37,10	5,11	190,00	45,00	23,70	14,8	¥.
DASGARY COMERCIO, IMPORTAÇÃO E EXPORTAÇÃO LIDA	SENSOTEC	ST070P(36)	Silicio PoliCristalino	774	$^{+}$	-	4	4,32	17,60	3,98	70,00	47,00	8,76	13,7	¥.
DANGARI COMERCIO, IMPORTAÇÃO E EXPORTAÇÃO LIDA	SENSOIEC	\$1.110P(36)	Silicio PoliCristalino	1220	099	0,81 12,00	22,30	85,9	17,80	6,18	110,00	47,00	13,75	13,7	A

Fonte: [INMETRO,2016]

Anexo 4.4: Placas fotovoltaicas 04

							Circuito			1		Temperatura	Producão		
Fmnress	Marca	Modelołcódino	Material	Caraete	risticas His	leas	Aberto		Louico E	CUITO CIICUITO PONTO MAE. POTENCIA	Potência	(Condições		Eficiencia Fuernética	Classificação
		1		Comprimento (mm)	Largura A (mm)	Årea Peso (m²) (Kg)	Peso Tensão (Y)	Y) Corrente (A)		TENSÃO CORRENTE (V) (A)	Σ	normais de	energia (kVh/mês)	E	energetica
DASGARY COMERCIO, IMPORTAÇÃO E EXPORTAÇÃO LTDA	SENSOTEC	ST140P(36)	Silicio PoliCristalino	1482	676	1.00	12.00 22.30	8.29	17.60	7.96	140.00	47.00	17.51	14.0	A
DASGARY COMERCIO, IMPORTAÇÃO E EXPORTAÇÃO LTDA	SENSOTEC	ST190P(72)	Silício MonoCristalino	1580	808 1	,28 14		5,85	36,30	5,24	190,00	47,00	23,78	14,9	A
DASGARY COMERCIO, INPORTAÇÃO E EXPORTAÇÃO LTDA	SENSOTEC	ST195P(72)	Silício MonoCristalino	1580	808	1,28 14,	14,00 43,60	5,96	36,40	5,36	195,00	47,00	24,39	15,3	A
DASGARY COMERCIO, IMPORTAÇÃO E EXPORTAÇÃO LTDA	SENSOTEC	ST230P(60)	Silício PoliCristalino	1650	$\overline{}$			8,26	29,80	7,72	230,00	47,00	28,76	14,1	Ą
DASGARY COMERCIO, IMPORTAÇÃO E EXPORTAÇÃO LTDA	SENSOTEC	\$T235P(60)	Silicio PoliCristalino	1650	7	-		8,31	30,00	7,83	235,00	47,00	29,36	14,4	Ą
DASGARY COMERCIO, IMPORTAÇÃO E EXPORTAÇÃO LTDA	SENSOTEC	\$T240P(60)	Silicio PoliCristalino	1650	7	_	4	8,37	30,40	7,89	240,00	47,00	29,98	14,7	A
DASGARY COMERCIO, IMPORTAÇÃO E EXPORTAÇÃO LTDA	SENSOTEC	ST250P(60)	Silicio MonoCristalino	1650	992	94	19,00 37,20	8,14	30,70	8,86	272,00	47,00	34,00	16,6	Ą
DASGARY COMERCIO, IMPORTAÇÃO E EXPORTAÇÃO LTDA	SENSOTEC	\$T290P(72)	Silicio PoliCristalino	1956	\dashv	-	4	8,75	36,30	7,99	290,00	47,00	36,25	14,9	Ą
DEM ENERGY SOLUTION COMERCIO ATACADISTA DE PLACAS DE ENERGIA	ULICA	UL-320P-72	Silicio PoliCristalino	1953	+	-	4	20,6	36,90	8,68	320,00	45,00	40,04	16,5	¥
DEM ENERGY SOLUTION COMERCIO ATACADISTA DE PLACAS DE ENERGIA	KUNDA	KS255P-60	Silicio PoliCristalino	1640	+	_	4	1	30,43	8,38	255,00	45,00	31,88	15,7	A.
ECOVILA ENERGIA L'IDA	ECSOLAR	ECS-350M60	Silicio MonoCristalino	1640	+	\neg	4	+	30,30	8,25	250,00	45,00	31,25	15,4	A
ECOVILA ENERGIA L'IDA	ECSOLAR	ECS-250P60	Silicio PoliCristalino	1640	7	+	4	8,55	30,10	8,32	250,00	45,00	31,30	15,4	Ą
ELCO ENGENHARIA DE MONTAGENS L'IDA	Fleo	ELCO HR-250P-18/Bb	Silicio PoliCristalino	1636	7	+	4	8,79	29,98	8,34	250,00	45,00	31,25	15,4	A
ELCO ENGENHANIA DE MONIAGENS LIDA	rlco 21	ELCO-AZSOP	Silicio PoliCristalino	1652	7	64 19,5	1	8,65	30,30	8,24	250,00	43,00	31,21	15,2	Ą
ELCO ENGENHANIA DE MONTAGENS LIDA	Lico	ELCO-A300P	Silicio PoliCristalino	1956	+	+	4	9,27	35,74	8,40	300,00	43,00	37,53	15,4	Α.
DECO ENGENHANTA DE MONTAGENA LIDA	077	ELCU DIA-200P	Sincio PonCristanno	1636	$^{+}$	+	4	60,6	10,00	8,52	00,002	43,00	32,49	16,0	۷.
ELCO ENGENERIA DE MONTAGENS L'IDA	017	ELCU FIR-313P	Silicio PoliCristalino	7261	766	24, 21,8	+	11,6	36,98	20.8	315,00	43,00	39,38	16,3	¥ .
LLK BRANL ENERGIA LIDA	GermanPV	GPV260P-60	Silicio PoliCristalino	1640	+	+	1	8,70	30,60	8,49	260,00	45,00	32,47	16,0	¥.
MEN I US E COMPONEIN	LMDNAN	EMD-200M	Silicio MonoCristalino	163/	$^{+}$	7,61 20,1	4	47,64	30,40	8,26	00,002	4 1	37,33	16,0	V.
ENERGETICA ALTERNATIVA DE EQUIPAMENTOS PARA ENERGIA SOLAR	ZHEJIANG	BWSM 140M 36	Silicio MonoCristalino	1480	+	+		8,55	18,40	7,78	143,00	48,00	17,89	14,4	¥.
ENERGETICA ALTERNATIVA DE EQUIPAMENTOS PARA ENERGIA SOLAR	ZHEJIANG	BWSMZ60M96	Silicio MonoCristalino	1580	+	+	1	9,53	30,00	8,66	260,00	48,00	32,48	2	¥.
ENERGETICA AL IERNATIVA DE EQUIPAMENTOS PARA ENERGIA SOLAR	AUTODIANG TOTAL	DWMINUMEN	Silicio MonoCristalino	0071	$^{+}$		+	11,0	0,81	cc'c	100,00	48,00	12,49	4,01	¥.
ENERGETICA AL TERNATIVA DE EQUIPAMENTOS PARA ENERGIA SOLAR	JUST SOLAK	JST 150P(36)	Silicio PoliCristalino	1480	$^{+}$	\rightarrow	4	8,69	8.	19,20	150,00	44,00	18,79	14,9	Ą
ENERGETICA ALTERNATIVA DE EQUIPAMENTOS PARA ENERGIA SOLAR	JUST SOLAR	JST250P(60)	Silicio PoliCristalino	1640	\forall	-	4	8,30	7.8	32,00	250,00	44,00	31,28	15,4	Ą
ENERGETICA ALTERNATIVA DE EQUIPAMENTOS PARA ENERGIA SOLAR	JUSI SOLAK	BWSM150P36	Silicio PoliCristalino	1480	+	+	+	9,16	18,0	833	150,00	44,00	18,74	151	¥.
ENERGIA PLENA SOLUÇÕES ENERGEIICAS LIDA	Luergia Flena	25.200-00C	Silicio PoliCristalino	1638	+	_	4	8,16	30,80	8,45	760,00	45,00	32,33	707	¥.
ENERGIA FLEINA SOLUÇÕES ENERGETICAS LIDA FNERGIA PIRA FNIPRENDIARITOS LIDA	Luergia Piena MITSURISHI	PV-M.11255HC	Silício MonoCristalino	1604	785	1,92 26,00	37.80	80,8	36,30	8,78	310,00	45,00	38,73	16,2	4 4
ENERGIA PURA EMPREENDIMENTOS L'IDA	W SOLAR	YZM130P-36	Silicio PoliCristalino	1480	0.00	0.99	12.00 22.00	8.10	17.50	7.42	130.00	45.00	16.23	13.1	
ENERGIA PURA EMPREENDIMENTOS L'TDA	W SOLAR	YZM230M-60	Silício MonoCristalino	1650	992	1.64 19.5	L	8.20	29.90	7.69	230.00	45.00	28.74	14.0	Ą
ENERGIA PURA EMPREENDIMENTOS L'IDA	W SOLAR	YZM50P-36	Silicio PoliCristalino	1650	-	-	_	3,72	17,00	2,94	50,00	45,00	6.25	45	I
ENERGIA PURA EMPREENDIMENTOS L'IDA	W SOLAR	YZMSP-20	Silício PoliCristalino	1650	Н	0,74 19,5		0,56	09'6	1,52	15,00	45,00	1,82	2,0	E
ENERGIA PURA EMPREENDIMENTOS LTDA	W SOLAR	WS-P240	Silício Poli cristalino	1650	992 1	,64 19,5	\dashv	8,14	30,00	8,00	240,00	47,00	30,00	14,7	A
ENERGYBRAS ENERGIAS RENOVAVEIS LTDA	HIMIN	HG-150P	Silicio PoliCristalino	1482	+	\rightarrow	4	8,47	18,90	7,94	150,00	46,00	18,76	15,0	A
ENERGYBRAS ENERGIAS RENOVAVEIS LTDA	HIMIN	HG-245P/FA	Silício PoliCristalino	1640	+	\rightarrow	4	8,24	31,70	7,73	245,00	46,00	30,63	15,1	A
ENERGYBRAS ENERGIAS RENOVAVEIS LTDA	HIMIN	HG-300P/GA	Silicio PoliCristalino	1956	\forall	\rightarrow	4	8,25	38,00	7,89	300,00	46,00	37,48	15,5	A
ENERPRO SOLUÇÕES EM ENERGIA L'IDA	HAKEON SOLAK	HK-260P-18/Bb	Silicio Poli cristalino	1636	$^{+}$	-		60'6	30,51	8,52	260,00	45,00	32,49	16,0	A.
ENGELUZ ILUMINAÇÃO E ELEINICIDADE LIDA	VICTOR SOLVE	UC D160W	Cittie Dell'enterline	1483	+	+	4	8,70	0,71	8,17	145,00	45,00	18,13	14,7	V ·
ENERGY TEAM BRASE LIDA	VICTOR SOLAR	VC D250W	Silkajo Doli anistalino	+/0	1640	1 69 10 00	00,21	000	20,00	0000	350,00	47.00	21,01	16.4	4
ENERGY TEAM BRASIL LTDA	VICEST SOLAR	VG-P300W	Silicio Poli cristalino	265	+	+	_	88.5	36.20	8.78	300,00	47.00	37.47	15.4	V
ENERGY TEAM BRASIL LTDA	Tenka Solar	TKA-P250W	Silício Poli cristalino	1640	۳	+	L	8.82	30.40	8.22	250.00	47.00	31.24	15.4	¥
ENERGY TEAM BRASIL LTDA	Tenka Solar	TKA-P280W	Silício Poli cristalino	1956	F	1,94 27,00		8,34	36,20	7,73	280,00	47,00	34,98	14,4	A
ENERGY TEAM BRASIL LTDA	Tenka Solar	TKA-P300W	Silício Poli cristalino	1956	992	94 27	27,00 43,80	9,04	36,50	8,22	300,00	47,00	37,50	15,5	Ą
ENGENIETAL COMERCIO E MANUTENCAO L'IDA - EPP	BLUESUN	BSM250P-60	Silício Poli cristalino	1640	Н	1,62 19,00		8,81	30,40	8,23	250,00	45,00	31,27	15,4	A
ENTEUXES ENGENHARIA COMERCIO REPRESENTAÇÕES LTDA	POWEWELL	BW-SM300P72	Silício Poli cristalino	1960	992	1,94 23,2	,2 43,20	9,47	35,00	8,58	300,00	50,00	37,54	15,4	A
ENTEUXES ENGENHARIA COMERCIO REPRESENTAÇÕES LTDA	POWEWELL	BW-8M250P260	Silício Poli cristalino	1650	Н	1,64 19,2	,2 37,00	8,92	30,20	8,35	252,00	50,00	31,52	15,4	A
ENTEUXES ENGENHARIA COMERCIO REPRESENTAÇÕES LTDA	POWEWELL	BW-\$M200M72	Silício MonoCristalino	1580	+	\rightarrow	4	6,11	36,50	5,50	201,00	50,00	25,09	15,7	A
ENTEUXES ENGENHARIA COMERCIO REPRESENTAÇOES LTDA	POWEWELL	BW-SM260M60	Silicio MonoCristalino	1650	\dashv	\rightarrow	4	9,53	30,00	8,66	260,00	50,00	32,48	15,9	A
ENTEUXES ENGENHARIA COMERCIO REPRESENTAÇOES LIDA	POWEWELL	BW-\$M310M72	Silicio MonoCristalino	1960	992		_	9,47	36,00	8,60	310,00	20,00	38,70	15,9	¥
EVOLUZ ENGENHAKIA L'IDA	SOLUXIEC	FR60 260 Wp	Silicio Poli cristalino	1645	+	1,62 19,00	37,95	8,91	30,80	8,45	260,00	45,00	32,53	16,1	¥

Fonte: [INMETRO,2016]

Anexo 4.5: Placas fotovoltaicas 05

													9		200	
Empresa	Marca	Modelołcódigo	Material	Comprimento Largura			1 -	Tenesão (V)	Corrente (A)	TENSÃO	TENSÃO CORRENTE	- Corencia	(Condições normais de	energia	Energética (%)	Classificação energética
				(mm)	(mm)	\rightarrow	(Kg)	-	Jonesine (n)	Ξ	€		[osn	(kWh/mes)		
FC SOLAR ENERGIAS ALTERNATIVAS LTDA ME	FC SOLAR	MDP-10	Silicio PoliCristalino	370	250	\dashv	1,1	22,30	0,61	18,00	0,56	10,00	46,00	1,26	10,9	E
FME - IMP. EXP. E COMERCIO DE EQUIPAMENTOS DE ENERGIA L'TDA	TIANWEI	TW230P60-FA2	Silicio PoliCristalino	1640	992	1,63	19,5	37,3	8,22	29,40	7,82	230,00	47,00	28,74	14,1	¥
GENYA SOLAK COMEKCIO LIDA	YINXING	YACE-200P/2	Silicio MonoCristalino	1580	808	1,28	8,5	44,6	5,64	37,10	5,26	195,00	45,00	24,39	15,3	Ą
GENYX SOLAR COMERCIO LIDA	YINXING	YXGF-240P60	Silicio PoliCristalino	1650	990	1,63	20,00	36,6	8,48	30,00	8,03	241,00	45,00	30,11	14,7	A
GENYX SOLAR COMERCIO LIDA	CHINALAND	CHN250-60P	Silicio MonoCristalino	1640	066	1,62	00,61	36,3	8,71	30,60	8,17	250,00	45,00	31,25	15,4	¥
GENYX SOLAR COMERCIO LIDA	CHINALAND	CHN260-60M	Silicio MonoCristalino	1640	990	1,62	9,00	38,00	8,89	31,10	8,35	260,00	45,00	32,46	16,0	A
JENIAN SOLAR ENERGY BRASIL FABRICAÇÃO E COMERCIO DE	ALEO	S 19-290W	Silício MonoCristalino	1660	990	1,64	1,00	39,30	9,80	30,30	9,40	285,00	45,00	35,60	17,3	A
GERMAN SOLAR ENERGY BRASIL FABRICAÇÃO E COMERCIO DE	ALEO	S 19-290W	Silício MonoCristalino	1660	990	1,64	1,00	39,30	08'6	30,30	9,40	285,00	45,00	35,60	17,3	¥
GEOKLOCK CONSULTORIA E ENGENHARIA AMBIENTAL LTDA.	REC	REC240PE	Silicio PoliCristalino	1665	166	1,65	18,00	36,80	8,75	29,70	8,17	243,00	20,00	30,33	14.7	A
GEOKLOCK CONSULTORIA E ENGENHARIA AMBIENTAL LTDA.	REC	REC245PE	Silício PoliCristalino	1665	166	1.65	18.00	37.10	8.80	30.10	8.23	248.00	20,00	30.97	15.0	A
GEOKLOCK CONSULTORIA E ENGENHARIA AMBIENTAL LTDA.	REC	REC250PE	Silício PoliCristalino	1665	166	⊢	18.00	37.40	8.86	30.20	8.30	251.00	20.00	31.33	15.2	Ą
GEOKLOCK CONSULTORIA E ENGENHARIA AMBIENTAL LTDA.	REC	REC255PE	Silicio PoliCristalino	1665	166	+	18.00	37.60	8 95	30.50	8 42	257.00	20.00	32.10	15.6	Y
GEOKLOCK CONSULTORIA E ENGENHARIA AMBIENTAL LIDA.	REC	REC260PE	Silicio PoliCristalino	1665	166	1	18.00	37.80	9.01	30.70	8.50	261.00	20.00	32.62	15.8	¥
GFS INDÚSTRIA ELETROELETRONICA L'IDA	DA00	DQ250P8Ca	Silicio PoliCristalino	1640	992	1	18.00	37.20	8.72	30.50	8.20	250.00	20.00	31.26	15.4	¥
GFS INDÚSTRIA ELETROELETRONICA L'IDA	DAQO	DQ260MSCa	Silicio PoliCristalino	1640	992	⊢	18.00	37.40	8.89	30.70	8.47	260.00	20.00	32.50	16.0	¥
GLOBO BRASIL INDUSTRIA DE PAINEIS SOLARES E ACMLTDA	CLOBO BRASIL	GBR250P	Silicio PoliCristalino	1640	066	-	19,00	37,70	8,65	30,50	8,20	250,00	20,00	31,26	15,4	¥
GLOBO BRASIL INDÚSTRIA DE PAINÈIS SOLARES E ACMLIDA	CLOBO BRASIL	GBR255P	Silício PoliCristalino	1640	066	1.62	19.00	38.00	8.92	30.80	8.28	255.00	20.00	31.88	15.7	¥
GLOBO BRASIL INDUSTRIA DE PAINEIS SOLARES E ACMLTDA	CLOBO BRASIL	GBR260P	Silicio PoliCristalino	1640	066	_	19.00	37.65	9,11	30.24	8.60	260.00	20,00	32.51	16.0	A
GLOBO BRASIL INDÚSTRIA DE PAINÈIS SOLARES E ACMLTDA	CLOBO BRASIL	GBR265P	Silicio PoliCristalino	1640	066	-	19.00	37.90	9,15	30.65	8.65	265.00	20,00	33,14	16.3	A
GLOBO BRASIL INDÚSTRIA DE PAINÈIS SOLARES E ACMLTDA	CLOBO BRASIL	GBR300P	Silicio PoliCristalino	1956	365	1,94	27.00	45,21	8,91	35,22	8.52	300,00		37,51	15,5	A
GLOBO BRASIL INDÚSTRIA DE PAINÈIS SOLARES E ACMLTDA	CLOBO BRASIL	GBR305P	Silicio PoliCristalino	1956	365	1,94	27,00	45,36	9,73	35,76	8,53	305,00		38,13	15,7	¥
GLOBO BRASIL INDÚSTRIA DE PAINÈIS SOLARES E ACMLTDA	CLOBO BRASIL	GBR310P	Silicio PoliCristalino	1956	365	1,94	27,00	45,44	6,79	36,26	8,55	310,00		38,75	16,0	A
GLOBO BRASIL INDÚSTRIA DE PAINEIS SOLARES E ACMLTDA	CLOBO BRASIL	GBR315P	Silicio PoliCristalino	1956	365	1,94	27,00	45,61	9,85	36,76	8,57	315,00		39,38	16,2	A
GLOBO BRASIL INDÚSTRIA DE PAINÈIS SOLARES E ACMLTDA	CLOBO BRASIL	GBR320P	Silicio PoliCristalino	1956	365			45,79	9,93	37,30	8,57	320,00		39,96	16,5	A
HAUSSMART LTDA EPP	CCI	GCL-P6/72310	Silicio PoliCristalino	1956	992	1,94	26,00	45,44	9,00	36,80	8,43	310,00	45±2	38,78	16,0	¥
HAUSSMART LTDA EPP	CCI	GCL-C6/72310	Silício MonoCristalino		992	\neg	26,00	45,45	8,99	37,00	8,41	311,00	45±2	38,89	16,0	¥
HAUSSMART LTDA EPP	Too	GCL-C6/72315	Silício MonoCristalino		365	\neg	4	45,62	9,10	37,02	8,52	315,00	45±2	39,43	16,3	¥
HAUSSMART LTDA EPP	Top	GCL-C6/72320	Silicio MonoCristalino		992	_	4	45,67	9,10	37,28	8,56	319,00	45±2	39,89	16,4	¥
HAUSSMART LTDA EPP	CCL	GCL-M6/72320	Silicio MonoCristalino		992	\rightarrow	4	45,51	9,15	37,22	8,69	323,00	45±2	40,43	16,7	A
HAUSSMART LTDA EPP	Too	GCL-M6/72330	Silício MonoCristalino		365	\rightarrow	4	45,73	9,28	36,98	8,92	330,00	45±2	41,23	17,0	A
HAUSSMART LTDA EPP	TOO	GCL-M6/72335	Silicio MonoCristalino		365	\neg	_	45,75	9,11	37,10	8,90	330,00	45±2	41,27	17,0	¥
19 TREVISOL E CRUZ COMERCIAL IMPORTADORA E EXPORTADORA L'TDA	SUNRISE	SR-P660240	Silicio PoliCristalino		992	\rightarrow	4	37,05	8,63	29,89	8,03	240,00	45,00	30,00	14,8	¥
INDUSTRIA DE MOTORES ANAUGER SA	SUNOWE	SF 125X125 - 72 - M(L)	Silicio MonoCristalino		808	+	_	44,60	5,20	35,70	4,90	175,00	20,00	21,87	13,7	A
INTERNATIONAL COMMERCE RECIFE LIDA	ECOFORCE	ECO-30W	Silicio MonoCristalino	241	141	+	+	21,60	1,88	17,80	1,69	30,00	45,00	3,76	12,6	٥,
INTERNATIONAL COMMENCE ACCRE LIBA	FCOFORCE	ECO-100W30V	Citcaio MonoCristalino		600	0.00	0,0	00,44	6.10	00,00	6,70	100,001	00'/+	10,21	0,01	
INTEGRACIONE COMPLEMENTE LIDA IRRICARRACH, IND. F. COM. DF. MAOS. LIDA	SINCEO SOLAR	SFP.135.36.6	Silkrio PoliCristalino		100	+	3,1	00,22	0,10	17.50	10,01	135 00	48.00	16.80	13.6	4
TREIGABRASTI. IND. E. COM. DE MAOS. L'IDA	SINGFO SOLAR	SFM-10	Silicio MonoCristalino	350	200	010	=	21 60	141	18 00	0.58	10.00	48.00	1 31	103	
JOSE ANDRE HECK & CIA LTDA: ME	SR SOLAR	SR156P-250	Silicio PoliCristalino		665	+	20 00	37.26	8 64	30 54	8 20	250 00	45.00	31 30	15.4	P
JOSE ANDRE HECK & CIALTDA- ME	SR SOLAR	SR156P-300	Silicio PoliCristalino	1950	992	-	28.00	45.26	8.72	36.50	8.22	300.00	45.00	37.50	15.5	¥
KYOCERA SOLAR DO BRASIL LTDA	KYOCERA	KD1408X-UFBS	Silicio PoliCristalino	1500	899	1.00	12.9	22.1	8.68	17,70	7.91	140.00	45.00	17.50	14.0	¥
KYOCERA SOLAR DO BRASIL LTDA	KYOCERA	KD1408X-UPU	Silicio PoliCristalino	1500	899	1,00	12,5	22,1	89'8	17,70	16,7	140,00		17,50	14,0	¥
KYOCERA SOLAR DO BRASIL LTDA	KYOCERA	KD240GH-2PB	Silicio PoliCristalino	1662	365	1,65	21,00	6'98	8,59	29,80	8,06	240,00	45,00	30,02	14,6	A
KYOCERA SOLAR DO BRASIL LTDA	KYOCERA	KD240GX-LFB	Silicio PoliCristalino	1662	365	1,65	21,00	36,9	8,59	29,80	8,06	240,00	45,00	30,02	14,6	A
KYOCERA SOLAR DO BRASIL LTDA	KYOCERA	KD240GX-LPB	Silicio PoliCristalino	1662	365	1,65	21,00	36,9	8,59	29,80	8,06	240,00	45,00	30,02	14,6	¥
KYOCERA SOLAR DO BRASIL LTDA	KYOCERA	KD245GH-4FB	Silicio PoliCristalino	1662	990	\neg	21,00	36,90	8,91	29,80	8,23	245,00	45,00	30,66	14,9	¥
KYOCERA SOLAR DO BRASIL LTDA	KYOCERA	KD245GH-4FB2	Silicio PoliCristalino	1662	066	1,65	20,00	36,90	8,91	29,80	8,23	245,00	45,00	30,66	14,9	¥
KYOCERA SOLAR DO BRASIL LTDA	KYOCERA	KD245GX-LPB	Silicio PoliCristalino		990	_	21,00	36,90	8,91	29,80	8,23	245,00	45,00	30,66	14,9	¥
KYOCERA SOLAR DO BRASIL LTDA	KYOCERA	KD315GH-4FB	Silicio PoliCristalino		1320	\dashv	27,5	49,20	8,50	39,80	7,92	315,00	45,00	39,40	14,4	¥
KYOCERA SOLAR DO BRASIL L'TDA	KYOCERA	KS10T	Silicio PoliCristalino		352	\dashv	+	21,70		17,40	0,58	10,00		1,26	9,4	H
KYOCERA SOLAR DO BRASIL LTDA	KYOCERA	K\$20T	Silicio PoliCristalino	520	352	0,18	2,5	21,70	1,25	17,40	1,16	20,00		2,52	11,0	D

Fonte: [INMETRO,2016]

	3	and the state of t	1	Caracte	Características físicas	cas	Circuito Aberto	to Curto Circuito		Ponto Máx. Potência	ia Potência			Eficiência	Classificação
Empresa	Malca	Modelorcodigo	Material	Comprimento (mm)	Largura Å (mm) (r	Årea Peso (m²) (Kg)	so Tensão (Y)	(V) Corrente (A)	(A) TENSÃO	(O CORRENTE (A)	2	(Condiçoes normais de	energia (k¥hłmês)	Energetica (%)	energética
KYOCERA SOLAR DO BRASIL LTDA	KYOCERA	K845T	Silicio PoliCristalino	1028	+	-	Н			Н	45,00	45,00	5,64	12,8	ပ
KYOCERA SOLAR DO BRASIL LTDA	KYOCERA	KSST	Silício PoliCristalino	205	\dashv	0,07	+	1	+	+	2,00		0,63	2,0	H
KYOCERA SOLAR DO BRASIL LTDA	KYOCERA	K390T	Silício PoliCristalino	1028	999	\dashv	_	0 5,60		4	91,00	45,00	11,35	13,2	В
M VIEIRA DE FREITAS E CIA L'IDA	SUOYANG	SY-250M	Silício MonoCristalino	1580	7	1,68 20,00	00 58,60	4	48,60	5,15	250,00		31,29	14,9	¥
M VIEIRA DE FREITAS E CIA L'IDA	SUOYANG	SY-30M	Silício MonoCristalino	540	\dashv	0,24 3,00		0 1,92		4	30,00	45,00	3,76	12,4	ပ
M VIEIRA DE FREITAS E CIA L'IDA		NO9-X8	Silicio MonoCristalino	835	+	-	4			+	90,00		7,50	13,3	B
MES ENERGIA - SOLUÇOES EM ENERGIAS ALTERNATIVAS E RENOVAVEIS		TP660P-240	Silicio PoliCristalino	1640	+	\rightarrow	4	1	1	4	240,00		30,00	14,8	Y
MES ENERGIA - SOLUÇÕES EM ENERGIAS ALTERNATIVAS E RENOVAVEIS		TP660P-255	Silicio PoliCristalino	1640	+	\rightarrow	4	4	+	4	256,00		31,98	15,8	Y
NERGIA - SOLUÇOES EM ENERGIAS AL TERNATIVAS E RENOVAVEI		TP672P-305	Silício PoliCristalino	1960	\dashv	``	4	4	+	4	305,00	4	38,15	15,7	A
MINAS SOL LTDA	MINASOL	MS 150	Silicio MonoCristalino	1485	+	+	4	+	\dagger	+	150,00	4	18,75	14,7	¥.
NATIVA IMPORTAÇÃO E EXPORTAÇÃO LIDA	OVDV GOLAR	8L15010-18P	Silicio Poli Cristalino	1480	000	0,99 11,6	61,22 0,	+	18,61	+	250,00	1	21,75	16.4	e -
NATIVA IMPORTAÇÃO E EXPORTAÇÃO LIDA	OVEV SOLAR	8T 300TU-30E	Silicio PoliCristalino	1056	+	+	+	9,00	\dagger	+	00,002	1	27.61	#*CT	4
DANASONIC DO BRASIL 17DA	PANASONIC	VRHN2204401	Silicio MonoCristalino	1580	+	1 26 16,0	5,50	-	47.70	5 17	20,000	45.00	37.50	17.5	4
PANASONIC DO BRASIL. L'IDA	PANASONIC	VBM8255AE04	Silicio PoliCristalino	1665	+	+	+	+		+	255.00	1	31 92	15.5	4
PREMIER MONTAGENS DE PRODUTOS ELETRO ELETRÔNICOS LIDA	MULTISOLAR	MSE - 250P	Silício PoliCristalino	1640	$^{+}$	+	\perp	\perp	+	H	250.00	1	31.31	15.4	
PRODUTOS ELETRONICOS FRATA LTDA - EPP	HETECH ENERGY	30W-36P	Silício PoliCristalino	240	+	-	╀	L		┞	30.00		3.76	11.8	٩
PRODUTOS ELETRONICOS FRATA LIDA - EPP	HETECH ENERGY	45W-36P	Silício PoliCristalino	0.29	\vdash	0.32 3.9	L	0 2,60		2.50	45.00		5.63	14.0	Ą
PROJETO SOLAR SOLUCOES EM ENERGIA L'IDA - EPP	SolarNova	SOL 284 GT MONO	Silício MonoCristalino	1663	Н	1,66 22,00					284,00		35,50	17,1	Y
PZM TECNOLOGIA SOLAR LTDA	Heckert Solar CmbH	NeMo 60 P255 60	Silício PoliCristalino	1640	991 1	,63 17	,7 38,54	4 8,91	30,96		255,00	48,00	31,93	15,7	Y
PZM TECNOLOGIA SOLAR LTDA	Sunrise Solar Tec Co	SR-P660250	Silício PoliCristalino	1637	992 1	1,62 19,2	,2 37,33	3 8,96	30,11	8,30	250,00	45,00	31,24	15,4	A
QUASAT MANUTENÇAO E INSTALAÇOES LTDA	AMERISOLAR	AS-6P30-250W	Silício PoliCristalino	1640	992 1	63 18,	00 38,0				250,00		31,28	15,4	¥
QUALYCARE TECHNICAL SERVICE EIRELI - ME	H	HT HT72-125M-195	Silicio MonoCristalino	1580	+	\dashv	4	4	1	4	195,00	_	24,40	15,3	Y.
QUALICAKE IECHNICAL SERVICE EIRELI - ME	H	007-WC71-7/1H 1H	Silicio MonoCristalino	1580	+	+	4	+	\dagger	5,22	195,00	1	24,40	153	¥ .
QUALICARE IECENICAL SERVICE EIRELI - INE	i 5	007-M0CT-001U TU	Silicio MonoCristalino	1640	+	+	4	+	\dagger	+	260,00	1	32,49	16,0	₹.
QUALICARE IECENICAL SERVICE EINEL - INE	1 h	TI DI 00-130M-203	Silicio MonoCristalino	1066	+	-	4	+	+	27.00	205,00	1	33,13	16.7	e -
CONTINUE DECIMINATE SENTICE ENTER - INC.	# F	HT HT72 156M 310	Citieio MonoCuistalino	1930	+	00,72 +2,1	+	+	\dagger	+	00,000	1	20,00	15.0	٠,
OUALYCARE TECHNICAL SERVICE EIRELI - ME		HT HT60-156P-240	Silicio PoliCristalino	1640	1 766	-	00 46,10	8 49	30.50	787	240.00	45.00	30.00	14.8	4
	H	HT HT60-156P-245	Silício PoliCristalino	1640	+	+	╀	+	\dagger	\perp	245.00	1	30.65	151	
QUALYCARE TECHNICAL SERVICE EIRELI - ME	H	HT HT60-156P-250	Silício PoliCristalino	1640	+	+	┡	L		┞	250.00	L	31.24	15.4	V
QUALYCARE TECHNICAL SERVICE EIRELI - ME	H	HT HT60-156P-255	Silício PoliCristalino	1640	\vdash	\vdash	L				255,00		31,88	15,7	¥
QUALYCARE TECHNICAL SERVICE EIRELI - ME	H	HT HT60-156P-285	Silício PoliCristalino	1956	F	.94 27,00	00 45,00				285,00		35,63	14,7	¥
QUALYCARE TECHNICAL SERVICE EIRELI - ME	HT	HT HT72-156P-290	Silício PoliCristalino	1956		1,94 27,00	00 45,20		36,80	7,88	290,00		36,25	14,9	Y
	H	HT HT72-156P-295	Silício PoliCristalino	1956	992 1	1,94 27,00	00 45,40		37,20		295,00	45,00	36,87	15,2	¥
QUALYCARE TECHNICAL SERVICE EIRELI - ME	H	HT HT72-156P-300	Silício PoliCristalino	1956	-	\rightarrow	4	4		4	300,00		37,51	15,5	¥
QUALYCARE TECHNICAL SERVICE EIRELI - ME	田	HT HT72-156P-305	Silicio PoliCristalino	1956	7	+	4	+	+	8,07	305,00		38,13	15,7	Y
QUALYCAKE TECHNICAL SERVICE EIRELI - ME	H	HT HT60-156P-240	Silicio PoliCristalino	1640	+	\rightarrow	4	+	†	+	240,00	1	30,00	14.8	V.
QUALICAKE IECHNICAL SERVICE EIKELI - ME	14	TI TITO 1509-243	Silicio Poli Cristalino	1640	+	+	4	+	†	+	245,00	1	30,65	TO:	¥ .
QUAL YCAKE TECHNICAL SERVICE EIRELI - ME	H !	HI HI 60-136P-230	Silicio PoliCristalino	1640	-1	+	4	8,65	+	+	250,00	1	31,24	15,4	V
QUALYCARE TECHNICAL SERVICE EIRELI - ME	Ħ	HT HT60-156P-255	Silicio PoliCristalino	1640	7	\rightarrow	4	1		4	255,00		31,88	15,7	Y
QUALICAKE TECHNICAL SERVICE EIRELI - ME	H	HI HI 60-136P-283	Silicio PoliCristalino	1956	992	-	4	+	+	7,83	285,00	1	35,63	14,7	ν.
QUALICAME IECHNICAL SENVICE EINELI - ME	11 15	067-30C1-7/1U IU	Cifeie Dell'Cristalino	1930	+	+	+	+	1	+	00,062		20,00	14,7	
QUALICAKE I BURNICAL SERVICE EIRELI - ME	III	C67-49C1-7/ IH IH	Silicio Poli Cristalino	1926	+	7	4	+	+	2,93	295,00	1	36,8/	70	¥.
QUALICAKE IECHNICAL SERVICE EIRELI - ME	H	005-49C1-7/1H IH	Silicio PoliCristalino	1936	+	-	4	+	\dagger	-	300,00		37,51	S	Ψ.
QUALICARE IECENICAL SERVICE EINEL - INE	TEODAVOOT AP	TD6 D4174-130P-303	Silicio Poli Cristalino	1936	7 766	1,94 27,00	00 45,80	0.00	38,00	8,03	305,00	45,00	38,14	15.4	e -
OUALYCARE TECHNICAL SERVICE EIRELI - ME	TROPAYSOLAR	TPS-P6U(60)-255W	Silício PoliCristalino	1640	+	+	╀	\perp	\dagger	+	255.00	1	31.87	15.7	4
OUALYCARE TECHNICAL SERVICE EIRELI - ME	TROPAYSOLAR	TPS-P6U(60)-260W	Silício PoliCristalino	1640	+	+	╀	-		-	260.00	\perp	32.50	16.0	. P
QUALYCARE TECHNICAL SERVICE EIRELI - ME	TROPAYSOLAR	TPS-P611(72)-300W	Silfoio DoliCuietalino	2001	+	+	1	1	T	1			-	-	,
			STILL OF THE STATE	606	266	1.94 27.00	00 45.20	8.71	36.20	8 30	300.00		37.56	15.5	A

Fonte: [INMETRO,2016]

Anexo 4.7: Placas fotovoltaicas 07

				Caracterís	Características físicas	Circuito		Curto Circuito Ponto	Ponto Máz. Potência		Temperatura		ficiência	
Empresa	Marca	Modelołcódigo	Material	Commission	Aras Aras	Doco	_	+	TENESO COBBENIE	Z Genera	(Condições	energia	tica	Classificação energética
				(mm)		(Kg) Tensão (Y)		Corrente (A) Laus	(e)		normais de uso)	(kVh/mês)	<u> </u>	,
RENESOLA DO BRASIL COMERCIO E REPRESENTACAO LIDA	RENESOLA	JC255M-24/Bb	Silicio PoliCristalino	992	1640 1,63	19,00 37,50		8,86 30,40	8,39	255,00	45,00	31,88	15,7	¥
RENESOLA DO BRASIL COMERCIO E REPRESENTACAO LTDA	RENESOLA	JC260M-24/Bb	Silício PoliCristalino		7		_		\perp	260,00	45,00	32,52	16,0	Ą
RENESOLA DO BRASIL COMERCIO E REPRESENTACAO LTDA	KENESOLA	JC305M-24/Ab	Silicio PoliCristalino		+	4		1	+	305,00	45,00	38,11	15,7	Ą
RENESOLA DO BRASIL COMERCIO E REPRESENTACAO LIDA	RENESOLA	JC310M-24/Bb	Silicio PoliCristalino	992	1956 1,94	27,00 45,00		8,80 37,00	8,38	310,00	45,00	38,76	16,0	Ą
RENOVAR COMERCIO LTDA	BLD SOLAR	BLD020-36P	Silicio PoliCristalino	1	50 0,19	4		1	4	20,00	45,00	2,52	10,6	E
RENOVAR COMERCIO L'IDA	BLD SOLAR	BLD250-60M	Silício MonoCristalino		992 1,64	_			8,07	250,00	45,00	31,23	15,3	A
RENOVIGI COMERCIO DE EQUIPAMENTOS PARA GERAÇÃO DE ENERGIA	RISEN	SYP250P	Silicio PoliCristalino	1	7	4			4	250,00	45,00	31,26	15,4	Ą
RENOVIGI COMERCIO DE EQUIPAMENTOS PARA GERAÇÃO DE ENERGIA	RISEN	\$YP150\$	Silicio PoliCristalino		680 1,01	_		1	4	150,00	45+2	18,77	14,9	Ą
RENOVIGI COMERCIO DE EQUIPAMENTOS PARA GERAÇÃO DE ENERGIA	RISEN	SYP260P	Silicio PoliCristalino	1		_		+	\dashv	260,00	45+2	32,52	16,0	Ą
RS COMERCIO, IMPORTAÇÃO E EXPORTAÇÃO EIRELLI	QUALILED	QL-PASOLAR320W	Silício MonoCristalino	1956 9	992 1,94	22,00 45,90	_	9,15 38,60	8,29	320,00	43,00	40,00	16,5	A
RIOSOLAR LTDA	RIOSOLAR	156P-270		1956 9	942 1,84	28,00 43,80		8,22 35,20	7,67	270,00	43,00	33,75	14,7	A
ROBERT BOSH LTDA	BOSH	C-SI M 60 EU 42 117 250	Silício MonoCristalino	1660	990 1,64	21,00 37,90		8,82 30,31	8,25	250,00	48,4	31,26	15,2	A
ROBERT BOSH LTDA	BOSH	C-SI M 60 EU 42 117 255	Silício MonoCristalino	1660	990 1,64	21,00 38,00		8,92 30,51	8,36	255,00	48,4	31,88	15,5	A
ROBERT BOSH LTDA	BOSH	C-SI M 60 EU 42 117 60	Silício MonoCristalino	1660 9	990 1,64	21,00 37,70		8,70 30,10	8,20	247,00	48,4	30,85	15,0	A
ROGERIO CRESPO MARTINS IMPORTAÇÃO E EXPORTAÇÃO EIRELI	CSIIN	CSUN 265-60M	Silicio MonoCristalino	1640	990 1,62	18,3 38,20		8,98 31,00	8,55	265,00	45,00	33,13	16,3	· V
ROGÉRIO CRESPO MARTINS IMPORTAÇÃO E EXPORTAÇÃO EIRELI	CSUN	CSUN 270-60M	Silício MonoCristalino	1640	990 1,62	18,3 38,30		9,07 31,20	8,65	270,00	45,00	33,74	16,6	Ą
ROGÈRIO CRESPO MARTINS IMPORTAÇÃO E EXPORTAÇÃO EIRELI	CSUN	CSUN 320-72M	Silício MonoCristalino		-	22,3 45,60				320,00	45,00	40,02	16,5	A
ROGERIO CRESPO MARTINS IMPORTAÇÃO E EXPORTAÇÃO EIRELI	CSUN	CSUN 250-60P	Silicio PoliCristalino	1640	990 1,62	18,3 37,30		8,81 29,90	8,36	250,00	45,00	31,25	15,4	¥
ROGÉRIO CRESPO MARTINS IMPORTAÇÃO E EXPORTAÇÃO EIRELI	CSUN	CSUN 255-60P	Silicio PoliCristalino		_	2				255,00	45,00	31,88	15,7	Ą
ROGÉRIO CRESPO MARTINS INPORTAÇÃO E EXPORTAÇÃO EIRELI	CSUN	CSUN 260-60P	Silício PoliCristalino	1640	990 1,62	18,3 37,70		8,95 30,30	8,58	260,00	45,00	32,50	16,0	A
ROGÉRIO CRESPO MARTINS INPORTAÇÃO E EXPORTAÇÃO EIRELI	CSUN	CSUN 300-72P	Silicio PoliCristalino	1956	990 1,94	22,3 44,50		8,91 35,80	8,37	300,00	45,00	37,46	15,5	Ą
ROGÉRIO CRESPO MARTINS IMPORTAÇÃO E EXPORTAÇÃO EIRELI	CSUN	CSUN 305-72P	Silicio PoliCristalino	1956	990 1,94	22,3 44,70		8,97 35,90		305,00	45,00	38,14	15,8	¥
ROGERIO CRESPO MARTINS IMPORTAÇÃO E EXPORTAÇÃO EIRELI	CSUN	CSUN 310-72P	Silício PoliCristalino	1956	990 1,94	22,3 44,80		9,04 36,10	8,58	310,00	45,00	38,72	16,0	A
RUAH IND. E COM. DE MOVEIS L'IDA	CSUN	CSUN250-60P	Silicio PoliCristalino	1640	990 1,62	18,3 37,30	18'8 (81 29,90	8,36	250,00	45±2	31,25	15,4	A
RUAH IND. E COM. DE MOVEIS L'IDA	CSUN	CSUN255-60P	Silício PoliCristalino	1640	990 1,62	18,3 37,50		8,88 30,10		255,00	45±2	31,87	15,7	A
RUAH IND. E COM. DE MOVEIS L'IDA	CSUN	CSUN260-60P	Silício PoliCristalino	1640 9	990 1,62	18,3 37,70		8,95 30,30	8,58	260,00	45±2	32,50	16,0	A
RUAH IND. E COM. DE MOVEIS L'IDA	CSUN	CSUN265-60P	Silício PoliCristalino		_	_	_		-	265,00	45±2	33,13	16,3	A
RUAH IND. E COM. DE MOVEIS L'TDA	CSUN	CSUN305-72P	Silicio PoliCristalino	1956 9	990 1,94	22,3 44,70	-	8,87 35,90	\dashv	305,00	45±2	38,14	15,8	A
RUAH IND. E COM. DE MOVEIS L'TDA	CSUN	CSUN310-72P	Silício PoliCristalino	1956 9	990 1,94	22,3 44,80	\dashv	9,04 36,10	\dashv	310,00	45±2	38,72	16,0	A
RUAH IND. E COM. DE MOVEIS L'TDA	CSUN	CSUN315-72P	Silicio PoliCristalino	+	7	4	+	+	1	315,00	45±2	39,37	16,3	Ą
SETIN & STOYAN EQUIPAMENTOS DE ENERGIA SOLAR LTDA	KOMAES	KM245	Silicio MonoCristalino	1	7	4			+	245,00	47,00	30,63	15,0	¥
SETIN & STOYAN EQUIPAMENTOS DE ENERGIA SOLAR L'IDA	KOMAES	KM 140	Silicio PoliCristalino		\dashv	_		+	4	140,00	47,00	17,56	14,0	¥
SETIN & STOYAN EQUIPAMENTOS DE ENERGIA SOLAR L'IDA	KOMAES	KM 245	Silicio MonoCristalino	1	+	4	1	8,42 30,98	1	245,00	47,00	30,63	15,0	¥
SETIN & STOYAN EQUIPAMENTOS DE ENERGIA SOLAR L'IDA	KOMAES	KM 50	Silicio PoliCristalino	†	+	+	+	+	+	20,00	47,00	6,30	13,2	В
SETIN & STOYAN EQUIPAMENTOS DE ENERGIA SOLAR L'IDA	KOMAES	KM 85	Silicio PoliCristalino	+	+	+	+		+	82,00	47,00	10,63	13,3	В
SETIIN & STOYAN EQUIPAMENTOS DE ENERGIA SOLAR L'IDA	KOMAES	KMIO	Silicio PoliCristalino	+	+	+	7	1	0,57	10,00	47,00	1,26	9,2	H
SELIN & SIOIAN EQUIPAMENIOS DE ENERGIA SOLAK LIDA	KOMALS	KMZ0	Silicio PoliCristalino		$^{+}$	+	1	†		20,00	47,00	2,51	10,7	-1 r
SETTIN 68 STOTAIN EQUIPAMENTOS DE ENERGIA SOLIAN LIDA	NOMAES	OCIVIA	Sincio PonCristanno	070	/7'0 OTC	3,7 21,36	+	1,84	1,/1	30,00	45,00	2,73	21.	9
SETTING STOTIST EQUIPMENTOS DE ENERGIA SOLGINETOS SETTINGS SETTINGS OF SETTING	SOLAR WORLD	8W 130 DOI V RAA	Silkeio PoliCristalino	+	680 1.03	25,12 00,1	+	7.65	7.20	121 00	47,00	16 22	13.7	د د
STILL SECTIONAL POLITICAL PROPERTY OF THE PROP	COLAR WORLD	W 140 PA DOLV	Cilioio Doli Cuistolino	t	+	1	╀	10,00	+	141.00	46.00	17.66	12.0	-
SETTING STONAY EQUIL MANAGEMENT OF DESCRIPTION OF THE SET OF AN INTER-	SOLAR WORLD	SW 175 MONO	Silinio MonoCristalino		+	15.00 44.40	+	5 20 25 00	4 80	175.00	46,00	31 00	12,0	d D
SOI ARTERA INDORTAÇÃO F COMPRCIO DE POLIDAMENTOS FISTEMAS	SOLARTERA	HG90	Silicio MonoCristalino		10	+	1	+	+	00.00	20,00	11.75	12.4	9
SOLATERRA L'TDA	SOLARTERA	HG250	Silício MonoCristalino		$^{+}$	Ļ	_		+	250.00	45.00	81.24	15.4	. 4
SOLATERRALTDA	SOLARTERA	HG135	Silicio PoliCristalino	†	+	1	-	t	F	135.00	45.00	16.87	14.0	4
SOLEN COMERCIO E SERVIÇOS DE ENERGIA SOLAR LIDA	SOLAR LEADING	SL6P36-140W	Silicio PoliCristalino		+	╀	\perp		-	140.00	47.00	17.51	14.2	Ą
SOLGEN ENERGY COMERCIO. IMPORTAÇÃO E EXPORTAÇÃO DE PRODUTOS	TALESUN	TP672P-310	Silicio PoliCristalino		t	L	L	H		310.00	45.00	38.80	16.0	¥
STIZ IMPORTAÇÃO, EXPORTAÇÃO E COMERCIO LIDA	STIZ	RSM60-6-250P	Silicio PoliCristalino	t	Έ	-		t	-	250.00	45.00	31.28	15.4	¥
STIZ IMPORTAÇÃO, EXPORTAÇÃO E COMERCIO LIDA	STIZ	RSM60-6-255P	Silicio PoliCristalino	992 1	1-	\vdash		H		256.00	45.00	31.95	15.7	Ą
SUN HOME ENERGIA SOLAR, COMERCIO E IMPORTAÇÃO LTDA	SUN HOME	ST-M10	Silício MonoCristalino		H	Н				10,00	45,3	1,25	6'6	Ε
SUN HOME ENERGIA SOLAR, COMERCIO E IMPORTAÇÃO LTDA	SUN HOME	ST-M30	Silício MonoCristalino		450 0,24	2,9 22,10		1,79 18,50		30,00	45,3	3,75	12,3	ပ

Fonte: [INMETRO,2016]

Anexo 4.8: Placas fotovoltaicas 08

1
Marca Modelo/código
SUN HOME ST-M65 Silicio Mono Cristalino
EMC-SUNEDISON MEMC-P290BMC-24 Silicio PoliCristalin
ON MEMC-P290BMC-24
SE-P265NPB-A4
SE-P270NPB-A4
SUNEDISON SE-PSIONED-A4 SIRCIO POLICEISTALINO
SUNEDISON SE-55205AC-59
SUNEDISON SE-B320EXC-39
SUNEDISON SE-B340BXC-39
SUNEDISON SE-B330BXC-39
V
SOLVIS GPV260P-60 Silício Mono Cristalino
Techen Technologies TCN310P Silicio PoliCristalino
Techen Technologies TCN260P Silício PoliCristalino
Tecnometal Dyasolar SV145D12 Silkcio MonoCristalino
SV245D20
\$V250D20
HR-265P-18/Bb
HR-315W-24/Ba
HR-320W-24/Ba
ŀ
LAR
USE PS
USE
USE
UNI-X UNI-300-72P
YiSolar YI6A-250P
YiSolar YI6C-300P
S
TRINA SOLAR 305PC05
TRINA SOLAR 315PC05
SERAPHIM SOLAR SRP320-6MA
SERAPHIM SOLAR SRP310-6MA
SERAPHIM SOLAR SRP315-6MA
+
-
SUNTECH STP-260/20-Wem
SUNTECH STP-265/20-Wem
SUNTECH STP-270/20-Wem
SUNTECH STP-305-24/Vem
SUNTECH STP-315-24/Vem

Fonte: [INMETRO,2016]

Anexo 4.9: Placas fotovoltaicas 09

	1	Mark September 1		Caracl	Características físicas	físicas	5 ₹	Aberto Curto Circuito		Ponto Máx. Potência	Potência		Produção média de		Classificação
Empresa	Marca	Modelorcodigo	Material	Comprimento Largura (mm) (mm)	Largura (mm)	Årea (m²)	Peso Ten:	Tensão (Y) Corrente (A)	<u> </u>	TENSÃO CORRENTE (Y) (A)	∑	(Condições normais de uso)	energia (kVM/mês)	Energetica (%)	energética
W M LAUDISIO JUNIOR-ME	SUNTECH	STP-320-24/Vem	Silício PoliCristalino	1956	366	1,94	25,8 4	45,60 9,14	37,10	8,63	320,00		40,02	16,5	¥
W M LAUDISIO JUNIOR-ME	TRINA SOLAR	TSM 250PD05	Silício PoliCristalino	1650	992	-	_				250,00		31,22	15,3	¥
W M LAUDISIO JUNIOR-ME	TRINA SOLAR	TSM 250PEG05	Silício PoliCristalino	1658	365	1,64 2	23,00 3	37,50 8,97	30,00	8,34	250,00	40,00	31,28	15,2	¥
W M LAUDISIO JUNIOR-ME	TRINA SOLAR	TSM 255PD05	Silício PoliCristalino	1650	992	1,64	18,6	38,10 8,88	30,50		255,00	40,00	31,91	15,6	¥
W M LAUDISIO JUNIOR-ME	TRINA SOLAR	TSM 255PEG05	Silício PoliCristalino	1658	365	1,64	23,00 3	37,50 9,01		8,42	255,00	40,00	31,89	15,5	¥
W M LAUDISIO JUNIOR-ME	TRINA SOLAR	TSM 260PD05	Silício PoliCristalino	1650	366	1,64	18,6 3	38,20 9,00	30,60	8,50	260,00	40,00	32,51	15,9	¥
W M LAUDISIO JUNIOR-ME	TRINA SOLAR	TSM 260PEG05	Silício PoliCristalino	1658	992	1,64 2	23,00 3	37,60 9,10			260,00	40,00	32,48	15,8	¥
W M LAUDISIO JUNIOR-ME	TRINA SOLAR	TSM 265PD05	Silício PoliCristalino	1650	366	1,64	18,6 3				265,00	40,00	33,15	16,2	¥
W M LAUDISIO JUNIOR-ME	TRINA SOLAR	TSM 265PEG05	Silício PoliCristalino	1658	365	-	_				265.00		33,11	16.1	A
W M LAUDISIO JUNIOR-ME	TRINA SOLAR	TSM 270PD05	Silício PoliCristalino	1650	992	-	_				270,00		33,72	16,5	¥
W M LAUDISIO JUNIOR-ME	TRINA SOLAR	TSM 300PEG14	Silício PoliCristalino	1978	365	1,96 2	28,00 4	45,20 8,74	36,40	8,24	300,00	40,00	37,49	15,3	¥
W M LAUDISIO JUNIOR-ME	TRINA SOLAR	TSM 305PD14	Silício PoliCristalino	1956	365	1,94	22,5 4	45,50 8,81	36,60	8,33	305,00	40,00	38,11	15,7	Y
W M LAUDISIO JUNIOR-ME	TRINA SOLAR	TSM 305PEG14	Silício PoliCristalino	8/61	365	1,96 2	28,00 4	45,40 8,82	36,60	8,33	305,00	40,00	38,11	15,5	Y
W M LAUDISIO JUNIOR-ME	TRINA SOLAR	TSM 310PD14	Silicio PoliCristalino	1956	365	1,94		45,50 8,85	37,00	8,38	310,00	40,00	38,76	16,0	Y
W M LAUDISIO JUNIOR-ME	TRINA SOLAR	TSM 310PEG14	Silício PoliCristalino	8261	365		28,00 4	45,60 8,91	36,80	8,42	310,00	40,00	38,73	15,8	Y
W M LAUDISIO JUNIOR-ME	TRINA SOLAR	TSM 315PD14	Silício PoliCristalino	1956	365	1,94	22,5 4	45,70 8,99	37,00	8,51	315,00	40,00	39,36	16,2	Y
W M LAUDISIO JUNIOR-ME	TRINA SOLAR	TSM 315PEG14	Silicio PoliCristalino	9561	365		28,00 4	45,70 8,99	37,00		315,00	40,00	39,36	16,2	A
W M LAUDISIO JUNIOR-ME	TRINA SOLAR	TSM 320PD14	Silício PoliCristalino	9561	365	1,94	22,5 4	45,80 9,10	37,10	8,63	320,00	40,00	40,02	16,5	Y
W M LAUDISIO JUNIOR-ME	RISEN SOLAR	RSM60-6-260P	Silício PoliCristalino	1650	365	1,64	18,00 3	37,80 9,04	30,60	8,50	260,00	40,00	32,51	15,9	Y
W M LAUDISIO JUNIOR-ME	RISEN SOLAR	RSM60-6-265P	Silício PoliCristalino	1650	365	1,64	18,00 3	38,00 9,12	30,90	8,58	265,00	40,00	33,14	16,2	A
W M LAUDISIO JUNIOR-ME	RISEN SOLAR	RSM60-6-270P	Silício PoliCristalino	1650	365	1,64	18,00 3	38,20 9,20	31,20	8,66	270,00	40,00	33,77	16,5	Y
W M LAUDISIO JUNIOR-ME	RISEN SOLAR	RSM72-6-310P	Silício PoliCristalino	1956	365		25,00 4	45,10 9,05	36,50	8,50	310,00	40,00	38,78	16,0	A
W M LAUDISIO JUNIOR-ME	RISEN SOLAR	RSM72-6-315P	Silício PoliCristalino	1956	365	1,94	25,00 4	45,40 9,10	36,90	8,55	315,00	40,00	39,44	16,3	A
W M LAUDISIO JUNIOR-ME	RISEN SOLAR	RSM72-6-320P	Silício PoliCristalino	9561	365		25,00 4		Н	8,60	321,00	40,00	40,10	16,5	Y
W M LAUDISIO JUNIOR-ME	FUXING SOLAR	FS-250P-Ea	Silício PoliCristalino	1640	992	1,63	18,00 3	37,20 8,89	30,57	8,18	250,00	40,00	31,26	15,4	A
W M LAUDISIO JUNIOR-ME	FUXING SOLAR	FS-260P-Ea	Silício PoliCristalino	1640	992	1,63	18,00 3	38,18 8,89	31,14	8,35	260,00	40,00	32,50	16,0	Y
W M LAUDISIO JUNIOR-ME	FUXING SOLAR	FS-270P-Ea	Silício PoliCristalino	1640	365	-	_		+	\dashv	270,00		33,75	16,6	¥
W M LAUDISIO JUNIOR-ME	FUXING SOLAR	FS-300P-Eb	Silício PoliCristalino	1956	366	-	\Box			-	300,00		37,51	15,5	Y
W M LAUDISIO JUNIOR-ME	FUXING SOLAR	FS-310P-Eb	Silício PoliCristalino	1956	365	_	_	4		_	310,00	\perp	38,75	16,0	Y
W M LAUDISIO JUNIOR-ME	FUXING SOLAR	FS-315P-Eb	Silício PoliCristalino		365	1,94	28,00 4	\dashv	37,18	4	315,00	40,00	39,36	16,2	Y
GREEN ENERGY DO BRASIL	YINGLI SOLAR	YL270P-30B	Silício MonoCristalino		66	\rightarrow	4	_	1	_	270,00		33,74	16,5	Y
YINGLI GREEN ENERGY DO BRASIL S.A.	YINCLI SOLAR	YL275P-35B	Silício PoliCristalino	1970	966	\rightarrow	\dashv	\dashv	1	4	275,00	4	34,39	14,1	Y
YINGLI GREEN ENERGY DO BRASIL S.A.	YINGLI SOLAR	YL280P-35B	Silício PoliCristalino	1970	8	\rightarrow	4	4	+	\dashv	280,00		35,01	14,4	¥
GREEN ENERGY DO BRASIL	YINGLI SOLAR	YL285P-35B	Silício PoliCristalino	1970	966	\dashv	\dashv	_	1	\dashv	285,00	\perp	35,59	14,6	Y
GREEN	YINGLI SOLAR	YL285P-35b	Silício PoliCristalino	1970	990	1,95		37,80 8,53			245,00	46,00	30,62	12,6	ပ
YINGLI GREEN ENERGY DO BRASIL S.A.	YINGLI SOLAR	YL290P-35B	Silício PoliCristalino	1970	066	1,95		45,30 8,62	35,80		290,00	46,00	36,25	14,9	A
YINGLI GREEN ENERGY DO BRASIL S.A.	YINGLI SOLAR	YL275D-306	Silício MonoCristalino	1650	990	1,63	18,5 3	38,50 9,28	31,76	8,66	275,00	46,00	34,38	16,8	A
GREEN	YINGLI SOLAR	YL310P-356	Silicio PoliCristalino	1960	066	1,94	25,5 4	45,60 9,00	36,30	8,53	310,00	46,00	38,70	16,0	A
YINGLI GREEN ENERGY DO BRASIL S.A.	YINGLI SOLAR	YL260P-296	Silício PoliCristalino	1640	066	1,62	18,5 3	37,70 9,09	30,30	8,59	260,00	46,00	32,53	16,0	Y
YINGLI GREEN ENERGY DO BRASIL S.A.	YINGLI SOLAR	YL315P-356	Silício PoliCristalino	1960	066	1,94	35,5 4	45,70 9,12	Н	Н	315,00	46,00	39,38	16,2	Y
YINGLI GREEN ENERGY DO BRASIL S.A.	YINGLI SOLAR	YL150P-176	Silício PoliCristalino	1470	089	-			18,50	8,12	150,00		18,78	15,0	Y
ACT I ACC CATTA OF THE CASE OF THE	COLVER	AUGUS TOTAL	City Dall Carried	****											

Fonte: [INMETRO,2016]

Anexo 4.10: Lista de inversores INMETRO

Fabricante	Marca	Família/Modelo	Potência nominal (Kw)	Tensão de operação CC (Entrada)	Tensão de operação CA (Saida)	Corrente Nominal (A)	Corrente de Pico (A)
ABB LTDA	ABB	PVI-3.0-TL-OUTD-S	3	600	230	14,5	20
ABB LTDA	ABB	PVI-3.6-TL-OUTD-S	3,6	600	230	17,2	32
ABB LTDA	ABB	PVI-4.2-TL-OUTD-S	4,2	600	230	20	32
ABB LTDA	ABB	PVI-5000-TL-OUTD-S	5.0	600	230	25	36
ABB LTDA	ABB	PVI-6000-TL-OUTD-S	6	600	230	30	36
BRASIL SOLAIR ENERGIAS RENOVAVEIS COMERCIO E INDUSTRIA S/A	SAJ Solar Inverter	BLS	4	550	220	20	20
BRASIL SOLAIR ENERGIAS RENOVAVEIS COMERCIO E INDUSTRIA S/A	SAJ Solar Inverter	BLS	5	550	220	16	25
FRONIUS DO BRSIL COMÉRCIO, INDUSTRIA E SERVIÇO LTDA.	Fronius	Fronius Galvo 1,5	1,5	120	220	13,3	13,3
FRONIUS DO BRSIL COMÉRCIO, INDUSTRIA E SERVIÇO LTDA.	Fronius	Fronius Galvo 2,0	2	420	230	17,8	10,6
FRONIUS DO BRSIL COMÉRCIO, INDUSTRIA E SERVIÇO LTDA.	Fronius	Fronius Galvo 2,5	2,5	440	230	16,6	41,2
FRONIUS DO BRSIL COMÉRCIO, INDUSTRIA E SERVIÇO LTDA.	Fronius	Fronius Galvo 3,0	3	550	230	19,8	39,7
FRONIUS DO BRSIL COMÉRCIO, INDUSTRIA E SERVIÇO LTDA.	Fronius	Fronius Primo 8.2-1	8,2	270	230	18	35,7
FRONIUS DO BRSIL COMÉRCIO, INDUSTRIA E SERVIÇO LTDA.	Fronius	Fronius Primo 4.0-1	4	210	230	12	17,4
FRONIUS DO BRSIL COMÉRCIO, INDUSTRIA E SERVIÇO LTDA.	Fronius	Fronius Primo 6.0-1	6	240	230	18	26,1
FRONIUS DO BRSIL COMÉRCIO, INDUSTRIA E SERVIÇO LTDA.	Fronius	Fronius Primo 3.0-1	3	200	230	12	13
FRONIUS DO BRSIL COMÉRCIO, INDUSTRIA E SERVIÇO LTDA.	Fronius	Fronius Primo 5.0-1	5	240	230	12	21,7
INGETEAM LTDA	Ingeteam	IngeconSun 3 TL M	3	750	220	11	16
INGETEAM LTDA	Ingeteam	IngeconSun 5 TL M	5	850	220	11	26,4
JOSIAS JASMELINO FERREIRA - ME	KLNE	SolarTec D 5000	4,9	580	220	22	15
NEXSOLAR SOLUÇÕES EM ENERGIA SOLAR LTDA ME	APsystems	YC500I	0,5	55	220	2,2	12
RENOVIGI COMÉRCIO DE EQUIPAMENTOS PARA GERAÇÃO DE ENERGIA LTDA	B&B Power	SF1600TL	1,6	360	220	12	12
RENOVIGI COMÉRCIO DE EQUIPAMENTOS PARA GERAÇÃO DE ENERGIA LTDA	B&B Power	SF3000TL	3	360	220	14,5	15
RENOVIGI COMÉRCIO DE EQUIPAMENTOS PARA GERAÇÃO DE ENERGIA LTDA	B&B Power	SF5000TL	5,2	360	220	14,5	15
PHB ELETRÔNICA LTDA	PHB	PHB1500-SS	1,5	125	220	12	12
PHB ELETRÔNICA LTDA	PHB	PHB3000-SS	3	125	220	18	18
PHB ELETRÔNICA LTDA	PHB	PHB4600-SS	4,6	125	220	20	20
PHB ELETRÔNICA LTDA	PHB	PHB 20K-DT	20	260	220	22	22
SULTHERM SOLUCOES EM ENERGIAS RENOVAVEIS LTDA	Duraluxe	DS 1500TL	1,5	150	220	9	9
SULTHERM SOLUCOES EM ENERGIAS RENOVAVEIS LTDA	Duraluxe	DS 2000TL	2	150	220	9,7	9,7
SULTHERM SOLUCOES EM ENERGIAS RENOVAVEIS LTDA	Duraluxe	DS 2800TL	2,8	150	220	13,5	13,5
SOLAR ENERGY DO BRASIL	Solar Energy	SE-TL3KB	3	125	220	17	17
SOLAR ENERGY DO BRASIL	Solar Energy	SE-TL3KA	3,2	125	220	15	15
SOLAR ENERGY DO BRASIL	Solar Energy	SE-TL2K	2,3	120	220	12	12
SOLAR ENERGY DO BRASIL	Solar Energy	SE-TL1.5K	1,5	480	100	11	15
SOLAR ENERGY DO BRASIL	Solar Energy	SE-TL4K	4	580	125	20	20
SOLAR ENERGY DO BRASIL	Solar Energy	SE-TL5K	5	580	125	16	16
TECHEN TECHNOLOGIES (BRASIL) COMERCIO DE EQUIPAMENTOS ELETRICOS LTDA	Techen Technologies	Techen-5k-BR	5	550	220	15	22,7
TECHEN TECHNOLOGIES (BRASIL) COMERCIO DE EQUIPAMENTOS ELETRICOS LTDA	Techen Technologies	Techen-3k-BR	3	500	220	10	13,6
WEG EQUIPAMENTOS ELÉTRICOS S/A	SMA	SB 1.5-1 VL-40	1,5	600	220	10	10
WEG EQUIPAMENTOS ELÉTRICOS S/A	SMA	SB 2.5-1 VL-40	2,5	600	220	10	11,2
W M LAUDISIO JUNIOR - ME	OMINKSOL	3k-TL2	3	590	230	12	14,4
W M LAUDISIO JUNIOR - ME	OMINKSOL	4k-TL2	4	590	230	16	19
W M LAUDISIO JUNIOR - ME	OMINKSOL	5k-TL2	5	590	230	18	22

Fonte: [INMETRO, 2016]

Anexo 4.11: Lista de inversores COPEL

Hom	ologados pela COPEL	
Marca	Família/Modelo	Potência (kWp)
ABB	PVI 12.5-TL-OUTD	12,5
ABB	TRIO 20.0*/27.6* (*-TL-OUTD)	20,0/27,6
Chint Power	CPS SCA 12KTL/20KTL/25KTL	12,0/20,0/25,
Fronius	ECO 27-0-3-S	27
Fronius	Symo 12.5*/15.0*/17.5*/20.0* (*-	12,5/15,0/17,
FIORIUS	3-M)	5/20,0
Fronius	Symo 12.0-3 208-240	12
Ginlong	GCI-3K-W/GCI-3K-2W/GCI-5K- 2W (Eólico)	3,0/3,3/5,0
Hummer Dynamo CO., Ltda	HG-50k (Eólico)	50
	Ingecon uWIND	2,5/3,0/3,3/3,
Ingeteam	2.5TL/3TL/3.3TL/3.68TL/3.8TL/4.	68/3,8/4,6/5,0
	6TL/5TL/6TL (Eólico)	/6,0
Power-One	Aurora Trio-20.0TL-OUTD/Trio-	20,0/27,6
I OWEI-OHE	27.6TL-OUTD	20,0/27,0
Schneider	Conext TL 15000E/20000E	15,0/20,0
Southwest Windpower	Skystream 3.7 (Eólico)	1,8
WEG	SMA STP 12000TL-20	12

Fonte: [COPEL, 2016]